



ვ ი ზ ი კ ა



ФИЛОСОФИЯ
ПАТОЛОГИЧЕСКАЯ
ДЕЯТЕЛЬНОСТЬ



თბილისის უნივერსიტეტის გამოცემა
ИЗДАТЕЛЬСТВО ТБИЛИССКОГО УНИВЕРСИТЕТА
TBILISI UNIVERSITY PRESS



Ф И З И К А
P H Y S I C S

ამ დოკომენტის მასში განხვავდება უმცირესი
ასტროზენი იტელიკონის და ვარაუნი

თბილისი 1978 TBILISI



ନୂତନ ପାଠ୍ୟ ମାର୍ଗିକା
ଓଡ଼ିଆ ଲାଙ୍ଘନିକ ପାଠ୍ୟ ମାର୍ଗିକା

୩. 196

୩୦୯୦୩୧

ନୂତନ ପାଠ୍ୟ ମାର୍ଗିକା
ଓଡ଼ିଆ ଲାଙ୍ଘନିକ ପାଠ୍ୟ ମାର୍ଗିକା

სარეაცვით კონცერტი

თ. კომარევიშვილი (რედაქტორი), ნ. პოლიევქოვ-ნიკოლაძე, თ. სანაძე,
გ. ქაჩლიშვილი, [გ. კვავაძე] (მრივანი), ღ. ჩხაიძე

Редакционная коллегия

З.С.Качлишвили, [Д.К.Квавадзе] (секретарь), Т.И.Копалей-
шили (редактор), Н.М.Полиевктов- Николадзе, Т.И.Са-
надзе, Л.Б.Чхайдзе

EDITORIAL BOARD

L.Chkaidze, Z.Kachlishvili, T.Kopaleishvili (editor), [D.Kvavadze]
(secretary), N.Polievktov - Nikoladze, T.Sanadze.

Труды Тбилисского ордена Трудового Красного Знамени
государственного университета

მიმღების მომზადების მიზანის მიზანის სახელმწიფო
უნივერსიტეტის მრავალი

196, 1978

К ВОПРОСУ О РОЖДЕНИИ МЕДЛЕННЫХ ПИОНОВ НА ЯДРАХ

И.Ф.Гришашвили, Д.Д.Джалагания, Н.И.Костанашвили,
Г.И.Лебедевич

При экспериментах, изучающих процесс образования на ядрах медленных пионов, зачастую возникает вопрос об учете взаимодействий Π^+ и Π^- -мезонов с родительскими ядрами, которые, в силу существенности кулоновского взаимодействия и его зависимости от знака заряда пионов, приводят к различным изменениям энергетических спектров Π^+ и Π^- -мезонов. Интерес к вопросу вызван желанием получить информацию о внутриядерном взаимодействии медленных пионов, а также данные о пионах до их внутриядерного взаимодействия и механизме этого процесса.

Мы имеем экспериментальные данные по относительным сечениям генерации Π^+ и Π^- -мезонов на ядрах фотоэмulsionii с энергиями до 20 Мэв, образованных первичными частицами разных энергий и природы - протонами с энергиями 9 Гэв и 660 Мэв и Π^- -мезонами с энергией 60 Гэв; абсолютным сечением рождения Π^+ и Π^- -мезонов с энергией 12,7 Мэв под углом 105° , образованных протонами с энергией 660 Мэв на ядрах C , Cu , Al и Pb ; относительным сечениям образования Π^+ и Π^- -мезонов с энергиями 12,7 Мэв под углом

120°, образованных протонами с энергией 660 Мэв на изотопах ^{58}Ni , ^{64}Ni , ^{112}Sn и ^{124}Sn . Детали постановок экспериментов и получения экспериментальных данных приведены в работах [1-5].

Изучение процесса рождения медленных мезонов с целью получения сведений о характере их взаимодействия и механизме рождения предложено в работе [6]. В ней для энергетических спектров медленных Π^+ и Π^- -мезонов, вышедших из ядер с зарядом Z , получены выражения в факторизованном виде:

$$\tilde{\delta}_Z^\pm = \tilde{\delta}_0^\pm \cdot \mathcal{D}_Z^\pm(V, W, R_{\text{эфф}}, E_\pi), \quad (1)$$

где: $\tilde{\delta}_0^+(\tilde{\delta}_0^-)$ – энергетический спектр $\Pi^+(\Pi^-)$ -мезонов до их внутриядерного взаимодействия; $\mathcal{D}_Z^+(D_Z^-)$ – известные функции, учитывающие внутриядерные взаимодействия $\Pi^+(\Pi^-)$ -мезонов; V и W – реальная и мнимая часть прямоугольного ядерного потенциала взаимодействия пionов с ядрами. (Длина волны пionов, рассматриваемых в модели, больше размеров ядра, поэтому приближение прямоугольного потенциала является достаточным); $R_{\text{эфф}}$ – некий эффективный радиус, связанный с матрицей рождения пionов.

В работе [6] приводятся выражения \mathcal{D}_Z^\pm для $R_{\text{эфф}}=R$. Можно получить функции \mathcal{D}_Z^\pm в зависимости от $R_{\text{эфф}}$. Они имеют вид:

$$\mathcal{D}_Z^\pm = \left(\frac{KR}{\sin KR_{\text{эфф}}} \right)^2 \frac{\sin^2 \gamma^\pm R_{\text{эфф}} + sh^2 \beta^\pm R_{\text{эфф}}}{\sin^2 \gamma^\pm R + sh^2 \beta^\pm R} \cdot \begin{cases} (KR)^2 (G')^2 + \\ \dots \end{cases}$$

$$+ F'^{\pm 2}) + (\beta_1^{\pm 2} + \beta_2^{\pm 2})(F^{\pm 2} + G^{\pm 2}) - 2\beta_1^{\pm} \kappa R (F^{\pm} F'^{\pm} + G^{\pm} G'^{\pm}) \Big\},$$

БИБЛІОТЕКА
ДІПЛОМАТИЧНОСТІ

где: F^{\pm} , G^{\pm} , F'^{\pm} и G'^{\pm} - кулоновские функции и их производные Π^+ и Π^- - мезонов.

$$\mathcal{J}^{\pm} = \frac{\sqrt{m\pi}}{\hbar} \left\{ \left[(V^{\pm} V_{\text{кул.}} - E_{\pi})^2 + W \right]^{1/2} - (V^{\pm} V_{\text{кул.}} - E_{\pi}) \right\}^{1/2},$$

$$\beta^{\pm} = \frac{\sqrt{m\pi}}{\hbar} \left\{ \left[(V^{\pm} V_{\text{кул.}} - E_{\pi})^2 + W^2 \right]^{1/2} + (V^{\pm} V_{\text{кул.}} - E_{\pi}) \right\}^{1/2},$$

$$\beta_1^{\pm} = \frac{\beta^{\pm} R \sinh 2\beta^{\pm} R + \mathcal{J}^{\pm} R \sin 2\mathcal{J}^{\pm} R}{\cosh 2\beta^{\pm} R - \cos 2\mathcal{J}^{\pm} R},$$

$$\beta_2^{\pm} = \frac{\mathcal{J}^{\pm} R \sinh 2\beta^{\pm} R - \beta^{\pm} R \sin 2\mathcal{J}^{\pm} R}{\cosh 2\beta^{\pm} R - \cos 2\mathcal{J}^{\pm} R},$$

κ - волновое число, $V_{\text{кул.}}$ - кулоновский потенциал ядра.

Для расчета сечений генерации Π^+ и Π^- -мезонов на ядрах нами составлена программа на языке ФОРТРАН и проведены расчеты на ЭВМ БЭСМ-6. Программа позволяет проводить расчеты функций $\mathcal{D}_z^+(E_{\pi})$ и $\mathcal{D}_z^-(E_{\pi})$ для разных ядер, ядерных потенциалов взаимодействия пиона с ядрами, энергий пиона. Условием прекращения счета бесконечных рядов кулоновских функций и их производных является требование, чтобы разности абсолютных значений двух последующих членов рядов были бы $\lesssim 10^{-9}$. На печать выводятся функции $\mathcal{D}_z^+(E_{\pi})$ и $\mathcal{D}_z^-(E_{\pi})$ для Π^+ и Π^- -мезонов, отношения $\mathcal{D}_z^+(E_{\pi}) / \mathcal{D}_z^-(E_{\pi})$, $\mathcal{D}_z^+(E_{\pi}) / \mathcal{D}_c^+(E_{\pi})$ и $\mathcal{D}_z^-(E_{\pi}) / \mathcal{D}_c^-(E_{\pi})$, где $\mathcal{D}_c^+(E_{\pi})$ и $\mathcal{D}_c^-(E_{\pi})$ - значения

функций $\mathcal{D}^+(E_\pi)$ и $\mathcal{D}^-(E_\pi)$ для какого-то определен-
ного ядра.

САРАТОВСКИЙ
УНИВЕРСИТЕТ

Энергетическая зависимость относительных частот образования Π^+ и Π^- -мезонов на ядрах фотоэмulsionии оказалась критичной к потенциалу взаимодействия пиона с ядрами, слабее от параметра $R_{\text{эфф}}$.

Описание экспериментальной энергетической зависимости N_π^+ / N_π^- -расчетной, с единым потенциалом в рассматриваемом энергетическом интервале, не удается. Нет согласия также с потенциалом Эрикссона. До энергий ~ 6 Мэв Π^+ -мезоны образуются больше ожидаемого. При таких малых энергиях вероятности выхода из ядер Π^+ -мезонов очень мальы и даже слабый дополнительный источник медленных Π^+ -мезонов может сильно изменить наблюдаемую частоту образования Π^+ и Π^- -мезонов. Такими источниками могут являться распады частиц с временем жизни 10^{-12} - 10^{-14} сек., так как если пробеги частиц до распада близки размерам ядра, они будут распадаться на границе ядра, где слабое кулоновское поле уже не может препятствовать выходу медленных Π^+ -мезонов из ядра. Интерес к изучению генерации медленных пионов возобновился именно с возможностью их связи с долгоживущими резонансами [7]. Поэтому случаи генерации пионов очень малых энергий требуют тщательного анализа.

В области энергий пионов $E_\pi \approx 6$ Мэв хорошее согласие получается для небольших значений V и W , причем для положительной реальной части потенциала: $V = 10$ Мэв и $W = 10$ Мэв [4]. Хорошо проходит и потенциал Эрикссона, который находится примерно в этой области. $R_{\text{эфф}} = 0,9$.

При энергии первичных протонов 660 Мэв формы энергетических спектров Π^+ и Π^- -мезонов на ядрах фотоэмulsionии совпадают со спектрами при высоких энергиях. Однако для совпадения абсолютных зна-

чений относительных частот образования Π^+ и Π^- -мезонов при энергии 660 Мэв надо ввести постоянный множитель $\tilde{\sigma}_o^+/\tilde{\sigma}_o^- = 2.56 \pm 0.26$ (при высоких энергиях, когда имеет место множественное рождение пионов, $-\tilde{\sigma}_o^+/\tilde{\sigma}_o^- \approx 1$).

При взаимодействиях протонов с энергией 660 Мэв с ядрами, если предположить, что пионы образуются в основном нуклон-нуклонных взаимодействиях и учесть, что сечение образования двух пиона незначительно [8], при объемном рождении пиона имеем:

$$\tilde{\sigma}_o^+ = \tilde{\sigma}_{pp}^+ (\tilde{Z} \delta^+ N) \quad \text{и} \quad \tilde{\sigma}_o^- = \tilde{\sigma}_{pp}^- N, \quad (2)$$

где $\delta = \tilde{\sigma}_{pp}^+ / \tilde{\sigma}_{pp}^-$; $\tilde{\sigma}_{pp}^+ (\tilde{\sigma}_{pp}^-)$ - сечение образования $\Pi^+(\Pi^-)$ -мезонов в pp (pp) взаимодействиях (можно считать, что $\tilde{\sigma}_{pp}^{\pi^+} = \tilde{\sigma}_{pp}^{\pi^-}$); Z - число протонов в ядре; N - число нейтронов в ядре.

Используя фотоэмulsionционные данные по $\tilde{\sigma}_o^+/\tilde{\sigma}_o^-$ и исходя из (2), для δ получаем значение $\delta = 2.02 \pm 0.34$.

Изотопическая инвариантность для состояния πN подсистемы с изотоспином $T_{\pi N} = 3/2$ для δ дает значение $\delta = 10$, а для $T_{\pi N} = 1/2$, с учетом данных по сечениям реакции образования Π^0 -мезонов в pp и $p\bar{n}$ взаимодействиях, $\delta = 2$.

Интересно проанализировать данные по рождению медленных пионов на чистых ядрах протонами с энергией 660 Мэв. Рассчитав $\tilde{\sigma}_x^+$ и определив отношение $\tilde{\sigma}_o^+ = \tilde{\sigma}_x^+/\tilde{\sigma}_x^+$, а также используя соотношения (2), можно получить значения δ . Определенные т.о. δ из данных по ядрам C , Al , Cu и Pb оказались близкими. Средневзвешенное значение $\delta = 3.54 \pm 0.38$. Это указывает на то, что вклад изобары Δ_{1236} ($3/2, 3/2$) в образование

медленных пионов при энергии первичных протонов 660 Мэв небольшой.

БИБЛIOГРАФИЧЕСКАЯ
СПИСОК ПОДГОТОВЛЕНА

На справедливость представлений (1) и (2) и расчета с примененным потенциалом указывает рис. 1, на котором представлены значения $(\tilde{b}_o^+/\tilde{b}_o^-)/(\frac{z}{N}\delta + 1)$ при $E_\pi = 12.7$ Мэв и $\delta = 3.54$ для разных ядер. Как видно из рисунка, все эти отношения близки к 1.

Знание абсолютных сечений на ядрах C , He , Cu и Pb дают возможность оценить также сечения генерации Π^+ и Π^- -мезонов с энергией 12.7 Мэв в $n\rho$ и $p\rho$ взаимодействиях. На рис. 2 и 3 приведены значения $\tilde{b}_o^*(z\delta + N)$ и \tilde{b}_o^-/N для разных ядер. По (3) они являются сечениями образования Π^+ и Π^- -мезонов в $n\rho$ взаимодействиях. Как видно из рисунков, они близки друг другу. $\tilde{b}_{n\rho}^{\Pi^+} = 0.659 \pm 0.031$. Зная δ , можно определить и сечение рождения Π^+ -мезонов с энергией 660 Мэв под углом 105° в $p\rho$ взаимодействиях $\tilde{b}_{p\rho}^{\Pi^+} = \tilde{b}_{n\rho}^{\Pi^+} \cdot \delta$ и $\tilde{b}_{p\rho}^{\Pi^+} = 1.75 \pm 0.18$.

Полученное значение $\tilde{b}_{p\rho}^{\Pi^+}$ находится в хорошем согласии с имеющимися данными по образованию Π^+ -мезонов в pP взаимодействиях [8, 9].

Т.о., анализ экспериментальных данных по образованию медленных пионов на ядрах указывает на возможность представления спектров медленных пионов в виде (1) с параметрами потенциала ядерного взаимодействия пионов с ядрами $V \approx 10$ Мэв и $W \approx 10$ Мэв.

Экспериментальные данные согласуются с представлением объемного рождения пионов.

Поступила 20.XI.1977.

Лаборатория космических
лучей

ЛИТЕРАТУРА



1. Н.И.Костанашвили, Г.И.Лебедевич, Д.С.Набичвришвили, Ядерная физика, 6, 528 (1968).
2. Н.И.Костанашвили, Г.И.Лебедевич, Д.С.Набичвришвили, Сообщения АН ГССР, 50, 327 (1968).
3. Ю.А.Батусов, Н.И.Костанашвили, Г.И.Лебедевич, Д.С.Набичвришвили, Ядерная физика, 10, 1242 (1969).
4. Н.И.Костанашвили, Г.И.Лебедевич, Д.С.Набичвришвили, Г.И.Харашвили, Ядерная физика, 16, 983 (1972).
5. Ю.А.Батусов, И.Ф.Гришашивили, Д.Д.Джалагания, Н.И.Костанашвили, Г.И.Лебедевич, Ядерная физика, 26, 966 (1977).
6. А.М.Балдин, А.И.Лебедев, ЖЭТФ, 122I (1957).
7. Friedlander, Phys. Lett., 2, 38 (1962).
8. Б.С.Неганов, О.В.Савченко, ЖЭТФ, 32, 1265 (1957).
9. Ю.А.Батусов, Н.И.Костанашвили, Г.И.Лебедевич, Д.С.Набичвришвили, В.М.Ярба, Ядерная физика, 10, 805 (1969).



ი. გრიშაშვილი, დ. ჯალაგანია, ნ. კოსტანაშვილი, გ. ლებედევიჩ
ბირთვების ზარი ე ცირცის პირვების ნარმოვანის
ჩატარების

რ ე ბ ი უ მ ე

გასანაცვლიბირებულის C, Al, Cu, Pb, ^{58}Ni , ^{64}Ni , ^{112}Sn და ^{124}Sn
ბირთვები ზარი ე ცირცის π^+ და π^- -მეზონების გენერაციის
ექსპრიმენტული მონაცემები.

გამოკვლეულის წარმოქმნილი პირვების მშობელ ბირთვებთან
კულონური და ბირთვული ურთიერთქმედების გათვალისწინების შე-
საძლებლობა,

მიღებულის ინფორმაციას პროცესის მექანიზმები, როესაც პირ-
ველადი პროფონდინის ენერგია 660 მევია.

I. Grishashvili, D.Jalagania, N.Kostanashvili, G.Lebedevich

ON THE MECHANISM OF PRODUCTION OF
SLOW PIONS ON NUCLEI

Summary

Experimental data on the production of slow π^+ and π^- -me-
sons on C, Al, Cu, Pb, ^{58}Ni , ^{64}Ni , ^{112}Sn and ^{124}Sn are analyzed.

The possible consideration of nuclear and Coulomb interaction
of the produced particles with parent nuclei is investigated.

Information is obtained on the mechanism of the process at
660 Mev energy for primary protons.

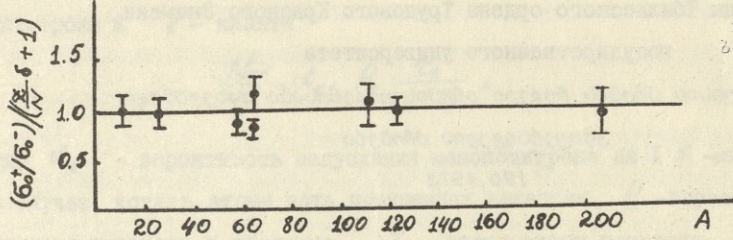


Рис. 1.

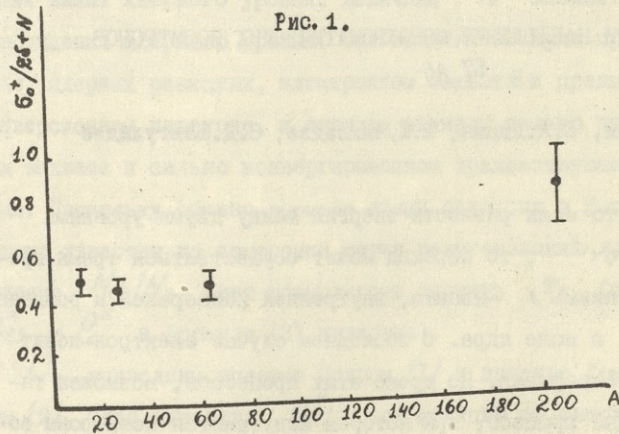


Рис. 2.

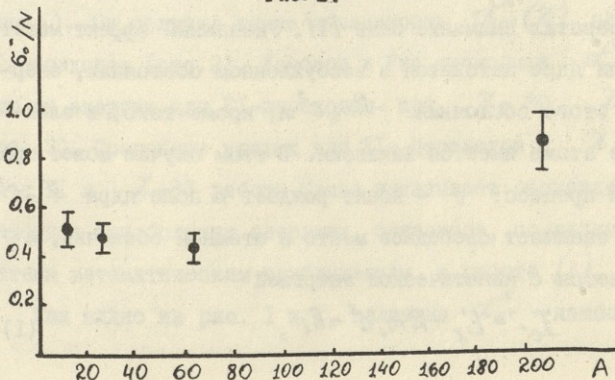


Рис. 3.

Труды Тбилисского ордена Трудового Красного Знамени
государственного университета



თბილისის მუნიციპალური გრაფიკული მუზეუმისა და სახელმწიფო

უნივერსიტეტის მუზეუმი

196, 1978

О ВОЗМОЖНОСТИ НАБЛЮДЕНИЯ МОНОХРОМАТИЧЕСКИХ ПОЗИТРОНОВ
В ^{57}Ni

Н.И.Амиранашвили, В.А.Джапиши, В.Л.Чихладзе, З.Д.Шавгулидзе

Известно, что если разность энергий между двумя уровнями ядра больше $2m_e c^2$, то переход может осуществиться тремя процессами: излучением γ -кванта, внутренней конверсией и рождением пары $e^- - e^+$ в поле ядра. В последнем случае электрон-позитронный спектр непрерывен. Но кроме этих процессов, возможен такой конверсионный процесс, при котором испускаются позитроны со строго определенной энергией, т.е. монохроматические позитроны. На это впервые обратил внимание Слив [I]. Указанный эффект может иметь место, если ядро находится в возбужденном состоянии, энергия перехода из этого состояния $> 2m_e c^2$ и, кроме того, в электронной оболочке атома имеется вакансия. В этом случае может произойти следующий процесс: γ -квант рождает в поле ядра $e^- - e^+$ -пару, электрон занимает свободное место в атомной оболочке, а позитрон испускается с кинетической энергией

$$T_{e^+} = E_\gamma - 2m_e c^2 + \epsilon_i, \quad (I)$$

где E_γ — энергия перехода, ϵ_i — энергия связи в i -той

$$\frac{N_{e^+}}{N_\gamma} = \alpha_{e^+} \rho_e \frac{\tau_e}{\tau_e + \tau_\gamma}, \quad (2)$$

где α_{e^+} - вероятность испускания монопозитрона на I γ -квант в случае, когда в атоме есть постоянная вакансия, ρ_e - вероятность наличия вакансии в оболочке, τ_e - время жизни вакансии, τ_γ - время жизни ядерного уровня. Величина ρ_e зависит от способа возбуждения ядерного уровня. Она отлична от нуля при α -распаде, ядерных реакциях, электронном захвате и предшествующем конверсионном переходе, и порядка единицы только при электронном захвате и сильно конвергированном предшествующем γ -переходе. Поскольку обычно времена жизни вакансии в K-оболочке τ_e^κ хорошо известны из измерений ширин рентгеновских линий, то определение N_{e^+}/N_γ дает возможность оценить τ_γ (считая, что $\alpha_{e^+}^\kappa$ и ρ_e^κ в формуле (2) известны).

$\alpha_{e^+}^\kappa$ вычислены впервые Сливом [1] и позднее Ломбардом и Рисом [2]. Слив вычислил $\alpha_{e^+}^\kappa$ как функцию от энергии для EI- и E2-переходов при $Z = 83$ и для EI-перехода при $Z = 55$ (рис.1). Он получил также зависимость $\alpha_{e^+}^\kappa(Z)$ для EI-, E2- и MI-переходов (рис.2). Ломбард и Рис вычислили $\alpha_{e^+}^\kappa$ как функцию от энергии для EI-переходов при $Z = 30$, $Z = 63$, $Z = 82$ (рис.3). Сравнение кривых для EI-переходов и $Z = 82$ этой работы с EI и $Z = 83$ работы Слива показывает расхождение, особенно заметное при больших энергиях, связанное, по-видимому, с неадекватным математическим приближением в работе [1].

Как видно из рис. 1 и 2, величина $\alpha_{e^+}^\kappa$ наибольшая для EI-

переходов, однако различие \mathcal{A}_{e^+} для разных мультипольнос-
тей сравнительно невелико.

Опубликовано несколько экспериментальных работ /3 - 7/, в кото-
рых сообщается о наблюдении монохроматических позитронов. В ка-
честве источников в этих работах использовались 2 изотопа: ^{206}Bi
(EI-переход, $E_\gamma=1720$ кэв) и ^{152}Eu (EI-переход, $E_\gamma=1409$ кэв).
Результаты разных авторов для одного и того же источника сильно
расходятся (иногда на порядок), что вызвано, по-видимому, труд-
ностью выделения слабого эффекта на большом фоне. В этих работах
 $\frac{N_{e^+}}{N_\gamma} \sim 10^{-7} \div 10^{-8}$. Следует заметить, что до сих пор ни в одной
из работ монопозитроны не наблюдались уверенно.

Основной недостаток этих источников применительно к данной
задаче - большой фон. Так, в случае ^{206}Bi ($T_{1/2}=6,24$ дня,
 $T_{e^+}=788$ кэв) сам изотоп не имеет ни β^+ -спектра, ни γ -пере-
ходов с энергией > 1720 кэв, которые могли бы дать фон от пар-
ной конверсии; однако при его наготовлении всегда присутствует
изотоп ^{205}Bi ($T_{1/2}=15,3$ дня) с верхней границей β^+ -спектра
 $E_{\beta^+}=920$ кэв и интенсивные γ -переходы с $E_\gamma=1766$ кэв и
 $E_\gamma=1864$ кэв. В случае ^{152}Eu ($T_{1/2}=12,7$ года, $T_{e^+}=437$ кэв)
присутствуют β^+ -переходы с $E_{\beta^+}=713$ кэв и $E_{\beta^+}=470$ кэв. Ясно,
что в обоих случаях при поисках монопозитронов будет мешать зна-
чительный фон.

Из вышеизложенного следует, что поскольку эффект должен быть
очень мал, к источнику должны быть предъявлены, по крайней мере,
2 требования: во-первых, он должен быть очень сильным (порядка
десятков милликори) и в то же время тонким и свободным от приме-
сей; во-вторых, позитронный фон от β^+ -переходов или от пар-
ной конверсии переходов с большей энергией должен быть близким

В поисках изотопов, перспективных с точки зрения наблюдения монопозитронов, мы обратили внимание на ^{57}Ni ($T_{1/2} = 36$ час.).

При распаде этого изотопа наблюдается довольно сильная линия с

$E_\gamma = 1920$ кэв (14% на распад). Этот изотоп удовлетворяет второму из вышеуказанных требований, так как (см. рис.4), во-первых, верхняя граница его β^+ -спектра $E_{\beta^+} = 850$ кэв, а энергия монопозитронов указанного перехода $T_e \approx 906$ кэв; во-вторых, β' -переходы с большей энергией имеют очень малую (< 0,2%) интенсивность, и, следовательно, фон от их пар должен быть достаточно низким.

Элементарный расчет по формуле (2) позволяет дать оценку ожидаемой интенсивности монопозитронной линии. Величину $\alpha_{e^+}^\kappa$ можно взять из работы [2] (рис.3). Хотя эти расчеты произведены для ЕI-переходов, а $E_\gamma = 1920$ кэв, по-видимому, MI-переход, но, как указывалось выше, значения $\alpha_{e^+}^\kappa$ для разных мультипольностей довольно близки, поэтому с достаточной для оценки точностью можно взять $\alpha_{e^+}^\kappa \sim 1 : 10^{-5}$. Время жизни MI-перехода по Мошковскому [8] $\tau(MI) \approx 5 \cdot 10^{-15}$ сек. Время жизни вакансии можно определить, воспользовавшись формулой из работы [9] :

$$\Gamma_\kappa = 1,73 \cdot Z^{3,93} \cdot 10^{-6} \text{ эв.}$$

для нашего случая $Z = 27$, $\Gamma_\kappa \approx 0,86$ эв, откуда

$$\tau_e^\kappa = \frac{\hbar}{\Gamma_\kappa} \approx 7 \cdot 10^{-16} \text{ сек.}$$

Что касается вероятности наличия вакансии в K-оболочке, то в случае электронного захвата она должна равняться относительной вероятности K-захвата. Воспользовавшись данными работы [10], находим, что для нашего случая $P_e^\kappa \approx 0,9$.

Тогда из формулы (2) получим

$$\left(\frac{N_{e^+}}{N_\gamma}\right)_{1920 \text{ кэВ}} \approx \frac{1 \cdot 10^{-5} \cdot 0,9}{\frac{7 \cdot 10^{-16}}{5 \cdot 10^{-15} + 7 \cdot 10^{-16}}} \approx 1,1 \cdot 10^{-6}.$$

Учитывая относительную интенсивность линии 1920 кэВ, получим

$$N_{e^+} \approx 0,14 \cdot 1,1 \cdot 10^{-6} \approx 1,5 \cdot 10^{-7} \text{ распад}^{-1}$$

Для источника активностью I мКюри число испускаемых монопозитронов в секунду

$$N_e \approx 3,7 \cdot 10^7 \cdot 1,5 \cdot 10^{-7} \approx 5,5 \text{ сек.}^{-1}$$

Очевидно, что измерения должны быть проведены на спектрометре с большой светосилой ω , хорошим разрешением δ и малым фоном. Этим требованиям полностью удовлетворяет спектрометр типа УМБ-2 (при $\omega \approx 0,7\%$ и $\delta \approx 0,1\%$ фон составляет I импульс за несколько часов). При указанных параметрах прибора интенсивность монопозитронной линии составит

$$N_{\text{эксп}} = \omega \cdot N_e \approx 0,039 \text{ сек.}^{-1} \approx 140 \text{ час.}^{-1}$$

Если получить источник активностью ~ 15 мКюри (что вполне достижимо), то интенсивность линии должна составить $\sim 2 \cdot 10^3$ час. $^{-1}$, откуда видно, что если М-переход замедлен даже на 2 порядка по сравнению с теоретическим временем жизни по Мошковскому, искомая монопозитронная линия должна уверенно наблюдаться.

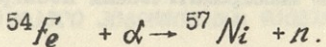
В нижеследующей таблице сравнительные характеристики трех рассматриваемых изотопов.

Изотоп	N_{e^+} теор.	позитрон распад	Чувствительность эксперимента, позитро- распад
^{206}Bi	$4,4 \cdot 10^{-6}$		$10^{-7} - 10^{-8}$

^{152}Eu	$2,0 \cdot 10^{-6}$	$10^{-7} - 10^{-8}$
^{57}Ni	$1,5 \cdot 10^{-7}$	10^{-9}

Из таблицы видно, что теоретическая вероятность рождения монопозитронов при распаде ^{206}Bi и ^{152}Eu на порядок выше, чем при распаде ^{57}Ni . Но из-за практического отсутствия фона в случае ^{57}Ni довольно легко можно довести чувствительность до 10^{-9} позитрон.распад $^{-1}$, т.е. повысить на порядок по сравнению с ^{206}Bi и ^{152}Eu .

Изотоп ^{57}Ni в принципе легко получить облучением α -частицами на циклотроне обогащенного изотопа ^{54}Fe по реакции (α, n)



В работе [11] приводятся сечения реакций при облучении ^{54}Fe α -частицами. Из данных этой работы (рис.5) следует, что необходимо выбрать энергию α -частиц возможно большей, но ниже порога реакции ($\alpha, 2n$), который составляет ≈ 17 Мэв (в результате этой реакции образуется ^{56}Ni , продукт распада которого ^{56}Co имеет непрерывный β^+ -спектр с граничной энергией $E_{\beta^+} = 1,46$ Мэв). Если выбрать энергию α -частиц равной 16,5 Мэв, то при оптимальной толщине мишени $d = 40$ мкм (т.е. $d \approx 4$ Мэв) среднее сечение реакции (α, n) ≈ 100 мбарн.

Активность изотопа ^{57}Ni , которая должна получиться в результате облучения мишени ^{54}Fe по реакции (α, n), можно вычислить по формуле

$$\lambda N = A_0 I(\alpha) \sigma (1 - e^{-\lambda t_{\text{обл}}}),$$

где $\lambda = \frac{\ln 2}{T_{1/2}}$ - постоянная распада, N - число образовавшихся активных ядер, A_0 - число ядер облучаемого изотопа, \mathcal{H} -ток $I_{об} =$ α -частиц, σ - сечение реакции. Приняв время облучения $t_{об} = 12$ час., ток в циклотроне $\mathcal{H}(\alpha) = I$ мкА, получим, что ожидаемая активность равна

$$\lambda N = 2,1 \cdot 10^7 \text{ распад.сек.}^{-1} \approx 0,57 \text{ мКюри.}$$

Отсюда видно, что если взять ток через мишень ~ 10 мкА (что вполне допустимо) и увеличить в несколько раз время облучения, то в принципе нетрудно получить источник ^{57}Ni активностью 15 - 20 мКюри.

Из всего вышеизложенного следует, что целесообразно поставить эксперимент по обнаружению монохроматических позитронов при распаде изотопа ^{57}Ni .

Поступила 13. XII. 1977

Кафедра ядерной физики

ЛИТЕРАТУРА

1. Л.А. Слив, ЖЭТФ, 25, 7 (1953).
2. R. Lombard, F. Rys Nucl. Phys., 31, 163 (1962)
3. T.H.Brunner, H.T.Leisi, C.F.Perdrisat, P.Sherrer Phys. Rev. Lett., 2, 207 (1959).
4. R. Wiener, C.Chasman, P.Harihar, C.S.Wu, Phys. Rev., 130, 1066 (1963)
5. С.С. Василенко, М.Г. Каганский, Д.Л. Каминский, С.Ф. Кокшарова, ЖЭТФ, 39, 970 (1960).
6. C.F.Perdrisat, T.H.Brunner, H.T.Leisi, Nucl. Phys., 31, 160 (1962)

(1964)



8. "Гамма-лучи", Изд. АН СССР, М.-Л., 1961

9. H.T.Leisi, T.H.Brunner, C.F.Perdrisat, P. Sherrer, Helv. Phys. Acta, 34, 161 (1961)

10. Б.С.Джелепов, Л.Н.Зырянова, Ю.П.Суслов, "Бета-процессы", "Наука", Л., 1972

- II. F.S.Houck, T.M.Miller, Phys. Rev., 123, 231 (1961)

ნ. ამირაშვილი, ვ. ჯაში, ვ. ჩიხლაძე, გ. შავგულიძე

მოწოდება ციკლოტონი პრიცესორის ჩამორის გაცემის გორծ

^{57}Ni იზოტოპის ჩამოსას

რ ი გ ი გ ი

ყველა წილა სამუშაოში მონოენერგეტიკული პოზიტრონის აღმო-
საჩენა იყენებან იზოფონებს ^{206}Bi და ^{152}Eu , მოცემულ სამუ-
შაოში ამავე მიზნით კანიბილური იზოფონი ^{57}Ni . მოცვანილია ქა-
მოფვები, რომელიც ცხადოდვე ამ იზოფონის უპირატესობას.

N.Amiranashvili, W.Jashi, W.Chikhladze, Z.Shavgulidze

ON THE OBSERVABILITY OF MONOENERGETIC POSITRONS

IN THE DECAY OF ^{57}Ni

Summary

The isotope ^{57}Ni is suggested instead of the isotopes ^{206}Bi and ^{152}Eu , used by other authors, for searching monoenergetic positrons. Calculations confirming its advantage are given.

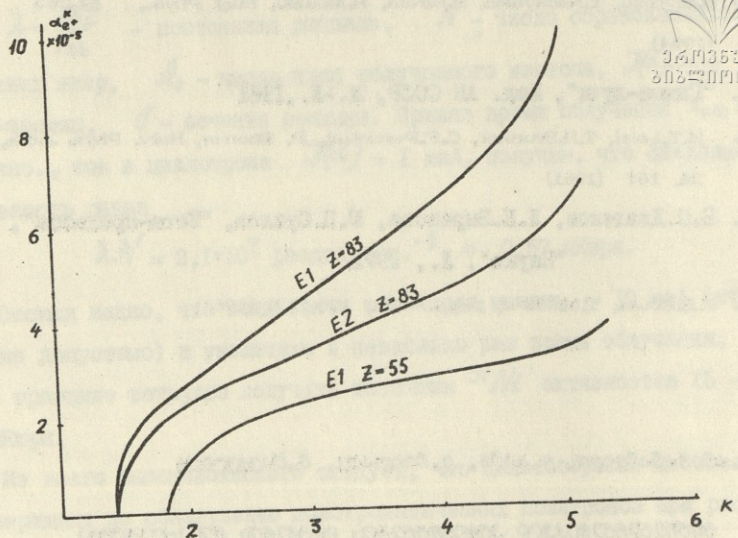


Рис.1 Зависимость $\alpha_{e^+}^K$ от энергии [1]. Здесь $K = \frac{E_0}{m_e c^2}$.

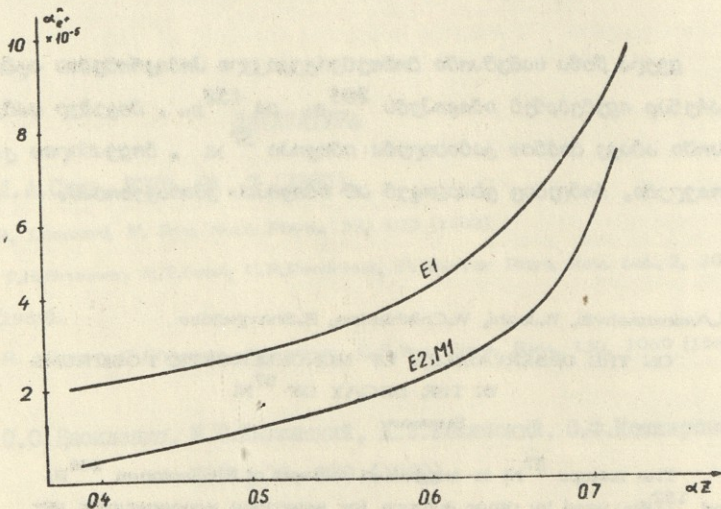


Рис.2 Зависимость $\alpha_{e^+}^K$ от заряда ядра. Здесь $\alpha' = \frac{e^2}{hc} \approx \frac{1}{137}$ - постоянная тонкой структуры.

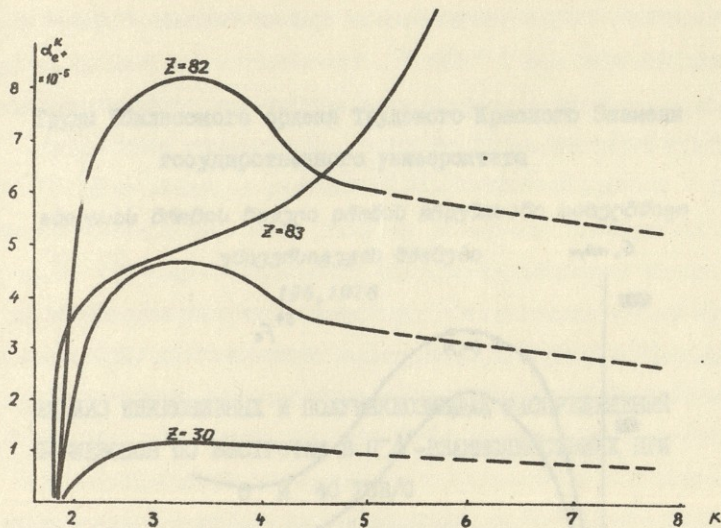


Рис.3 Зависимость α_{e+}^K от энергии [2]. Здесь $K = \frac{E\gamma}{m_e c^2}$.

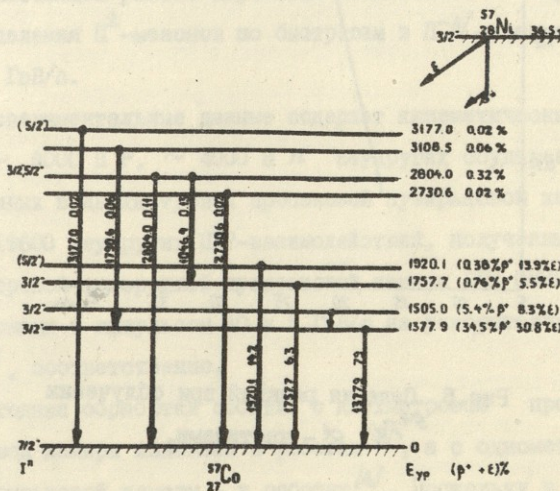


Рис.4 Принципиальная схема распада $^{57}_{28} Ni$.

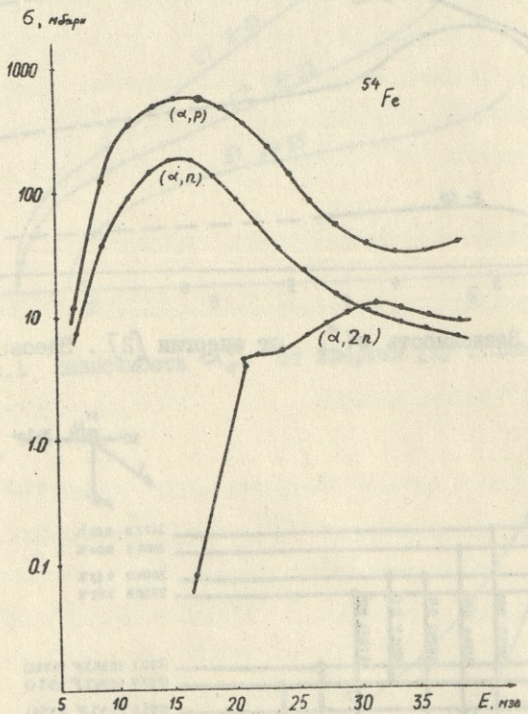


Рис.5 Сечения реакций при облучении ^{54}Fe α - частицами.

Труды Тбилисского ордена Трудового Красного Знамени
государственного университета

თბილისის მთავრობის მინისტრის მუნიციპალიტეტი
უნივერსიტეტის მრავალი

196, 1978

АНАЛИЗ ИНКЛЮЗИВНЫХ И ПОЛУИНКЛЮЗИВНЫХ РАСПРЕДЕЛЕНИЙ
 Π^{\pm} -МЕЗОНОВ ПО БЫСТРОТАМ В Π^-N -ВЗАИМОДЕЙСТВИЯХ ПРИ
5 И 40 ГЭВ/С

Л.Н.Абесалашвили, Ю.В.Тевзадзе, М.С.Чаргейшвили

В настоящей работе изучаются инклюзивные и полуинклюзивные распределения Π^{\pm} -мезонов по быстротам в Π^-N -взаимодействиях при 5 и 40 ГэВ/с.

Экспериментальные данные содержат кинематические характеристики $\sim 8000 \Pi^-P$, $\sim 4000 \Pi^-n$ неупругих соударений, зарегистрированных в двухметровой пропановой пузырьковой камере ЛВЭ ОИЯИ, и ~ 19600 неупругих Π^-P -взаимодействий, полученных с помощью однометровой водородной пузырьковой камеры ЛВЭ ОИЯИ, облученных Π^- -мезонами с импульсом 40 и 5 ГэВ/с на ускорителях ИФВЭ^[1] и ОИЯИ^[2], соответственно.

Методика обработки событий с двухметровой пропановой пузырьковой камере изложена в работах^[3], а с однометровой водородной пузырьковой камере – в работах^[4]. Поскольку в эксперименте при 5 ГэВ/с 2- и 4-лучевые события были измерены не на всей имеющейся статистике стереофотографий для этих событий были введены

Экспериментальные распределения инвариантных дифференциальных сечений образования Π^\pm -мезонов в зависимости от быстроты в с.ц.м. $y^* = 1/2 \ln [(E^* + P_H^*)/(E^* - P_H^*)]$, где E^* и P_H^* - энергия и импульс рожденных Π^\pm -мезонов, были проанализированы на основе модели мультипериферической эмиссии кластеров [6,7,9]. Указанная модель предполагает двухступенчатый процесс образования вторичных частиц в адрон-адронных столкновениях. Вначале, при преимущественно периферическом столкновении первичных частиц образуются кластеры, а затем кластеры распадаются изотропно в их системе покоя. Модель для распределения инвариантных дифференциальных сечений образования вторичных частиц в адрон-адронных столкновениях в зависимости от y^* предсказывает следующее выражение:

$$f(y^*) = \frac{1}{\delta n} \frac{d\delta n}{dy^*} = \frac{A}{\sqrt{2\pi} L} \exp \left[-\frac{(y^* - y')^2}{2L^2} \right], \quad (I)$$

где A - параметр, который определяет среднее число пионов, на которые распадается кластер; y' - параметр асимметрии распределения относительно $y=0$; L - дисперсия распределения по быстротам. Эта величина в модели мультипериферической эмиссии кластеров уменьшается с ростом множественности вторичных частиц и логарифмически возрастает с увеличением энергии сталкивающихся частиц.

Из анализа полуинклузивных данных при высоких энергиях ≥ 50 ГэВ получено [8,9], что параметр A соответствует числу пионов, на которые распадается кластер, y' - быстрота кластера, а экспериментальные значения дисперсии уменьшаются с ростом множественности

заряженных частиц n . Но, когда множественность больше или равна средней множественности $n > \langle n \rangle$, дисперсия не зависит от квадрата полной энергии в с.ц.м. и от n .

Результаты аппроксимации экспериментальных данных при 5 и 40 ГэВ/с показаны на рисунках (I-9) сплошными кривыми и приведены в таблицах (I-3). В пределах экспериментальных ошибок выражение (I) удовлетворительно описывает распределение по быстрым π^\pm -мезонов, образованных в π^-N -столкновениях для $n > \langle n \rangle$ (при 40 ГэВ/с $\langle n \rangle = 5.62 \pm 0.04$ и 5.32 ± 0.04 для π^-p - и π^-N -взаимодействий соответственно, а при 5 ГэВ/с $\langle n \rangle = 2.86 \pm 0.05$). Лучшее описание получается для π^-N -взаимодействий.

В пределах ошибок значения параметра A совпадают с множественностью вторичных заряженных пионов, дисперсия L уменьшается с ростом n и возрастает с увеличением энергии сталкивающихся частиц от 5 до 40 ГэВ. Параметр асимметрии мал для $n > \langle n \rangle$.

Таким образом, модель мультипериферической эмиссии кластеров хорошо отражает экспериментально наблюдаемые сужение распределения по быстрым и уменьшение асимметрии относительно $Y=0$ по мере увеличения множественности при $n > \langle n \rangle$, а также чувствует возрастание дисперсии с увеличением полной энергии взаимодействия.

Авторы выражают благодарность Н.С.Амаглобели за обсуждение результатов и полезные советы, а также коллективу сотрудничества Берлин-Бухарест-Дубна-Кошице-Улан-Батор за предоставленную возможность пользования лентой суммарных результатов при 5 ГэВ/с.

Поступила 6.XII.1977

Проблемная лаборатория ядерной
физики высоких энергий ТГУ

Таблица I



Параметры, полученные при аппроксимации дифференциальных сечений π^\pm -мезонов в π^-N' -взаимодействиях при $P_c=40$ ГэВ выражением (I) (N' - число экспериментальных точек), $-2.5 \leq y^* \leq 2.5$

Множественность частицы	π^\pm	L	y'	A	χ^2/N'
		в единицах быстроты			
4	π^\pm	1.63 ± 0.02	0.46 ± 0.03	3.8 ± 0.1	83/I2
6	π^\pm	1.29 ± 0.01	0.21 ± 0.02	5.8 ± 0.1	55/I4
8	π^\pm	1.11 ± 0.01	0.13 ± 0.02	3.7 ± 0.1	38/II
10	π^\pm	1.04 ± 0.01	0.08 ± 0.02	9.5 ± 0.2	I3/I2
12	π^\pm	0.99 ± 0.02	0.02 ± 0.02	11.3 ± 0.4	6/I3
Инклоз. π^-N	π^\pm	1.26 ± 0.01	0.24 ± 0.01	5.3 ± 0.02	36/32
3	π^\pm	1.38 ± 0.24	0.99 ± 0.03	2.9 ± 0.1	72/33
5	π^\pm	1.34 ± 0.02	0.49 ± 0.03	4.8 ± 0.1	32/26
7	π^\pm	1.13 ± 0.01	0.24 ± 0.02	6.6 ± 0.1	27/26
9	π^\pm	1.00 ± 0.01	0.03 ± 0.02	9.2 ± 0.2	26/26
Инклоз. π^-n	π^\pm	1.25 ± 0.01	0.40 ± 0.01	4.8 ± 0.04	49/26

Таблица 2



Параметры, полученные при аппроксимации дифференциальных сечений Π^+ - и Π^- -мезонов в Π^-N -взаимодействиях при $P = 40$ ГэВ/с выражением (I) (N' - число экспериментальных точек), $-2.5 \leq Y' \leq 2.5$

Множественность	Частицы	L	y'	A	χ^2/N'
		в единицах быстроты			
2	Π^+	1.75 ± 0.10	-0.35 ± 0.08	0.95 ± 0.04	I05/I2
	Π^-	2.00 ± 0.22	2.77 ± 0.15	1.49 ± 0.12	II/II
4	Π^+	1.47 ± 0.03	-0.004 ± 0.030	1.75 ± 0.03	83/I2
	Π^-	1.77 ± 0.08	1.06 ± 0.12	2.23 ± 0.13	2I/II
6	Π^+	1.25 ± 0.02	0.08 ± 0.02	2.80 ± 0.05	30/II
	Π^-	1.30 ± 0.02	0.40 ± 0.02	2.90 ± 0.05	55/I3
8	Π^+	1.08 ± 0.01	0.05 ± 0.02	3.74 ± 0.07	I6/II
	Π^-	1.11 ± 0.02	0.22 ± 0.02	3.90 ± 0.08	2I/I3
10	Π^+	1.03 ± 0.02	-0.05 ± 0.02	4.60 ± 0.13	7/I2
	Π^-	1.05 ± 0.02	0.08 ± 0.02	4.76 ± 0.12	7/I8
12	Π^+	0.98 ± 0.03	-0.03 ± 0.04	5.47 ± 0.23	7/I4
	Π^-	0.97 ± 0.03	-0.01 ± 0.03	5.73 ± 0.25	7/I5
Инклоз.	Π^+	1.25 ± 0.01	-0.004 ± 0.010	2.62 ± 0.02	I50/24
Π^-P	Π^-	1.28 ± 0.01	0.42 ± 0.01	2.66 ± 0.02	I06/24
3	Π^+	1.34 ± 0.06	0.92 ± 0.07	0.98 ± 0.04	45/26
	Π^-	1.54 ± 0.06	1.31 ± 0.08	2.06 ± 0.08	48/26
5	Π^+	1.25 ± 0.02	0.39 ± 0.04	1.80 ± 0.05	32/26
	Π^-	1.39 ± 0.04	0.57 ± 0.04	2.90 ± 0.07	26/26
7	Π^+	1.07 ± 0.02	0.22 ± 0.03	2.70 ± 0.07	I9/26
	Π^-	1.17 ± 0.02	0.25 ± 0.03	3.80 ± 0.09	27/26
9	Π^+	0.97 ± 0.02	-0.007 ± 0.020	4.10 ± 0.01	20/26
	Π^-	1.01 ± 0.02	0.06 ± 0.03	5.00 ± 0.10	2I/26
Инклоз.	Π^+	1.16 ± 0.10	0.29 ± 0.02	2.04 ± 0.02	53/26
Π^-n	Π^-	1.30 ± 0.02	0.49 ± 0.02	2.80 ± 0.03	55/26

Таблица 3

Параметры, полученные при аппроксимации дифференциальных сечений Π^+ - и Π^- -мезонов в Π^-P -взаимодействиях при $P_c=5$ ГэВ выражением (I) (N' - число экспериментальных точек), $-2.5 \leq y' \leq 2.5$

Множественность	Частицы	L	y'	A	χ^2/N'
		в единицах быстроты			
2	Π^+	0.95 ± 0.01	0.11 ± 0.01	0.68 ± 0.01	309/20
	Π^-	1.06 ± 0.01	0.73 ± 0.01	1.02 ± 0.01	203/16
4	Π^+	0.80 ± 0.01	0.06 ± 0.01	1.35 ± 0.01	126/37
	Π^-	0.88 ± 0.01	0.22 ± 0.01	1.98 ± 0.01	183/37
6	Π^+	0.68 ± 0.01	0.05 ± 0.01	2.23 ± 0.03	15/31
	Π^-	0.70 ± 0.01	0.30 ± 0.01	2.99 ± 0.04	31/30
Инклуз.	Π^+	0.82 ± 0.01	0.07 ± 0.01	1.06 ± 0.01	538/36
	Π^-	0.92 ± 0.01	0.34 ± 0.01	1.48 ± 0.01	1514/31

ЛИТЕРАТУРА

1. M.P.Balandin et al., Nucl. Inst. and Meth., 20, 110 (1973).
2. A.V.Belonogov et al., Nucl. Inst. and Meth., 20, 114 (1963);
B.B.Глаголев и др., ОИЯИ ИЗ-3633, Дубна, 1967; ПТЭ 3, 325, 1968.
3. А.У.Абдурахимов и др., ОИЯИ І-6967, Дубна, 1973; Л.Н.Абесалашвили, Н.С.Амаглобели и др., Сообщения АН ГССР, 75, №3, 577, 1975; Л.Н.Абесалашвили, Н.С.Амаглобели и др. Труды ТГУ, №188, физика, 1977.

4. Сотрудничество Берлин-Бухарест-Дубна-Кошице-Улан-Батор.

Сообщения ОИЯИ, PI-6846, Дубна, 1972; В.В.Глаголев и др., ОИЯИ, PI-8148, Дубна, 1974.

5. Л.Н.Абесалашвили, К.Шпиринг и др., ОИЯИ PI-7027, Дубна, 1973;

Л.Н.Журавлева, Н.К.Куциди и др., Сообщения ОИЯИ, I-I0555, Дубна, 1977.

6. E.L.Begger, G.C.Fox and A.Krzywicki, Phys. Let., 43B, 132 (1973).

7. E.L.Berger, G.C.Fox, Ref. Th 1700-CERN, 1973.

8. A.Bialas, K.Fialkowski and K.Zalewski, Phys. Let., 45 B, 337 (1973).

9. E.L.Berger, CERN-TH-1800, 1974.

ღ. აბესალაშვილი, ი. თევზაძე, მ. ჩარგეიშვილი

5 და 40 გვ3/ც -ს კ⁻ N ართიანთალარებრი ღაბაზებაზე
 კ[±] ღამობის სისწავეებით ინტეგრირი და სახავა-
 იცვლებიანი განვიღებას ავრიბი

რ ე გ ი მ ე

კ⁻ N ურთიერთებები რეგისტრირებულის ღუბნის მაღალი ენერგი-
 ების ფიზიკის ღამორაფორიტის წყალბაზის 1-მეტრიან და პროპარის
 2-მეტრიან ბუჭოვან კამერებში, რომელიც ღასხივებულია სერაფე-
 ვოს ამაჩქანებელზე შესაბამისად 5 და 40 გვ3/ც იმპულსის კ⁻ -მე-
 ტონების ნაკარით. კ[±] -მეტონების სისწავეებით ინტეგრირი და
 ნახევრადინიცუმიტირი განაწილებები 5 კვ3 ენერგიაზე მიღებულია
 ~ 196000 კ⁻ P -, 40 გვ3-ს კი ~ 8000 კ⁻ P -და ~ 4000 კ⁻ N -
 არაბრეკარი ღაჭაბებების საფუძველზე. ექსპერიმენტული ინვარიან-
 ტური ღიფერენციალური განივი კვეთების ანალიზი ჩაფარებულია მუ-
 ფიპერიფერიული ემისიის კლასფერული მოდელით.

L. Abesalashvili, Yu. Tevzadze, M. Chargeishvili

AN ANALYSIS OF SEMI-INCLUSIVE AND INCLUSIVE
DISTRIBUTIONS OF π^\pm -MESONS IN π^-N -INTERACTIONS AT 5
AND 40 GEV/C

Summary

In the multiperipheral cluster emission model, the semiinclusive and inclusive rapidity distributions of π^\pm -mesons at 5 and 40 Gev/c are studied in π^-N -interactions recorded in JINR's 1-m hydrogen and 2-m propane bubble chambers.

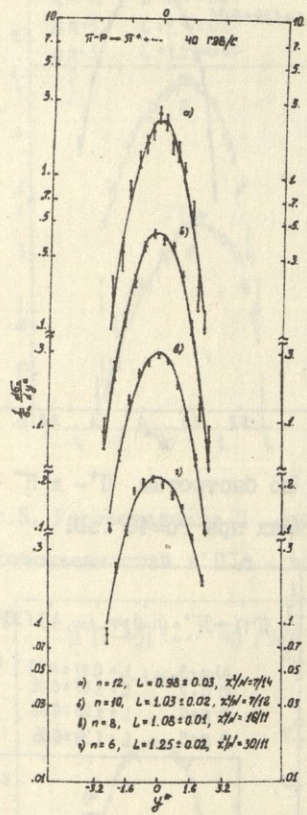


Рис. 1. Распределение Π^+ -мезонов по быстрым в $\Pi^- p$ -взаимодействиях для разных множественностей при $P_c=40$ ГэВ.

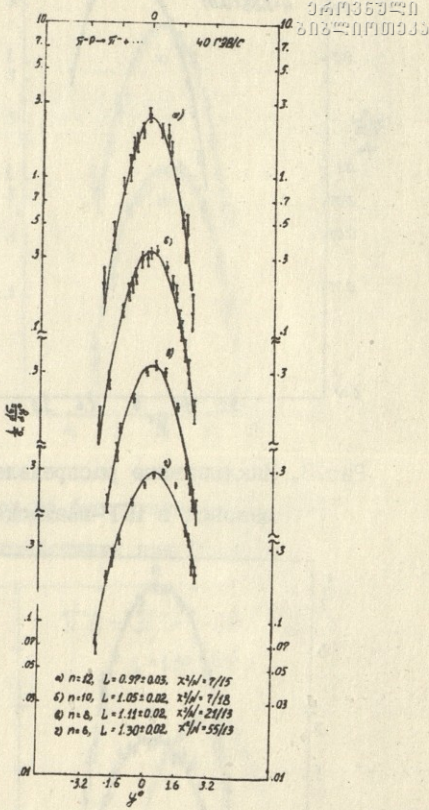


Рис. 2. Распределение Π^- -мезонов по быстрым в $\Pi^- p$ -взаимодействиях для разных множественностей при $P_c=40$ ГэВ.

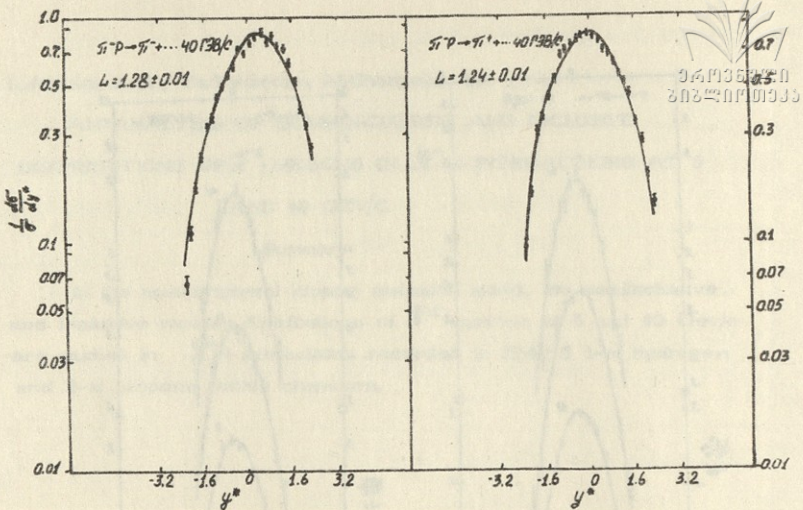


Рис.3. Инклузивные распределения по быстрым π^+ - и π^- -
мезонов в $\pi^- p$ -взаимодействиях при $P_c=40$ ГэВ.

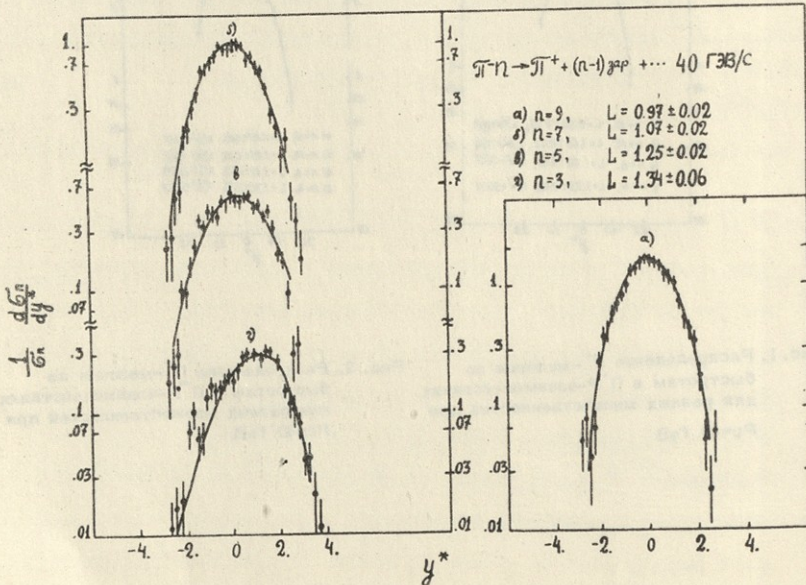


Рис.4. Распределение π^+ -мезонов по быстрым для разных
множественностей в $\pi^- n$ -взаимодействиях при $P_c=40$ ГэВ.

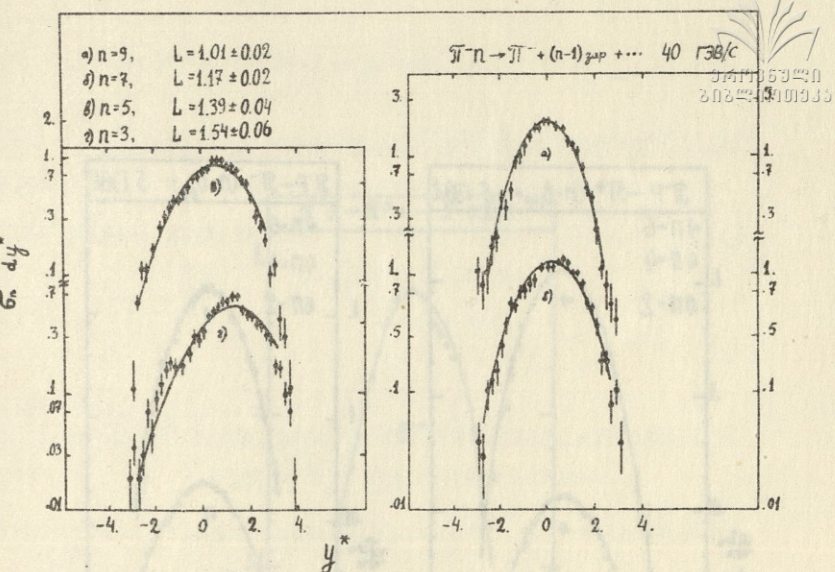


Рис.5. Распределение Π^- -мезонов по быстротам для разных множественностей в Π^-n -взаимодействиях при $P_c=40$ ГэВ.

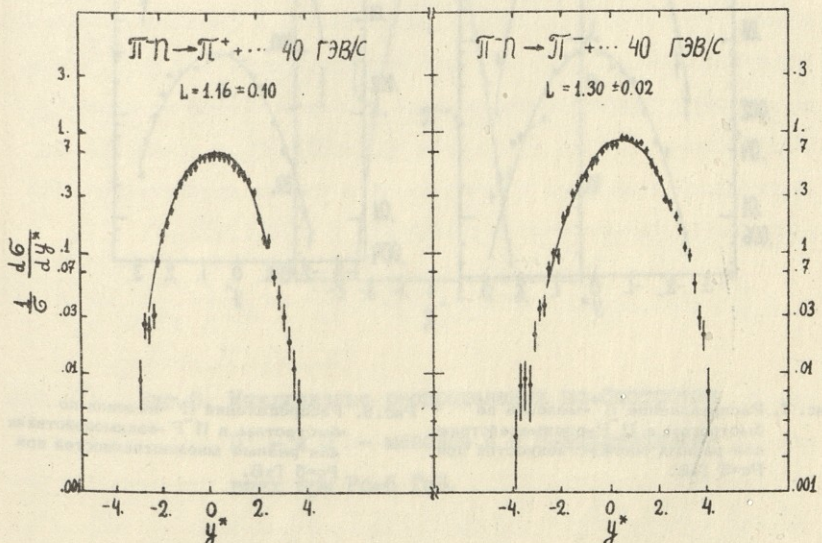


Рис.6. Инклузивные распределения по быстротам Π^+ - и Π^- -мезонов в Π^-n -взаимодействиях при $P_c=40$ ГэВ.

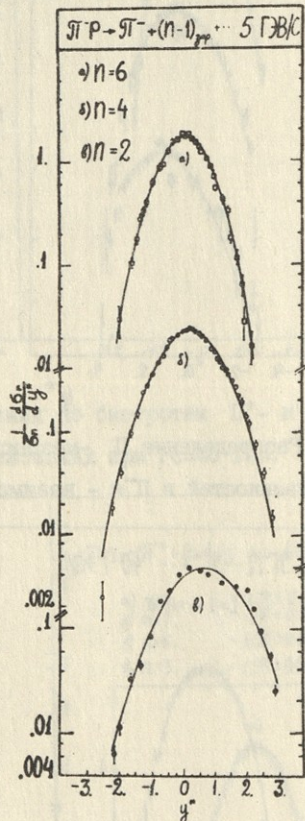
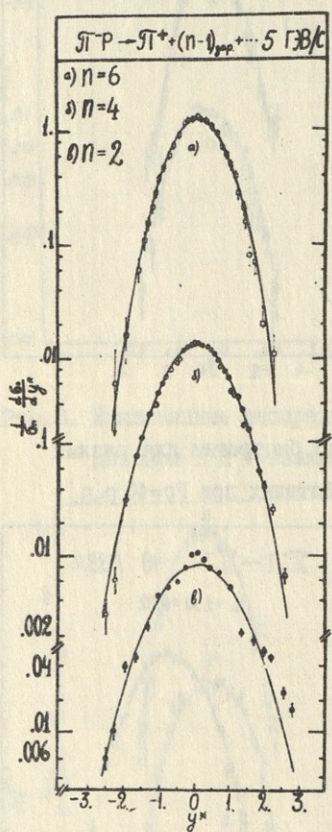


Рис. 7. Распределение π^+ -мезонов по быстротам в $\pi^- p$ -взаимодействиях для разных множественностей при $P_c=5$ ГэВ.

Рис. 8. Распределение π^- -мезонов по быстротам в $\pi^- p$ -взаимодействиях для разных множественностей при $P_c=5$ ГэВ.

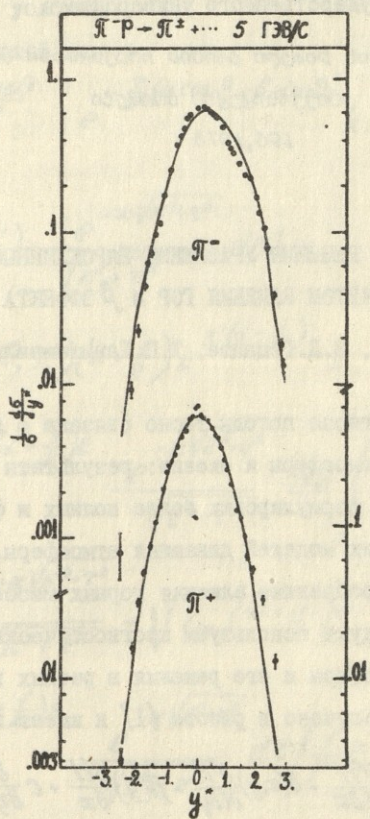


Рис.9. Инклузивные распределения по быстротам π^+ - и π^- -мезонов в $p-p$ -взаимодействиях при $P_c=5$ ГэВ.

Труды Тбилисского ордена Трудового Красного Знамени
государственного университета

მიმღების მრომის ნითერი მრმების თრენისანი სახელმწიფო

უნივერსიტეტის მრმები

196, 1978

ИССЛЕДОВАНИЕ РЕШЕНИЯ УРАВНЕНИЯ БАРОКЛИННОЙ АТМОСФЕРЫ
С УЧЕТОМ ВЛИЯНИЯ ГОР И β ЭФФЕКТА

И.Н.Бекаури, З.Д.Гецадзе, Т.П.Давиташвили, З.В.Хведелидзе

Проблема прогноза погоды тесно связана с исследованиями в области физики атмосферы и океана: результаты этих исследований используются для формулировки более полных и физически обоснованных математических моделей динамики атмосферы. Для того, чтобы исследовать разнообразные влияния горных массивов на движение атмосферного воздуха используем прогностические уравнения для бароклинической атмосферы и его решения в разных приближениях. Это уравнение было получено в работе [1] и имеет вид:

$$\Delta \frac{\partial H}{\partial t} + a(x,y) \frac{\partial^2 H}{\partial t \partial x} + b(x,y) \frac{\partial^2 H}{\partial t \partial y} + \beta(y) \frac{\partial H}{\partial x} + c \frac{\partial}{\partial \zeta} \left(\zeta^2 \frac{\partial^2 H}{\partial t \partial \zeta} \right) = f', \quad (1)$$

где a и b - параметры, характеризующие влияние гор; f' - комбинация исходного поля; остальные обозначения вообще известны.

Решение уравнения (1) в области функции изображения при начальном условии $t=0$, $H=H_0(x,y,\zeta)$ имеет вид:

$$H = \frac{1}{2\pi} \int_0^{2\pi} \int_0^\infty \int F_i(\tau, \vartheta, \zeta) G_i(\tau, \vartheta, \zeta, \zeta') + \quad (2)$$

$$+ f_1(\tilde{z}, \vartheta) \bar{G}_2(\tilde{z}, \vartheta, \xi, \xi') / \tilde{z} d\tilde{z} d\vartheta,$$

где \bar{G}_1 и \bar{G}_2 - функции Грина, а f_1 и f_2' зависят от исходного поля и краевых условий.

Они имеют следующий вид:

$$\bar{G}_1 = \frac{1}{\rho} e^{-\frac{\varepsilon \beta \cos \vartheta}{2\rho}} e^{-\frac{\tilde{z}}{2} (\alpha \cos \vartheta + \beta \sin \vartheta)} x$$

$$\times \left\{ J \int_{\xi_z}^{\infty} F(\tilde{z}, \vartheta, \xi_z') \frac{e^{-x \sqrt{\kappa^2 + \varepsilon^2}}}{\sqrt{\kappa^2 + \varepsilon^2}} d\xi_z' + \right. \\ \left. + \sqrt{\gamma_{cp}} \int_{\xi_z'}^{\infty} F(\tilde{z}, \vartheta, \xi_z') (\alpha + \frac{1}{2}) e^{\xi_z' (\alpha + \frac{1}{2})} x \right. \\ \left. \times \int_{\sqrt{\xi_z' cp}}^{\infty} e^{\sqrt{\xi_z' cp} (\alpha + \frac{1}{2}) \varepsilon} \frac{e^{-x \sqrt{\varepsilon^2 + \tilde{z}^2}}}{\sqrt{\varepsilon^2 + \tilde{z}^2}} d\varepsilon \right\};$$

$$\bar{G}_2 = \sqrt{\gamma_{cp}} \frac{e^{-x \sqrt{\kappa^2 + \varepsilon^2}}}{\sqrt{\kappa^2 + \varepsilon^2}} + \sqrt{\gamma_{cp}} (\alpha + \frac{1}{2}) e^{\xi_z (\alpha + \frac{1}{2})} x$$

$$\times \int_{\sqrt{\xi_z cp}}^{\infty} e^{\sqrt{\xi_z cp} (\alpha + \frac{1}{2}) \varepsilon} \frac{e^{-x \sqrt{\varepsilon^2 + \tilde{z}^2}}}{\sqrt{\varepsilon^2 + \tilde{z}^2}} d\varepsilon \left/ \frac{1}{\rho} e^{-\frac{\varepsilon \beta \cos \vartheta}{2\rho}} x \right. \\ \times e^{-\frac{\tilde{z}}{2} (\alpha \cos \vartheta + \beta \sin \vartheta)}$$

$$F = - \left(H, \frac{\partial}{\ell} \frac{\partial}{\partial x} \left(\frac{1}{\tilde{z}} \frac{\partial H}{\partial x} \right) + \frac{\partial}{\ell} \frac{\partial}{\partial y} \left(\frac{1}{\tilde{z}} \frac{\partial H}{\partial y} \right) \right) - \frac{\ell}{\tilde{z}} (\rho, H) + \frac{R}{g} \frac{\partial}{\partial \tilde{z}} \tilde{z} H;$$

$$\text{где } \alpha = \frac{R}{g} (\gamma_a - \gamma); \quad \gamma = \frac{\rho_z}{\rho_0}; \quad A_T = -\frac{g^2}{R\rho} \left(H, \frac{\partial H}{\partial z} \right);$$

H - высота, соответствующая изобарической поверхности, ρ_0 - стандартное значение давления на уровне моря; ρ_z - давление на уровне горы; x, y - горизонтальные координаты, причем ось x направлена на восток по направлению параллели, ось y - на север, по меридиану; $\ell = \ell(y)$ параметр Кориолиса; g - ускорение силы тяжести, $\beta = \frac{\partial \ell}{\partial y}$ - параметр Россби, $a = -\frac{\partial \ln \gamma}{\partial x}$; $B = -\frac{\partial \ln \gamma}{\partial y}$; T - абсолютная температура; $\frac{\partial x}{\partial z}$ - универсальная газовая постоянная, Δ - оператор Лапласа; $(A, B) = \frac{\partial A}{\partial x} \frac{\partial B}{\partial y} - \frac{\partial A}{\partial y} \frac{\partial B}{\partial x}$; γ_a - адиабатический градиент температуры; γ' - вертикальный градиент температуры;

$$\kappa = \left(\frac{\gamma'_x - \gamma'_z}{\gamma_{cp}}; \frac{\gamma_x - \gamma_z}{\gamma_{cp}}; \frac{\gamma_x}{\gamma_{cp}}; \frac{\gamma_z}{\gamma_{cp}} \right);$$

$$\gamma = \frac{1}{2\sqrt{\gamma_{cp}}}; \quad \chi = \sqrt{\frac{a^2 + B^2 + \gamma_{cp}}{4} + \frac{aB}{2\rho} + \frac{\beta^2}{4\rho^2}};$$

ρ - параметр Карсона - Хевисайда.

Вид функций G_1 и G_2 настолько сложен, что получить оригинал невозможно, но для получения интересующего нас результата, т.е. для малых значений t , целесообразно представить G_1 и G_2 в виде ряда по отрицательным степеням параметра ρ с помощью формулы [2]:

$$\frac{1}{\rho^n} \approx \frac{t^n}{f(n+1)}$$

Далее найдем величины

$$G_{1,2} = E_1 t + E_2 t^2 + E_3 t^3 + \dots, \quad (3)$$

где E_n выражаются при помощи членов, полученных после разложения рядов. Для разных значений t (0,25, 05, 1, 2, 3, 6, 24 час), γ, α, β и β' вычислялись $G_{1,2}$ на ЭВМ и строились соответствующие графики. Из этих графиков видно, что на всех уровнях атмосферы

наблюдаются одинаковые картины, а именно: над Кавказским хребтом функции влияния получают минимальные значения по северному направлению ($\vartheta = \frac{\pi}{2}$), а по южному и юго-западному направлениям — максимальное (рис. I).

Для того чтобы объяснить это известное в синоптической практике [3] явление, исследуем те выражения, которые входят в функцию влияния [1]. Туда входят множители следующего вида:

$$\text{a) } e^{-\frac{\varepsilon \beta \cos \vartheta}{2\rho}}, \quad \text{б) } e^{-\frac{\varepsilon}{2}(\alpha \cos \vartheta + \beta \sin \vartheta)}, \\ \text{в) } \frac{1}{\rho} e^{-\sqrt{\frac{\alpha^2 + \beta^2 + \gamma_{sp}}{4} + \frac{\alpha \beta}{2\rho} + \frac{\beta^2}{4\rho^2}}} \sqrt{\lambda^2 + \varepsilon^2}$$

Рассмотрим их влияние в отдельности.

а) Когда $1/\rho$ очень большой, т.е. t очень мал, тогда

$$e^{-\frac{\varepsilon \beta \cos \vartheta}{2\rho}} \approx 1, \quad t > \frac{\varepsilon \beta \cos \vartheta}{2}.$$

Таким образом, влияние этого члена появляется не непосредственно в точке прогноза, а на расстоянии $+l$ ($\cos \vartheta > 0$).

б) Допустим, что $\alpha = \rho \cos \theta_0$, $\beta = \rho \sin \theta_0$, где $\rho = \sqrt{\alpha^2 + \beta^2}$, $\theta_0 = \arctg \frac{\beta}{\alpha}$ — начальная фаза, определенная с помощью параметров горы.

Тогда

$$\alpha \cos \vartheta + \beta \sin \vartheta = \rho \cos(\vartheta - \theta_0),$$

так как для Кавказских гор $\alpha = 0,68 \cdot 10^{-6} \frac{\text{I}}{\text{M}}$ и $\beta = 6,4 \cdot 10^{-6} \frac{\text{I}}{\text{M}}$,

и, следовательно, $\theta_0 = \arctg 9,45 \approx \frac{\pi}{2}$ ($\theta_0 = 85^\circ 50'$)

Поэтому $e^{-\frac{\varepsilon \rho}{2} \cos(\vartheta - \theta_0)} \approx e^{-\frac{\varepsilon \rho}{2} \sin \vartheta}$

Ясно, что при $0 \leq \vartheta \leq \pi$ с увеличением τ значение $e^{-\frac{\beta^2}{2} \sin \vartheta}$ быстро уменьшается, а при $\pi < \vartheta \leq 2\pi$ - быстро возрастают. Этим и объясняется нарушение симметрического характера функции влияния (рис.2).

в) Представим $\frac{1}{\rho} e^{-\sqrt{D^2 + \frac{\alpha\beta}{2\rho} + \frac{\beta^2}{4\rho}} \sqrt{\kappa^2 + \varepsilon^2}}$

в следующем виде:

$$\frac{1}{\rho} e^{-\frac{\beta}{2\rho} \sqrt{1 - \frac{2\alpha\rho}{\beta} + \frac{4D^2\rho^2}{\beta^2}} \sqrt{\kappa^2 + \varepsilon^2}} = \frac{1}{\rho} e^{-(\frac{\alpha}{2} + \frac{\alpha^2}{4}) \sqrt{\kappa^2 + \varepsilon^2}} \times \\ \times e^{-\frac{\beta}{2\rho} \sqrt{\kappa^2 + \varepsilon^2}} \times e^{-\frac{\rho D^2 \sqrt{\kappa^2 + \varepsilon^2}}{\beta}}$$

$$\longleftrightarrow f_1(\rho) \longrightarrow \quad \longleftrightarrow f_2(\rho) \longrightarrow$$

С помощью [2] найдем

$$f_1(\rho) = J_0 \left(2 \sqrt{\frac{\beta}{2}} \sqrt{\kappa^2 + \varepsilon^2} t \right),$$

$$f_2(\rho) = \begin{cases} 0 & \text{при } t < \frac{D^2 \sqrt{\kappa^2 + \varepsilon^2}}{\beta} \\ 1 & t > \frac{D^2 \sqrt{\kappa^2 + \varepsilon^2}}{\beta} \end{cases}$$

Используя теорему о свертке, запишем:

$$\frac{1}{\rho} e^{-\sqrt{D^2 + \frac{\alpha\beta}{2\rho} + \frac{\beta^2}{4\rho}} \sqrt{\kappa^2 + \varepsilon^2}} = e^{-(\frac{\alpha}{2} + \frac{\alpha^2}{4}) \sqrt{\kappa^2 + \varepsilon^2}} \times \\ \times \int_{\frac{\rho D^2 \sqrt{\kappa^2 + \varepsilon^2}}{\beta}}^{\infty} J_0 \left(2 \sqrt{\frac{\beta}{2}} \sqrt{\kappa^2 + \varepsilon^2} (t - r) \right) dr \quad (4)$$

После получения численных значений выражения (4) выяснилось, что при совместном влиянии гор и β эффекта усиливается нарушение симметрического характера функции Грина (рис.2), что подтверждает результаты, полученные в работах [4,5], а именно: функции Грина - асимметрического характера и при прогнозировании метеорологических элементов в горных условиях численными методами необ-

ходимо учесть то обстоятельство, что весовые коэффициенты имеют
разные значения, в зависимости от направления от точки прогноза



Поступила 20.XII.1977

Кафедра геофизики

ЛИТЕРАТУРА

1. З.В.Хведелидзе, Труды ТГУ, А 4 (146), 1972, 109-120.
2. М.А.Захашвили, Методические указания к прогнозу выхода южных циклонов на территории Закавказья, 1967.
3. В.А.Диткин, А.П.Прудников, Справочник по специальному исчислению, М., "Высшая школа", 1965, 466.
4. Е.М.Добрышман, Труды ЦИИ, вып.78, 1958, 92-104.
5. З.В.Хведелидзе, Труды ГМИ, вып.103, 1974, 87-94.

ი.ბექაური, გ.გერაძე, თ.გავრიშვილი, გ.ხვდელიძე

მარიამი აშოთავის ვაჟობის პამხსოს გამოკვლევა
მოძროვის რაიონისათვის β ციცელის გამოყენების

რ ე ბ ი ს ი

შრომაში მოცემულია ბაროკლინური აფიონფეროსათვის რეცი-
ფის და β -ციცელის გამოყენების შემთხვევაში პროცენტე-
რი განვითარების ამობს 50% გამოკვლევა და წინამ მიღებული შეავ-
რის - გრინის დუნეციების ასიმეტრიულობის გამფლივება $\angle 5^{\circ}$.

L.Bekauri, Z.Getsadze, T.Davitashvili, Z.Khvedelidze



STUDY OF THE SOLUTION OF THE BAROCLINIC ATMOSPHERE EQUATION WITH ACCOUNT OF THE MOUNTAIN INFLUENCE AND THE β EFFECT
Summary

Proofs are presented for the asymmetric nature of the function of influence in the baroclinic atmosphere with simultaneous account of the influence of the Earth's relief and the Rossby effect. The earlier known phenomena that the Caucasus mountains have a particularly strong effect on the air streams of the south and south-west direction have been confirmed.

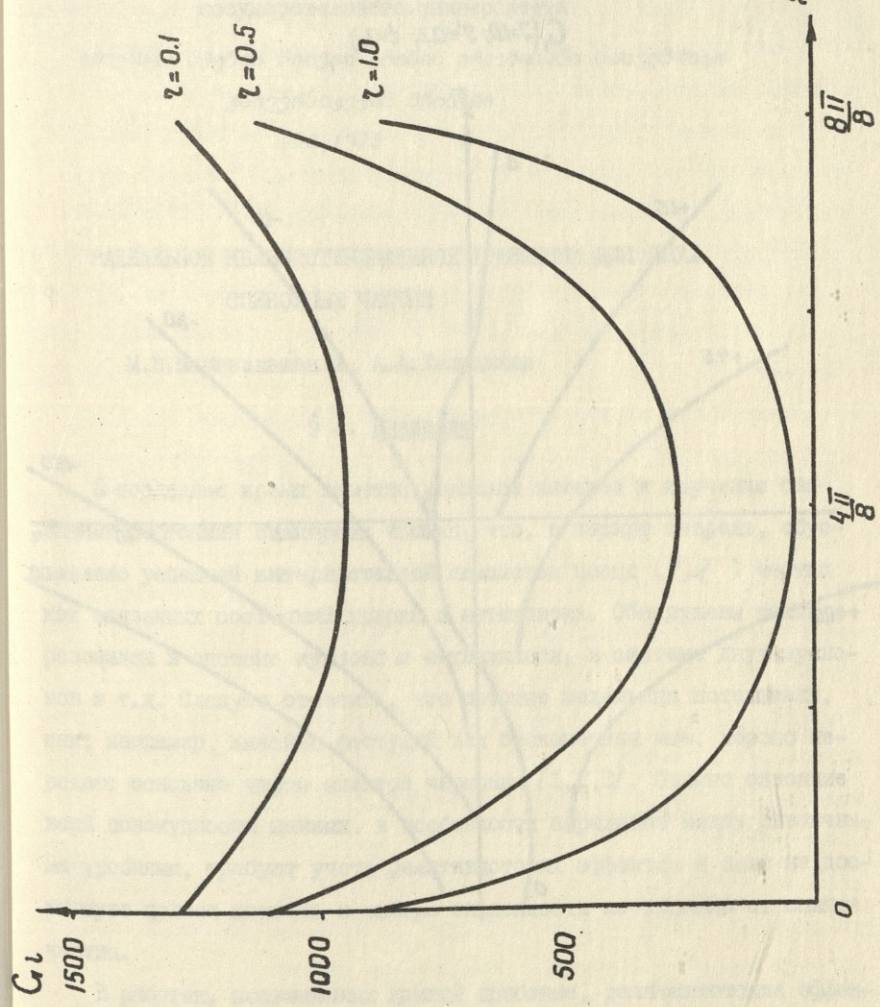


Рис 1.

$$C_1(J=1.0; J'=0.3; t=3\pi)$$

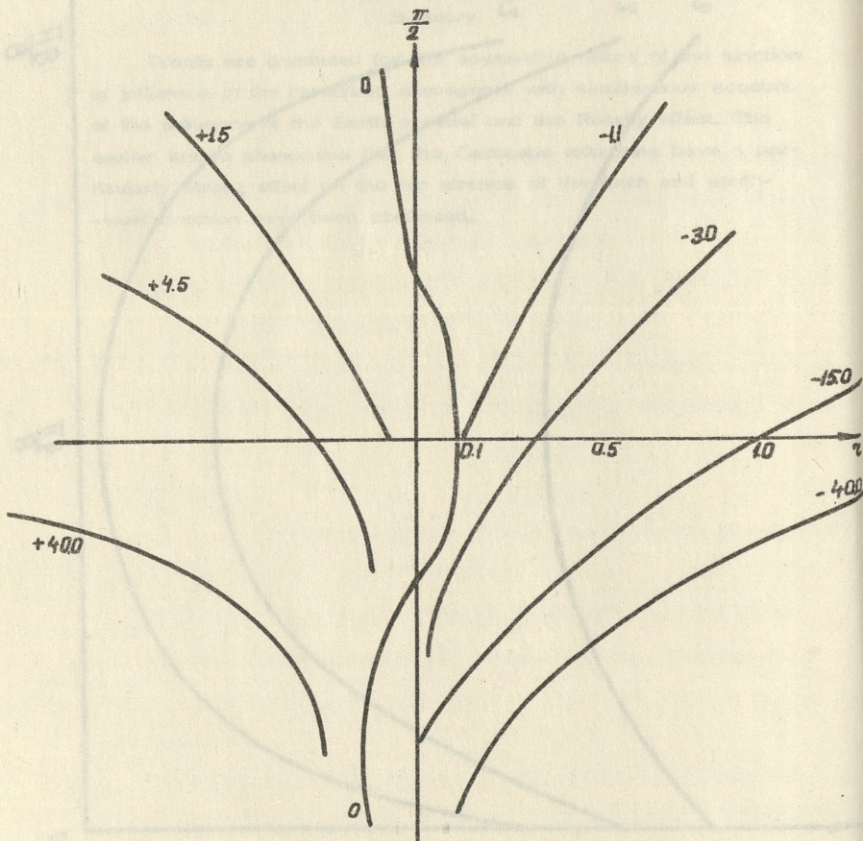


Рис 2.

Труды Тбилисского ордена Трудового Красного Знамени
государственного университета



თბილისის მუზეუმის მომღების მემკვიდრეობის
უნივერსიტეტის მუზეუმის მომღები

196, 1978

РАДИАЛЬНОЕ КВАЗИПОТЕНЦИАЛЬНОЕ УРАВНЕНИЕ ДЛЯ ДВУХ
СПИНОРНЫХ ЧАСТИЦ

М. В. Маргвелашвили, А. А. Хелашвили

§ I. Введение

В последнее время заметно усилился интерес к изучению связанных состояний спинорных частиц, что, в первую очередь, обусловлено успешной интерпретацией семейства новых (Ψ, J) частиц как связанных состояний кварка и антикварка. Обнаружены также резонансы в системе нуклона и антинуклона, в системе двух нуклонов и т. д. Следует отметить, что простые модельные потенциалы, как, например, линейно растущий или бесконечная яма, хорошо передают основные черты спектра чармония [1, 2, 3]. Однако описание всей совокупности данных, в особенности переходов между различными уровнями, требует учета релятивистских эффектов и пока не достигнута полная ясность в выборе зависимости потенциала от спинов частиц.

В работах, посвященных данной проблеме, релятивистские эффекты учитываются по-разному. Чаще всего применяется [4, 5, 6], уравнение Бете-Сольштерна [7] со статическим ядром, и хотя задача сводится к уравнению типа Шредингера-Дирака, для дальнейшего включе-

ния релятивистских поправок не остается места. В этом отношении наиболее последовательным является квазипотенциальный подход, предложенный впервые Логуновым и Тавхелидзе [8]. Сохраняя близость с нерелятивистской картиной, в квазипотенциальном уравнении содержится вся информация релятивистской квантовой теории поля.

Цель настоящей работы состоит в получении системы радиальных уравнений для 16-компонентной квазипотенциальной волновой функции, которая определяется с помощью амплитуды Бете-Сольптера $\chi(E; \vec{p}, \rho_o)$ в СЦМ соотношением [8]

$$\psi_E(\vec{p}) = \int_{-\infty}^{+\infty} d\rho_o \chi(E; \vec{p}, \rho_o). \quad (I.1)$$

Она удовлетворяет трехмерному уравнению [9]

$$[E - H_1(\vec{p}) - H_2(-\vec{p})] \psi_E(\vec{p}) = \int \frac{d\vec{q}}{(2\pi)^3} V(E; \vec{p}, \vec{q}) \psi_E(\vec{q}), \quad (I.2)$$

где $H_i(\vec{p}) = \vec{\alpha}^{(i)} \vec{p} + \beta^{(i)} m_i$, а \vec{p}, \vec{q} – относительные импульсы в СЦМ. Квазипотенциал $V(E; \vec{p}; \vec{q})$ определяется с помощью известного рецепта [9] через ядра Бете-Сольптера. В частном случае статических ядер отсюда получается уравнение Сольптера [10]. Важной особенностью уравнения (I.2) является максимальная близость к уравнению Бете-Сольптера (сохранены все 16 компонент волновой функции), поэтому можно пользоваться ковариантными соображениями. Уравнение (I.2) было применено в работах [11, 12] для исследования процессов столкновения нуклонов при высоких энергиях и больших передаваемых импульсах.

Как известно, квазипотенциал в общем случае – сложная нелокальная функция импульсов и энергии, однако, его можно эффектив-

но заменить на локальный потенциал, не меняя при этом спектра

связанных состояний и \mathcal{H} - матрицу на массовой поверхности.

В случае локального квазипотенциала уравнение (1.2) в координатном пространстве принимает форму уравнения Дирака

$$[E - H_1(-i\vec{\nabla}) - H_2(i\vec{\nabla})]\psi(\vec{r}) = V(\vec{r})\psi(\vec{r}). \quad (1.3)$$

В такой форме уравнение (1.3) применимо к системе двух фермионов. Для системы фермион-антифермион данное уравнение нужно умножить на оператор зарядового сопряжения соответствующей частицы. Будем считать, что $V(\vec{r})$ сохраняет четность, тогда полный угловой момент J , его проекция M и четность P вместе с энергией - одновременно наблюдаемые величины, и можем ковариантно характеризовать состояния двух фермионов в обычных спектроскопических обозначениях.

$$^{(4-3)}J_J : \left(^1S_0, ^1P_1 + ^3P_1, ^1D_2 + ^3D_2, \dots\right), \quad P=(-1)^J,$$

$$^3(J\pm 1)_J : \left(^3P_0, ^3S_1 + ^5D_1, ^3P_2 + ^3F_2, \dots\right), \quad P=(-1)^{J+1}.$$

Для системы фермион-антифермион необходимо поменять местами четности состояний.

16-компонентную функцию $\Psi(\vec{r})$ удобно представить в виде матрицы 4×4

$$\Psi(\vec{r}) = \begin{pmatrix} \psi_{11}(\vec{r}), & \psi_{12}(\vec{r}) \\ \psi_{21}(\vec{r}), & \psi_{22}(\vec{r}) \end{pmatrix}, \quad (1.4)$$

где каждая из $\psi_{ij}(\vec{r})$ есть матрица 2×2 , собственные состояния

операторов $\vec{J}^2, M, \vec{L}^2, \vec{\sigma}^2, P$. При этом диагональные блоки Ψ_{11} и Ψ_{22} имеют одинаковые значения ℓ , а антидиагональные блоки Ψ_{12} и Ψ_{21} — $\ell \pm 1$. Четность Ψ_{11} совпадает с четностью $\Psi(\vec{r})$.

В работе [13] было показано, что спинорное пространство двух фермионов в уравнении Бете-Сольптера после отделения угловых переменных приводимо, ввиду наличия нормальных делителей. При этом, в случае $J \neq 0$ спинорное пространство восьмимерное, а в случае $J=0$ — четырехмерное. Такое же положение имеет место в уравнении (1.3), поэтому в случае $J \neq 0$ имеются восемь радиальных функций, а в случае $J=0$ — четыре [14].

§ 2. Спин-угловые функции

Спин-угловые функции $Y_{Jem}^{(s)}$ являются собственными функциями операторов $\vec{J}^2, J_z, \vec{L}^2$ и $\vec{\sigma}^2$. Они построены из произведения сферических $Y_{em}(\vec{n})$ и спиновых ${}^s\chi_\mu$ функций с помощью обычного метода векторного сложения

$$Y_{Jem}^{(s)}(\vec{n}) = \sum_{m,\mu} C_{emsm}^{JM} Y_{em}(\vec{n}) {}^s\chi_\mu. \quad (2.1)$$

В нашем случае функции ${}^s\chi_\mu$ удобно выбрать в виде матриц 2×2

$${}^1\chi_1 = \begin{pmatrix} 1 & 0 \\ 0 & 0 \end{pmatrix}, \quad {}^1\chi_0 = \frac{1}{\sqrt{2}} \begin{pmatrix} 0 & 1 \\ 1 & 0 \end{pmatrix}, \quad {}^1\chi_{-1} = \begin{pmatrix} 0 & 0 \\ 0 & 1 \end{pmatrix}, \quad {}^0\chi_0 = \frac{1}{\sqrt{2}} \begin{pmatrix} 0 & 1 \\ -1 & 0 \end{pmatrix}.$$

В явном виде [15]

$$Y_{JJ-JM}^{(1)}(\vec{n}) = \begin{cases} -\sqrt{\frac{(J+M)(J-M-1)}{2J(2J-1)}} Y_{J-1,M-1}, & \sqrt{\frac{(J+M)(J-M)}{2J(2J-1)}} Y_{J-1,M} \\ \sqrt{\frac{(J+M)(J-M)}{2J(2J-1)}} Y_{J-1,M}, & -\sqrt{\frac{(J+M)(J-M-1)}{2J(2J-1)}} Y_{J-1,M+1} \end{cases}$$

$$Y_{JJM}^{(s)}(\vec{n}) = \begin{pmatrix} \sqrt{\frac{(J-M+1)(J+M)}{2J(2J+1)}} Y_{J,M-1}, & \frac{M}{\sqrt{2J(2J+1)}} Y_{J,M} \\ \frac{M}{\sqrt{2J(2J+1)}} Y_{J,M}, & -\sqrt{\frac{(J+M+1)(J-M)}{2J(2J+1)}} Y_{J,M+1} \end{pmatrix},$$

$$Y_{JJ+1M}^{(s)}(\vec{n}) = \begin{pmatrix} \sqrt{\frac{(J-M+1)(J-M+2)}{2(J+1)(2J+3)}} Y_{J+1,M-1}, & \sqrt{\frac{(J+M+1)(J-M+1)}{2(J+1)(2J+3)}} Y_{J+1,M} \\ \sqrt{\frac{(J+M+1)(J-M+1)}{2(J+1)(2J+3)}} Y_{J+1,M}, & \sqrt{\frac{(J+M+1)(J+M+2)}{2(J+1)(2J+3)}} Y_{J+1,M+1} \end{pmatrix},$$

$$Y_{JJM}^{(o)}(\vec{n}) = \frac{1}{\sqrt{2}} \begin{pmatrix} 0, & Y_{J,M} \\ -Y_{J,M}, & 0 \end{pmatrix}.$$

В результате нашего выбора представления для спиновых функций, $Y_{Jem}^{(s)}$ матрицы не нормированы одинаково. Поэтому вместо них воспользуемся новыми спин-угловыми функциями

$$\phi_{JJ-1M}^{(s)}(\vec{n}) = \frac{1}{\sqrt{2J+1}} Y_{JJ-1M}^{(s)}(\vec{n}), \quad \phi_{JJM}^{(s)}(\vec{n}) = \frac{1}{\sqrt{J+1}} Y_{JJM}^{(s)}(\vec{n}), \quad (2.2)$$

$$\Phi_{JJ+IM}^{(o)}(\vec{n}) = \frac{1}{\sqrt{2J+1}} Y_{JJ+IM}^{(o)}(\vec{n}), \quad \Phi_{JIM}^{(o)}(\vec{n}) = \frac{1}{\sqrt{2J+1}} Y_{JIM}^{(o)}(\vec{n}).$$

После этого переопределения у всех $\Phi_{JEM}^{(i)}$ одинаковые нормы в следующем смысле:

$$N_J = \sum_{M=-J}^J |\Phi_{JEM}^{(i)}(\vec{n})|^2 |\Phi_{JEM}^{(i)}(\vec{n})|. \quad (2.3)$$

В уравнении (1.3) фигурируют прямые произведения матриц Дирака, относящиеся к разным частицам. Вместо этого мы используем двухстороннюю запись Куммера [16, 17], согласно которой матрицы второй частицы нужно поставить справа от волновой функции и заменить на транспонированные. Тогда можно опустить индекс частицы. Кроме того, в случае антифермиона нужно одновременно изменить знак перед матрицами α_i^T на противоположный. Имея в виду это замечание, перепишем уравнение (1.3) в виде

$$\begin{aligned} (E-M)\Psi_{11} + i\vec{\sigma}\cdot\vec{\nabla}\Psi_{21} - i\vec{\nabla}\Psi_{12}\vec{\sigma}^T &= \left\{V\Psi\right\}_{11}, \\ (E-m)\Psi_{12} + i\vec{\sigma}\cdot\vec{\nabla}\Psi_{22} - i\vec{\nabla}\Psi_{21}\vec{\sigma}^T &= \left\{V\Psi\right\}_{12}, \\ (E+m)\Psi_{21} + i\vec{\sigma}\cdot\vec{\nabla}\Psi_{11} - i\vec{\nabla}\Psi_{22}\vec{\sigma}^T &= \left\{V\Psi\right\}_{21}, \\ (E+M)\Psi_{22} + i\vec{\sigma}\cdot\vec{\nabla}\Psi_{12} - i\vec{\nabla}\Psi_{21}\vec{\sigma}^T &= \left\{V\Psi\right\}_{22}, \end{aligned} \quad (2.4)$$

где $M = m_1 + m_2$, $m = m_1 - m_2$. Волновые функции Ψ будут представлены в виде суммы произведений радиальных и спин-

угловых функций, поэтому нам понадобятся выражения

$$(\vec{\sigma} \cdot \vec{v}) R(r) \Phi(\vec{n}) = \frac{dR(r)}{dr} (\vec{\sigma} \cdot \vec{n}) \Phi(\vec{n}) + R(r) (\vec{\sigma} \cdot \vec{v}) \Phi(\vec{n}),$$

$$\vec{n} = \frac{\vec{r}}{r}.$$



Для этого воспользуемся рекуррентными соотношениями [15] :

$$\sin \theta e^{\pm i\varphi} Y_{em} = \pm a_{e, \pm m} Y_{e+1, m \mp 1} \mp a_{e-1, \mp m-1} Y_{e-1, m \pm 1}, \quad (2.6)$$

$$\cos \theta \cdot Y_{em} = b_{e, m} Y_{e+1, m} + b_{e-1, m} Y_{e-1, m},$$

$$r \left(\frac{\partial}{\partial x} \pm i \frac{\partial}{\partial y} \right) Y_{em} = \mp \ell a_{e, \pm m} Y_{e+1, m \mp 1} \mp (\ell+1) a_{e-1, \mp m-1} Y_{e-1, m \pm 1}, \quad (2.7)$$

$$r \frac{\partial}{\partial z} Y_{em} = -\ell b_{e, m} Y_{e+1, m} + (\ell+1) b_{e-1, m} Y_{e-1, m},$$

где

$$a_{e, m} = \sqrt{\frac{(e+m+1)(e+m+2)}{(2e+1)(2e+3)}}, \quad b_{e, m} = \sqrt{\frac{(e+m+1)(e-m+1)}{(2e+1)(2e+3)}}.$$

В результате несложной алгебры получаем:

$$(\vec{\sigma} \cdot \vec{n}) \Phi_{JJ-1M}^{(2)} = -\sqrt{\frac{J+1}{2J+1}} \Phi_{JJM}^{(4)} + \sqrt{\frac{J}{2J+1}} \Phi_{JJM}^{(0)},$$

$$(\vec{\sigma} \cdot \vec{n}) \Phi_{JJM}^{(2)} = \sqrt{\frac{J}{2J+1}} \Phi_{JJ+1M}^{(4)} - \sqrt{\frac{J+1}{2J+1}} \Phi_{JJ-1M}^{(4)} = \Phi_{JJM}^{(2)} (\vec{\sigma} \cdot \vec{n}),$$

$$(\vec{\sigma} \cdot \vec{n}) \Phi_{JJ+1M}^{(2)} = \sqrt{\frac{J}{2J+1}} \Phi_{JJM}^{(4)} + \sqrt{\frac{J+1}{2J+1}} \Phi_{JJM}^{(0)}, \quad (2.8)$$

$$(\vec{\sigma} \cdot \vec{n}) \Phi_{JJM}^{(0)} = \sqrt{\frac{J+1}{2J+1}} \Phi_{JJ+1M}^{(4)} + \sqrt{\frac{J}{2J+1}} \Phi_{JJ-1M}^{(4)} = -\Phi_{JJM}^{(0)} (\vec{\sigma} \cdot \vec{n}),$$

$$\Phi_{JJ-1M}^{(i)}(\vec{\sigma}^T \cdot \vec{n}) = -\sqrt{\frac{J+1}{2J+1}} \Phi_{JJM}^{(i)} - \sqrt{\frac{J}{2J+1}} \Phi_{JJM}^{(o)},$$

$$\Phi_{JJ+1M}^{(i)}(\vec{\sigma}^T \cdot \vec{n}) = \sqrt{\frac{J}{2J+1}} \Phi_{JJM}^{(i)} - \sqrt{\frac{J+1}{2J+1}} \Phi_{JJM}^{(o)}.$$

Кроме того

$$(\vec{\sigma} \cdot \vec{\nabla}) \Phi_{JJ-1M}^{(i)} = -\frac{J-1}{r} (\vec{\sigma} \cdot \vec{n}) \Phi_{JJ-1M}^{(i)},$$

$$(\vec{\sigma} \cdot \vec{\nabla}) \Phi_{JJ-1M}^{(i)} = -\frac{J}{r} \sqrt{\frac{J}{2J+1}} \Phi_{JJ+1M}^{(i)} - \frac{J+1}{r} \sqrt{\frac{J+1}{2J+1}} \Phi_{JJ-1M}^{(i)} = \vec{\nabla} \Phi_{JJM}^{(i)} \vec{\sigma}^T, \quad (2.9)$$

$$(\vec{\sigma} \cdot \vec{\nabla}) \Phi_{JJ+1M}^{(i)} = \frac{J+2}{r} (\vec{\sigma} \cdot \vec{n}) \Phi_{JJ+1M}^{(i)},$$

$$(\vec{\sigma} \cdot \vec{\nabla}) \Phi_{JJM}^{(o)} = -\frac{J}{r} \sqrt{\frac{J+1}{2J+1}} \Phi_{JJ-1M}^{(i)} + \frac{J+1}{r} \sqrt{\frac{J}{2J+1}} \Phi_{JJ-1M}^{(i)} = -\vec{\nabla} \Phi_{JJM}^{(o)} \vec{\sigma}^T,$$

$$\vec{\nabla} \Phi_{JJ-1M}^{(i)} \vec{\sigma}^T = -\frac{J-1}{r} \Phi_{JJ-1M}^{(i)} (\vec{\sigma}^T \cdot \vec{n}),$$

$$\vec{\nabla} \Phi_{JJ+1M}^{(i)} \vec{\sigma}^T = \frac{J+2}{r} \Phi_{JJ+1M}^{(i)} (\vec{\sigma}^T \cdot \vec{n}).$$

§ 3. Радиальные уравнения

Теперь мы имеем все необходимое для вывода радиальных уравнений – остается лишь разложить функции $\Psi_{ij}(r)$ по спин-угловым функциям. Как было отмечено в введении, следует различать два случая в зависимости от четности состояний.

a) $P=(-1)^{J+1}$. В этом случае имеем:

$$\Psi_{11}(r) = F_1(r) \Phi_{JJ-1M}^{(i)}(\vec{n}) + G_1(r) \Phi_{JJ+1M}^{(i)}(\vec{n}),$$

$$\Psi_{12}(r) = i \left[H_{12}(r) \Phi_{JJM}^{(i)}(\vec{n}) + Q_{12}(r) \Phi_{JJM}^{(o)}(\vec{n}) \right].$$

$$\Psi_{21}(\vec{r}) = i \left[H_{21}(r) \Phi_{JJM}^{(2)}(\vec{n}) + Q_{21}(r) \Phi_{JJM}^{(o)}(\vec{n}) \right],$$

$$\Psi_{22}(\vec{r}) = F_2(r) \Phi_{JJ+1M}^{(4)}(\vec{n}) + G_2(r) \Phi_{JJ+1M}^{(o)}(\vec{n}). \quad (3.1)$$

Подставляя это в уравнения (2.4) и используя соотношения (2.5), (2.8) и (2.9), получаем

$$\begin{aligned}
 EF_+ - MF_- - 2\sqrt{\frac{J}{2J+1}} \left(\frac{d}{dr} + \frac{J+1}{r} \right) Q_+ &= \left\{ V\Psi \right\}_{11+22}^{(1)J-1}, \\
 EF_- - MF_+ - 2\sqrt{\frac{J+1}{2J+1}} \left(\frac{d}{dr} + \frac{J+1}{r} \right) H_- &= \left\{ V\Psi \right\}_{11-22}^{(1)J-1}, \\
 EG_+ - MG_- - 2\sqrt{\frac{J+1}{2J+1}} \left(\frac{d}{dr} - \frac{J}{r} \right) Q_+ &= \left\{ V\Psi \right\}_{11+22}^{(1)J+1}, \\
 EG_- - MG_+ + 2\sqrt{\frac{J}{2J+1}} \left(\frac{d}{dr} - \frac{J}{r} \right) H_- &= \left\{ V\Psi \right\}_{11-22}^{(1)J-1}, \quad (3.2) \\
 EH_+ - mH_- &= \left\{ V\Psi \right\}_{12+21}^{(1)J}, \\
 EH_- - mH_+ + 2\sqrt{\frac{J+1}{2J+1}} \left(\frac{d}{dr} - \frac{J-1}{r} \right) F_- - 2\sqrt{\frac{J}{2J+1}} \left(\frac{d}{dr} + \frac{J+2}{r} \right) G_- &= \left\{ V\Psi \right\}_{12-21}^{(1)J}, \\
 EQ_- - mQ_+ &= \left\{ V\Psi \right\}_{12-21}^{(o)J}, \\
 EQ_+ - mQ_- + 2\sqrt{\frac{J}{2J+1}} \left(\frac{d}{dr} - \frac{J-1}{r} \right) F_+ + 2\sqrt{\frac{J+1}{2J+1}} \left(\frac{d}{dr} + \frac{J+2}{r} \right) G_+ &= \left\{ V\Psi \right\}_{12+21}^{(o)J}.
 \end{aligned}$$

$$F_{\pm} = F_1 \pm F_2, \quad G_{\pm} = G_1 \pm G_2, \quad H_{\pm} = H_{12} \pm H_{21}, \quad Q_{\pm} = Q_{12} \pm Q_{21},$$

а в правой стороне уравнений указаны проекции на соответствующие спин-орбитальные состояния.

Функции F_{\pm} , G_{\pm} и H_{\pm} отвечают спину $S=1$, в то время как Q_{\pm} – спину $S=0$. При $J=0$ в разложении (3.1) остаются лишь 4 функции G_{12} и $Q_{12,21}$. В этом случае система заметно упрощается и сводится к четырем уравнениям для функций $G_{\pm}({}^3P_o)$ и $Q_{\pm}({}^1S_o)$.

б) $P = (-1)^J$. Имеем:

$$\begin{aligned}\Psi_{11}(\vec{r}) &= h_1(r) \Phi_{JJM}^{(1)}(\vec{n}) + g_1(r) \Phi_{JJM}^{(0)}(\vec{n}), \\ \Psi_{12}(\vec{r}) &= i \left[f_{12}(r) \Phi_{JJ-1M}^{(1)}(\vec{n}) + g_{12}(r) \Phi_{JJ+1M}^{(1)}(\vec{n}) \right], \\ \Psi_{21}(\vec{r}) &= i \left[f_{21}(r) \Phi_{JJ-1M}^{(1)}(\vec{n}) + g_{21}(r) \Phi_{JJ+1M}^{(1)}(\vec{n}) \right], \\ \Psi_{22}(\vec{r}) &= h_2(r) \Phi_{JJM}^{(1)}(\vec{n}) + g_2(r) \Phi_{JJM}^{(0)}(\vec{n}).\end{aligned}\tag{3.4}$$

После подстановки в (2.4) с учетом, как и выше, (2.5), (2.8) и (2.9), получаем

$$Eh_+ - Mh_- = \left\{ V\Psi \right\}_{11+22}^{(1)J},$$

$$Eh_- - Mh_+ - 2\sqrt{\frac{J+1}{2J+1}} \left(\frac{d}{dr} - \frac{J-1}{r} \right) f_- + 2\sqrt{\frac{J}{2J+1}} \left(\frac{d}{dr} + \frac{J+2}{r} \right) g_- = \left\{ V\Psi \right\}_{11-22}^{(2)J},$$

$$Eq_+ - Mg_- - 2\sqrt{\frac{J}{2J+1}} \left(\frac{d}{dr} - \frac{J-1}{r} \right) f_+ - 2\sqrt{\frac{J+1}{2J+1}} \left(\frac{d}{dr} + \frac{J+2}{r} \right) g_+ = \left\{ V\Psi \right\}_{11+22}^{(0)J},$$

$$Eg_+ - Mg_+ = \left\{ V\Psi \right\}_{11-22}^{(0)J},$$

$$Ef_+ - mf_+ + 2\sqrt{\frac{J}{2J+1}} \left(\frac{d}{dr} + \frac{J+1}{r} \right) g_+ = \left\{ V\Psi \right\}_{12+21}^{(1)J-1}, \quad (3.5)$$

$$Ef_- - mf_+ + 2\sqrt{\frac{J+1}{2J+1}} \left(\frac{d}{dr} + \frac{J+1}{r} \right) h_- = \left\{ V\Psi \right\}_{12-21}^{(1)J-1},$$

$$Eg_+ - mg_+ + 2\sqrt{\frac{J+1}{2J+1}} \left(\frac{d}{dr} - \frac{J}{r} \right) g_+ = \left\{ V\Psi \right\}_{12+21}^{(2)J+1},$$

$$Eg_- - mg_+ - 2\sqrt{\frac{J}{2J+1}} \left(\frac{d}{dr} - \frac{J}{r} \right) h_- = \left\{ V\Psi \right\}_{12-21}^{(2)J+1}.$$

Здесь

$$f_{\pm} = f_{12} \pm f_{21}, \quad g_{\pm} = g_{12} \pm g_{21}, \quad h_{\pm} = h_1 \pm h_2, \quad g_{\pm} = g_1 \pm g_2. \quad (3.6)$$

Если в левых частях системы (3.5) произвести замену $M \leftrightarrow m$, $r \rightarrow -r$, то получатся левые части системы (3.2). Функции f_{\pm} , g_{\pm} , h_{\pm} отвечают спину $S=1$, а g_{\pm} — спину $S=0$. При $J=0$ остаются $g_{\pm} (^3P_0)$ и $g_{\pm} (^1S_0)$.

§ 4. Матричная структура квазипотенциала

Правые части полученных выше радиальных уравнений содержат квазипотенциал, поэтому необходимо уточнение его структуры. В

данной работе будем считать, что квазипотенциал не зависит от производных. По соображениям ковариантности квазипотенциал в общем случае будет содержать все связи

$$V(\vec{r}) = V_S(r) \cdot \hat{S} + V_V(r) \hat{V} + V_T \cdot \hat{T} + V_A \cdot \hat{A} + V_P \cdot \hat{P}, \quad (4.1)$$

где

$$\begin{aligned} \hat{S} &= \beta^{(1)} \times \beta^{(2)}, & \hat{V} &= I^{(1)} \times I^{(2)} - \vec{\alpha}^{(1)} \times \vec{\alpha}^{(2)}, \\ \hat{T} &= (\beta \vec{\sigma})^{(1)} \times (\beta \vec{\sigma})^{(2)} + (\beta \vec{\omega})^{(1)} \times (\beta \vec{\omega})^{(2)}, & (4.2) \\ \hat{A} &= \vec{\sigma}^{(1)} \times \vec{\sigma}^{(2)} + \gamma_5^{(1)} \times \gamma_5^{(2)}, & \hat{P} &= (\beta \gamma_5)^{(1)} \times (\beta \gamma_5)^{(2)}. \end{aligned}$$

Из перечисленных выше связей только векторная и тензорная меняют знак при зарядовом сопряжении одной из частицы.

Применяя двухстороннюю запись Куммера [16, 17], в правой части квазипотенциального уравнения для отдельных связей имеем

$$\begin{aligned} \hat{S} \Psi &= \begin{pmatrix} \Psi_{11}, -\Psi_{12} \\ -\Psi_{21}, \Psi_{22} \end{pmatrix}, & \hat{P} \Psi &= \begin{pmatrix} -\Psi_{22}, \Psi_{21} \\ \Psi_{12}, -\Psi_{11} \end{pmatrix}, \\ \hat{V} \Psi &= \begin{pmatrix} \Psi_{11} - \vec{\sigma} \Psi_{22} \vec{\sigma}^T, & \Psi_{12} - \vec{\sigma} \Psi_{21} \vec{\sigma}^T \\ \Psi_{21} - \vec{\sigma} \Psi_{12} \vec{\sigma}^T, & \Psi_{22} - \vec{\sigma} \Psi_{11} \vec{\sigma}^T \end{pmatrix}, & (4.3) \end{aligned}$$

$$\hat{T}\Psi = \begin{pmatrix} \vec{\sigma}(\Psi_{11} - \Psi_{22})\vec{\sigma}^T, & \vec{\sigma}(\Psi_{21} - \Psi_{12})\vec{\sigma}^T \\ \vec{\sigma}(\Psi_{12} - \Psi_{21})\vec{\sigma}^T, & \vec{\sigma}(\Psi_{22} - \Psi_{11})\vec{\sigma}^T \end{pmatrix},$$

$$\hat{A}\Psi = \begin{pmatrix} \vec{\sigma}\Psi_{11}\vec{\sigma}^T - \Psi_{22}, & \vec{\sigma}\Psi_{12}\vec{\sigma}^T - \Psi_{21} \\ \vec{\sigma}\Psi_{21}\vec{\sigma}^T - \Psi_{12}, & \vec{\sigma}\Psi_{22}\vec{\sigma}^T - \Psi_{11} \end{pmatrix}.$$

При вычислении отдельных элементов этих матриц в радиальном уравнении уместно использовать соотношение

$$\vec{\sigma} \Phi_{JLM}^{(s)}(\vec{n}) \vec{\sigma}^T = [2S(S+1) - 3] \Phi_{JLM}^{(s)}(\vec{n}). \quad (4.4)$$

Полученные радиальные уравнения могут быть применены для разных модельных квазипотенциалов во многих физических задачах в системе двух спинорных частиц.

Поступила 30. XII. 1977

Проблемная
лаборатория ядерной физики
высоких энергий

ЛИТЕРАТУРА

1. T.Appelquist et al., Phys. Rev. Letters, 34, 365 (1975);
E.Eichen et al., Phys. Rev. Letters, 34, 369 (1975).
2. J.D.Jackson, CERN preprint TH 2351 (1977).
3. A.Martin, CERN preprint TH 2370 (1977).
4. H.J.Schnitzer, Phys. Rev., D13, 74 (1976).

5. A.B.Henriques et al., Phys. Letters, 64B, 85 (1976).
6. L.H.Chan, FERMILAB-Pub-77/73-THY (1977).
7. E.E.Salpeter, H.A.Bethe, Phys. Rev., 84, 1239 (1951).
8. A.A.Logunov, A.N.Tavkhelidze, Nuovo Cim., 29, 380 (1963).
9. A.A.Хелашвили, Сообщения ОИЯИ, Р2-4327 (1969).
10. E.E.Salpeter, Phys. Rev., 87, 328 (1952).
- II. С.В.Голосковов и др., Ядерная физика, 24, 448 (1976);
 ЭЧАЯ, 8, вып. 5, 969 (1977).
12. M.LDzhgarkava et al., preprint JINR, E2-10 971 (1977).
13. M.Gunter, Journ. Math. Phys., 5, 188 (1964).
14. W.Krolikovski, J.Rzewuski, Acta Phys. Pol., B7, 487 (1976).
15. З.Флорте, Задачи по квантовой механике, т.2, "Мир", 1974.
16. W.Kummer, Nuovo Cim., 31, 219 (1964).
17. G.Feldman, T.Fulton, J.Townsend, Phys. Rev., A8, 1149 (1973).

მ.მარგველაშვილი, ა. ხელაშვილი

რეზიუმე კვაზიპოტენციალური ბაზობის თეო
 სპეციალური დანართების შესახვა

რ ე გ ი უ მ ე

მიღებულის განვითარებათა სისტემა რეზიუმე კვაზიპოტენცია-
 ლური ფაროური ფუნქციისათვის ორი სპინორული ნაწილაკის ბმული
 მრგომარეობის აღსაჩერა.

M.Margvelashvili, A.Khelashvili

RADIAL QUASIPOTENTIAL EQUATION FOR TWO
 SPINOR PARTICLES

Summary

The system of equations for the quasipotential radial wave function for the description of the bound state of two spinor particles is derived.

Труды Тбилисского ордена Трудового Красного Знамени
государственного университета

თბილისის შოთა რუსთაველის სახელმწიფო უნივერსიტეტი

უნივერსიტეტის ბრძანები

196, 1978

ИССЛЕДОВАНИЕ КЛАСТЕРНОЙ СТРУКТУРЫ ЯДРА ^{12}C В БАЗИСЕ
ТРАНСЛЯЦИОННО-ИНВАРИАНТНОЙ ОСЦИЛЛЯТОРНОЙ МОДЕЛИ ОБОЛОЧЕК

Т.С.Мачарадзе, Т.Я.Михелашвили

В последнее время появилось много работ [I-16], где исследуется трех- α -частичная кластерная модель ядра ^{12}C . В этой модели ядро ^{12}C рассматривается как система, состоящая из трех элементарных α -частиц. Преимущество такого рассмотрения заключается в том, что, во-первых, спин и изоспин α частиц равны нулю, и, во-вторых, число степеней свободы ядра уменьшается в четыре раза. Такой подход позволяет задачу 12 нуклонов свести к задаче трех частиц и при исследовании физических характеристик ядра ^{12}C применить существующие в настоящее время приближенные методы решения проблемы трех тел. Исследования ядра ^{12}C в α -частичной модели проводились разными методами: 1) прямым методом решения уравнений Фаддеева [I-7]; 2) методом К-гармоник [II]; 3) методом, основанным на разложении по состояниям трансляционно-инвариантной осцилляторной модели оболочек [8-10, 16]; 4) традиционными вариационными методами [12-15]. Результаты работ [I, 4, 13] показывают, что в случае одних простейших двух- α -частичных, не-

локальных сепарабельных потенциалов, действующих только в состоянии, получаются разумные значения энергии связи ядра ^{12}C , тогда как для других такого же вида потенциалов при использовании того же метода получаются большие пересвязки [5]. В случае более реалистических потенциалов, учитывающих короткодействующее отталкивание на малых расстояниях, взаимодействие в высших парциальных состояниях и т.п., вычисленные энергии связи оказываются сильно заниженными [2,6-11]. По-видимому, одной из причин такого расхождения в теоретических результатах является то, что использованные в работах [1-13] потенциалы плохо описывают фазы $\alpha - \alpha$ рассеяния при очень низких энергиях, а это может оказаться существенным, особенно в случае нелокальных потенциалов.

Естественно, возникает задача исследования ядра ^{12}C нелокальным потенциалом, хорошо описывающим фазы $\alpha - \alpha$ рассеяния как при низких, так и при высоких энергиях. Для проведения такого исследования самым удобным является третий из вышеперечисленных методов, так как не возникают трудности, связанные с подключением взаимодействия в высших орбитальных состояниях. Такие исследования проводились в работах [8,9]. Однако авторам не удалось получить стабильных результатов одновременно для энергии связи и зарядового форм-фактора относительно параметров расчета. Единственной причиной нестабильности результатов является ограничение в базисе разложения низкими конфигурациями.

В настоящей работе проводятся аналогичные исследования на основе метода, предложенного в работе [16], с учетом более высоких конфигураций в базисе разложения.

В качестве $\alpha - \alpha$ взаимодействия выбираются локальный по-

тенциал [17] ($\alpha - \alpha'$ рассеяние описывается до $E_{\text{л.с.}} \approx 30$ Мэв для парциальных волн $\ell = 0, 2$ и 4) и нелокальный сепарабельный потенциал [18] ($\alpha - \alpha'$ рассеяние описывается до $E_{\text{л.с.}} \approx 120$ Мэв для парциальных волн $\ell = 0, 2, 4, 6$ и 8). В базисе учитываются все члены, соответствующие кванту возбуждения $N = 24$ включительно. В общей сложности в разложении волновой функции входит 102 члена.

Построение орбитальной волновой функции

Как известно, метод осцилляторного базиса основан на разложении волновой функции исследуемого ядра по полному набору собственных функций трансляционно-инвариантного осцилляторного гамильтониана. Инвариантность базисного гамильтониана относительно группы SU_6 позволяет классифицировать его собственные функции по цепочке подгрупп данной группы. Выбор цепочки подгруппы группы SU_6 не является однозначным. Единственное требование, налагаемое на цепочку, состоит в том, что она обязательно должна содержать "физические" группы: группу перестановок S_3 и группу вращения R_3 . В качестве "физической" подгруппы выберем $SU_3 \times SU_2$, где SU_3 будет характеризовать свойства симметрии базисных функций относительно пространственных вращений, а SU_2 — перестановочные свойства этих функций по отношению к группе S_3 . Таким образом переходим к следующей цепочке подгрупп:

$$\begin{aligned} &SU_3 \supset R_3 \supset R_2 \\ &SU_6 \supset \times \\ &SU_2 \supset S_3 \supset S_2 \end{aligned} \tag{I}$$

которая будет давать пять квантовых чисел N, f, σ, l, M , связанных с подгруппами этой цепочки, где N — число

квантов возбуждения, $[f]$ - схема Юнга, $\tilde{\sigma}$ - символ Яманучи, L - полный орбитальный момент, а M - его проекция на ось Z . Состояния, описываемые этой цепочкой подгруппы, будут вырождены, так как число внутренних степеней свободы системы из трех частиц равно шести и для полной классификации волновых функций нужно ввести шесть квантовых чисел, характеризующих состояние. Кратность вырождения учитывается дополнительным квантовым числом α .

Таким образом, орбитальную волновую функцию, преобразующуюся по неприводимым представлениям цепочки подгрупп (I), можно записать в виде [16]

$$|N\alpha[f]\tilde{\sigma}L M\rangle = \sum_{n_1\ell_1n_2\ell_2} \langle N\alpha[f]\tilde{\sigma}L |n_1\ell_1n_2\ell_2\rangle [n_1\ell_1m_1\rangle |n_2\ell_2m_2\rangle]_M^L \quad (2)$$

где $\langle N\alpha[f]\tilde{\sigma}L |n_1\ell_1n_2\ell_2\rangle$ - симметризирующие коэффициенты. Эти коэффициенты можно найти из рекуррентных соотношений, найденных в работе [18]. Сумма по квантовым числам n_1, n_2, ℓ_1, ℓ_2 ограничена условием $N = 2(n_1 + n_2) + \ell_1 + \ell_2$. Квадратные скобки обозначают векторное сложение одночастичных осцилляторных состояний.

Следует указать, что построенный базис в общем случае не является ортогональным по квантовому числу α , что должно быть учтено при вычислении симметризирующих коэффициентов для нужного набора линейно независимых функций.

Метод расчета

Волновая функция ядра ^{12}C как системы трех бозонов должна

быть полностью симметричной относительно перестановок α - частич. Основное состояние ядра ^{12}C характеризуется полным угловым моментом $L = 0$, полным спином $S = 0$ и изоспином $T = 0$, поэтому в базисе (2) останутся члены с $[f] = [3]$. Таким образом, волновая функция основного состояния ядра ^{12}C запишется в следующем виде:

$$\Psi = \sum_{N\alpha} C_{N\alpha[3]} / N\alpha[3] 00 > = \sum_i C_i / i >. \quad (3)$$

Коэффициенты C_i находятся путем диагонализации построенной в базисе (2) энергетической матрицы

$$\langle i/H/\kappa \rangle = \langle i/T/\kappa \rangle + \langle i/V/\kappa \rangle, \quad (4)$$

где T и V - соответственно операторы кинетической и потенциальной энергий.

Потенциальная энергия представляется как сумма двух α -частичных потенциалов $V = \sum_{i,j}^3 (V_{ij}^N + V_{ij}^c)$, где V_{ij}^N и V_{ij}^c - ядерные и кулоновские потенциалы соответственно.

Потенциал V_{ij}^c берется в виде $V_{ij}^c = \frac{4e^2}{r_{ij}}$, где r_{ij} - расстояние между частицами i и j . Учитывая полную симметрию функции $|i\rangle$, для матричного элемента $\langle i/V/\kappa \rangle$ получается следующее выражение:

$$\begin{aligned} \langle i/V/\kappa \rangle &= 3 \sum_{n_1 \ell n_2 n'_1} \langle N\alpha[3] 0 / n_1 \ell n_2 \ell \rangle \times \\ &\times \langle n_1 \ell / V_{12}^N + \frac{4e^2}{r_{12}} / n'_1 \ell \rangle, \end{aligned} \quad (5)$$

$$\text{где } \langle n_i l / V_{ij}^N + \frac{4e^2}{\tilde{r}_{ij}} / n_j l' \rangle$$

- обычные двухчастичные
матричные элементы в орбитальном пространстве, $\langle ne \rangle = R_{ne}(\frac{e}{\tilde{r}_o})$

в координатном представлении и $\langle ne \rangle = R_{nl}(\kappa \tilde{r}_o)$ в импульсном представлении, $\tilde{r}_o^2 = \frac{2 \hbar^2}{M \cdot \hbar \omega}$, M - масса α -частицы.

Использованный нами локальный ядерный потенциал [I6] имеет мягкую отталкивающую сердцевину:

$$V''(r_{ij}) = V_e^\ell \exp\left[(-\mu_e^\ell)^2 r_{ij}^2\right] - V_a \exp(-\mu_a^\ell r_{ij}^2). \quad (6)$$

Потенциал имеет фиксированную притягательную часть (V_a , μ_a) и различные отталкивающие части (V_e , μ_e) для разных значений орбитального момента $\ell = 0, 2 \text{ и } 4$.

В конкретных расчетах мы пользовались набором параметров (e) и (α) из работы [I7] (таблица I).

Нелокальный сепарабельный потенциал [I8] в импульсном представлении имеет вид

$$V^N(\vec{k}, \vec{k}') = -\frac{2 \hbar^2}{\pi M} \sum_{\ell m} \beta_\ell g_\ell(\kappa) g_\ell(\kappa') Y_{\ell m}(\hat{\vec{k}}) Y_{\ell m}(\hat{\vec{k}}'), \quad (7)$$

где преобразованный в кулоновском пространстве ядерный форм-фактор потенциала $g_\ell(\kappa)$ представляется в параметризованном виде

$$g_\ell(\kappa) = G_\ell(\kappa) \cdot \kappa^\ell \exp(-a_\ell \cdot \kappa^2) (1 + b_\ell \kappa^2 + c_\ell \kappa^4).$$

Параметры a_ℓ , b_ℓ и c_ℓ определяются из фазового анализа α - α взаимодействия для парциальных волн $\ell = 0, 2, 4, 6$ и 8 [I8]. Влияние кулоновского взаимодействия на ядерную амплитуду,

которое является существенным при очень низких энергиях, обеспечивается множителем $G_\ell(\kappa)$

БИБЛIOГРАФИЧЕСКАЯ
СПИСОК

$$G_\ell(\kappa) = \frac{\alpha_\ell/\kappa}{\exp(\alpha_\ell/\kappa)-1},$$

где $\alpha_0 = 0,75$; $\alpha_2 = 0,4$ и $\alpha_\ell \rightarrow 0$ для $\ell = 4, 6$ и 8 .

Для нахождения кинетической части энергетической матрицы, оператор T представляется в более удобном для вычислений виде:

$$T = H_0 - \frac{m\omega^2}{2} \sum_{i=1}^3 \tilde{v}_i^2 = H_0 - \frac{m\omega^2}{2} \frac{1}{3} \sum_{i < j} \tilde{v}_{ij}^2,$$

где H_0 – оператор полной энергии системы трех осцилляторов, а вторая часть – потенциальная энергия этих осцилляторов.

Используя полную симметрию функции $|i\rangle$ и учитывая, что они являются собственными функциями оператора H_0 , для матричного элемента оператора T будем иметь

$$\begin{aligned} \langle i | T | \kappa \rangle &= \sum_{n_1 n_2' n_2 \ell} \langle N \alpha [3] 0 | n_1 \ell n_2 \ell \rangle \langle N' \alpha' [3] 0 | n_1' \ell n_2 \ell \rangle \times \\ &\times \left\{ \hbar \omega (N' + 3) - \frac{M}{\hbar^2} \cdot \hbar \omega \langle n_1 \ell / \tilde{v}_{12}^2 / n_1' \ell \rangle \right\}. \end{aligned}$$

Для нахождения энергии связи основного и первого возбужденного 0^+ состояний ядра ^{12}C была диагонализована энергетическая матрица (4). В базисе учитывались все члены до кванта возбуждения $N = 24$ включительно. Найденные волновые функции применялись для вычисления среднеквадратичного радиуса и зарядового форм-фактора. Зарядовый форм-фактор ядра ^{12}C представлялся в виде про-

изведения ядерного форм-фактора трехчастичной системы $F(q)$
на экспериментальный форм-фактор α частицы /19/

$$f_{ch}(q) = F(q) \cdot f_\alpha(q),$$

где q — переданный ядру импульс. Аналитическое выражение для $F(q)$ имеет вид [18] :

$$F(q) = \sum_{n_1 \ell_1 n_2 \ell_2 n'_2} \langle N\alpha[3]0/n_1 \ell_1 n_2 \ell_2 \rangle \langle N'\alpha'[3]0/n_1 \ell_1 n'_2 \ell_2 \rangle \times \\ \times \int_0^\infty R_{n_2 \ell_2} \left(\frac{z}{z'_0} \right) \frac{\sin(qz)}{qz} R_{n'_2 \ell_2} \left(\frac{z}{z'_0} \right) z^2 dz,$$

где $z'_0 = \sqrt{\frac{2 \hbar^2}{3 M \cdot \hbar \omega}}$

Результаты и их обсуждение

Для исследования оходимости базиса и оценки точности полученных результатов была изучена зависимость энергии основного и первого возбужденного 0^+ состояния, среднеквадратичного радиуса и зарядового форм-фактора от осцилляторного параметра $\hbar\omega$ и кванта возбуждения N .

На рисунках I-3 представлена зависимость энергии основного и первого возбужденного 0^+ состояний ядра ^{12}C от числа квантов возбуждения N при двух фиксированных значениях $\hbar\omega$. Для других разумных значений параметра $\hbar\omega$ получены аналогичные результаты. Нижние кривые соответствуют случаю, когда $\alpha - \alpha'$ взаимодействие состоит только из ядерной части, верхние кривые включают и кулоновское взаимодействие. Как на этих, так и на последующих рисунках кривые, соответствующие набору параметров (d) потенциала (6), не приводятся. Они практически такие же,

как для набора параметров (6). Как видно из рисунков I и 2, начиная с $N = 16$, энергия связи меняется мало и кривые выходят почти на одно плато, но в случае потенциала (7) сходимость энергии связи достигается быстрее.

На рисунках 4–6 представлена зависимость энергий основного и первого возбужденного состояний от параметра $\hbar\omega$ для фиксированных значений максимального кванта возбуждения N . Нижние кривые опять соответствуют расчетам без учета кулоновского взаимодействия. Из этих рисунков видно, что с ростом N зависимость энергии связи от параметра $\hbar\omega$ ослабевает и практически исчезает при $N = 22$. Однако для первого возбужденного 0^+ состояния (рис. 3, 6) ситуация хуже. По-видимому, это вызвано тем, что первый возбужденный 0^+ уровень находится в непрерывном спектре.

На рисунках 7 и 8 представлена зависимость зарядового форм-фактора ядра ^{12}C от квадрата переданного ядру импульса q^2 для $N_{\max} = 24$. Из этих рисунков видно, что для потенциала (6) теоретические кривые зарядового форм-фактора для разных значений параметра $\hbar\omega$ почти не отличаются друг от друга и одинаково хорошо описывают первый дифракционный минимум, наблюдаемый на эксперименте. При больших значениях q^2 наблюдаются еще два минимума, один при $q^2 \approx 10 \text{ ферми}^{-2}$, а второй при $q^2 \approx 13 \text{ ферми}^{-2}$. Появление первого из них обусловлено зарядовым форм-фактором α частицы. Эти минимумы приведены на рисунке 9. В случае потенциала (7) наблюдается аналогичная картина, хотя согласие с экспериментом при малых q^2 здесь лучше, однако первый дифракционный минимум сдвинут в сторону больших q^2 .

На рисунках 10 и 11 представлена зависимость среднеквадра-

тичного радиуса ядра ^{12}C от параметра $\hbar\omega$ при фиксированных значениях N . Из этих рисунков видно, что с ростом N участок кривых с $\hbar\omega \geq 5$ Мэв начинает выпрямляться и начиная с $N \geq 18$ становится почти параллельным экспериментальной кривой. Для малых $\hbar\omega$ даже при больших значениях N не наблюдается выпрямление кривых, что вызвано сингулярностью точки $\hbar\omega = 0$.

Таким образом, из приведенных рисунков можно заключить, что найденная волновая функция (3) является хорошей аппроксимацией истинной α -кластерной волновой функции основного состояния ядра ^{12}C . Особенno следует отметить тот факт, что и локальный и нелокальный потенциалы дают схожие и одинаково стабильные конечные результаты как для энергии связи и среднеквадратичного радиуса, так и для зарядового форм-фактора.

Соответствующие им численные результаты приведены в таблице 2.

Имеющееся расхождение между теорией и экспериментом в количественном отношении, по-видимому, следует искать в α -кластерной модели ядра ^{12}C , так как обнаруженное различие нельзя объяснить приближенным характером осцилляторного метода. Подтверждением этого могут служить аналогичные расчеты для потенциала [17], проведенные методом K -гармоник, которые привели к энергии связи - 2.2 Мэв (с учетом кулоновского отталкивания) и - 7.4 Мэв (без учета кулоновского отталкивания).

В заключение выражаем благодарность Р.И.Джибути и Т.И.Копалешвили за внимание к работе и полезные замечания, а также Дж.В.Мебония и О.Л.Бартая за постоянные дискуссии и обсуждения.

Поступила 30. XII. 1977

Институт физики АН ГССР

Таблица I

Набор параметров (d)

ℓ	0	2	4
$M_a(\phi^{-1})$	0.475	0.475	0.475
$V_a(M_{ab})$	130	130	130
$M_v(\phi^{-1})$	0.7	0.7	0
$V_v(M_{ab})$	500	320	0

Набор параметров (ℓ)

ℓ	0	2	4
$M_a(\phi^{-1})$	0.5	0.5	0.5
$V_a(M_{ab})$	150	150	150
$M_v(\phi^{-1})$	0.8	0.8	0
$V_v(M_{ab})$	1050	640	0

Таблица 2



Теоретические и экспериментальные значения энергии основного состояния (E), первого возбужденного 0^+ состояния (E_I) и среднеквадратичного радиуса (R)

Потенциалы из работ		Эксперимент
	$[17]$	$E = -7,39$ мэв
Без учета кулоновского взаимодействия	$[18]$	$E_I = 1,89$ мэв $E = -8,91$ мэв $E_I = -1,84$ мэв
	$[17]$	$E = -2,16$ мэв
С учетом кулоновского взаимодействия	$[18]$	$E_I = 2,57$ мэв $R = 2,28$ ферми $E = -1,34$ мэв $E_I = 3,88$ мэв $R = 1,74$ ферми

ЛИТЕРАТУРА



- I. D.R.Harrington, Phys. Rev., 147, 685, 1966.
2. H.Hebach, P.Henneberg, Z.Phys., 216, 204, 1968.
3. T.R.Fulco, D.Y.Wong, Phys.Rev., 172, 1062, 1968.
4. A.Osman, Phys. Rev., vol. 4, N 2, 302, 1971.
5. D.R.Avalos, L.N.Epele and M.A.Gregorio, Lett. al Cimento, vol. 8, N 2, 6, 1973.
6. Б.Туския, Г.Чилашвили, Я.Ф., 6, II58, 1971.
7. Y.Kawazoc, T.Tsuhamoto, H.Matsuzahi, Progr. Theor. Phys., 51, 428, 1974.
8. Т.С.Мачарадзе, Т.Я.Михелашвили, Программа и тезисы докладов XXIV совещания по ядерной спектроскопии и структуре атомного ядра, Л., 1972.
9. R.M.Mendez-Moreno, M.Moreno and Seligman, Nucl. Phys., A221, 381, 1974.
10. H.Horiuchi, Progr. Theor. Phys., 51, 1266, 1974.
- II. T.L.Visschers, R.Van-Wageningen, Phys. Lett., 34B, 455, 1971.
- I2. RDariulat, Phys. Rev., 137, B315, 1965.
- I3. C.C.H.Leung, S.C.Park, Phys.Rev. 187, 1239, 1969.
- I4. T.V.Noble, Phys. Lett., 31B, 253, 1970.
- I5. T.K.Lim, Nucl. Phys., A158, 385, 1970.
- I6. Т.С.Мачарадзе, Т.Я.Михелашвили, Многочастичные аспекты теории легких ядер. "Мецниереба", Тбилиси, 72, 1977.
- I7. S.Ali, A.R.Bodmer, Nucl.Phys., 80, 99, 1966.
- I8. Дж.В.Мебония, И.Г.Сурмава, Я.Ф., 3, 487, 1976.
- I9. Sick and T.S.McCarthy, Nucl. Phys., A150, 631, 1970.

¹²C გირდის კლასიური სფროულობის გამოვლენის ფასის
 ციფრული დოკუმენტი სამიზანო მოდელის დასაცავის
 გამოყენების შესახებ

მარტინ გარებაშვილი

რ ე ბ ი ა მ ე

ცრამსღაციურა-ინვარიანტური სსცილაციონური ბაზისის მეთოდით
 გამოთვევილია ¹²C ბირთვის ძირითადი ჩა პირველი აღმნიშვნელი
¹⁰O მდგომარეობის ენერგეტიკი, სამუალო კვადრაციული რადიუსი
 და მუხტორი ფორმ-ფაქტორი δ -ნაწილაკოვან მოდელში. გამოთვევა-
 ბში გამოყენებულია ლოკალური [17] და არალოკალური სეპარა-
 ბელური [18] პოლინომები. წარვერტების, რომ თუ ფარლური ფუნ-
 ქციის გამოსამი შენარჩუნებული იქნება დარღვეული აღმნიშვნელის კვანტი
 $N = 24$ -მდე, მაშინ როვორც ლოკალური, ისე არალოკალური სეპარა-
 ბელური პოლინომები იძლევიან მსგავს და ერთმანეთა სფაბილურ
 საბოლოო შეჩამებებს სსცილაციონური $\hbar\omega$ პარამეტრის მიმართ.

T.Macharadze, T.Mikhelashvili

INVESTIGATION OF NUCLEIC CLUSTER STRUCTURE
 OF ¹²C IN THE BASE OF TRANSLATIONAL-INVARIANT
 MODEL SHELL

Summary

By the translational-invariant oscillation base method the energy of the basic and first excitation O^+ state, the square mean radius and nucleic form-factor charge of ¹²C has been calculated. Local and non-local separable potentials were used in the calculations. It is shown that if account is taken of all the exciton quanta up to $N=24$ in the base of expansion, local and non-local potentials give similar and stable final results relative to the oscillator parameter $\hbar\omega$.

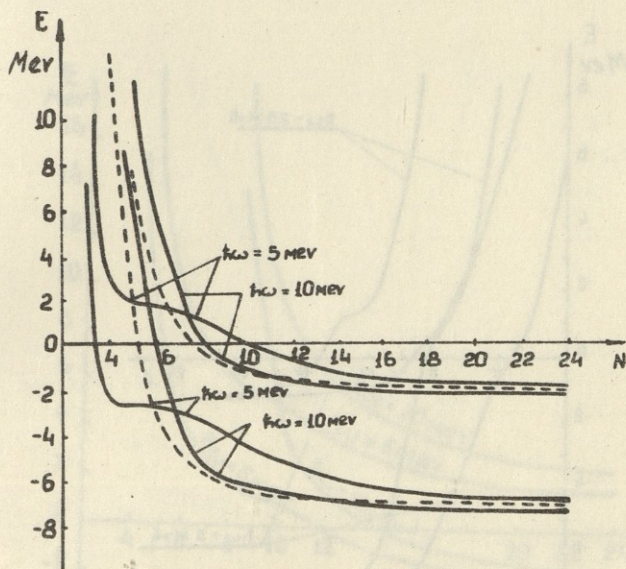


Рис.1. Зависимость энергии основного состояния ядра ^{12}C от числа квантов возбуждения N в случае потенциала [17].

Пунктирная кривая соответствует набору параметров (A2) из работы [9] для $\hbar\omega = 10 \text{ Мэв.}$

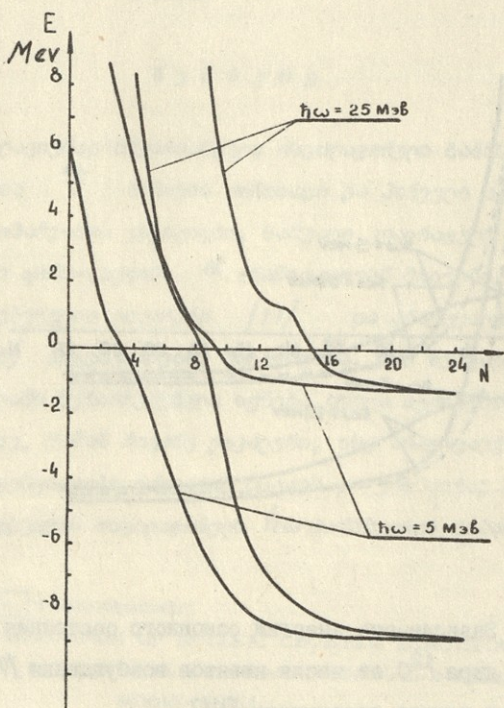


Рис.2. Зависимость энергии основного состояния ядра ^{12}C от числа квантов возбуждения N в случае потенциала [18].

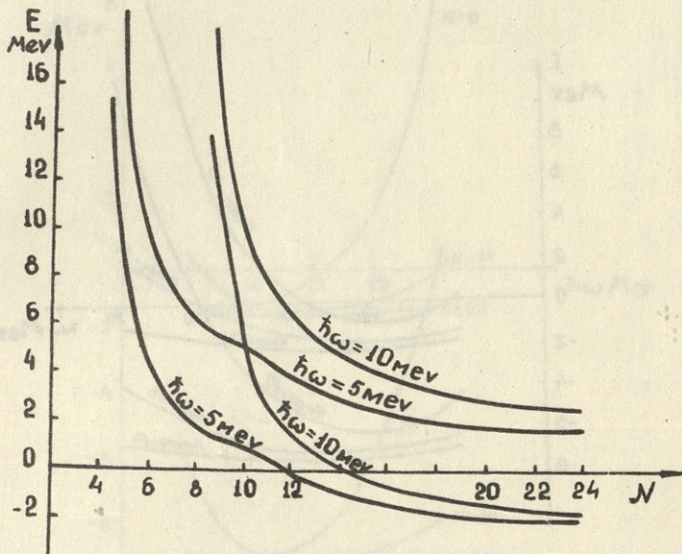


Рис.3. Зависимость энергии первого возбужденного 0^+ состояния ядра ^{12}C от числа квантов возбуждения N в случае потенциала [17].

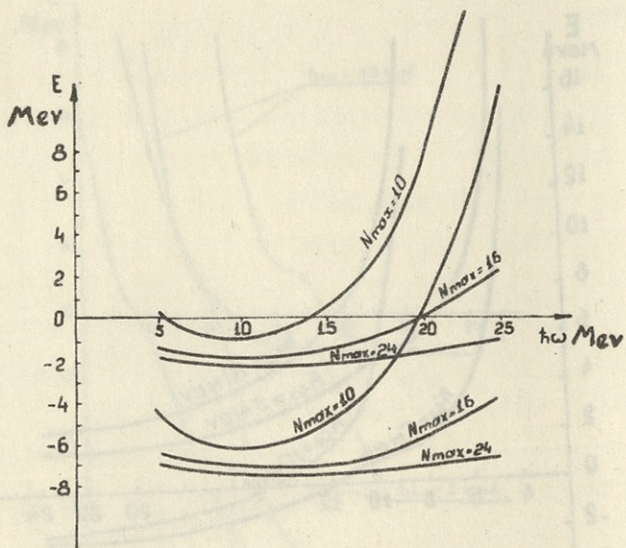


Рис.4. Зависимость энергии основного состояния ядра ^{12}C от осцилляторного параметра $\hbar\omega$ при фиксированных значениях максимального кванта возбуждения N в случае потенциала [17].

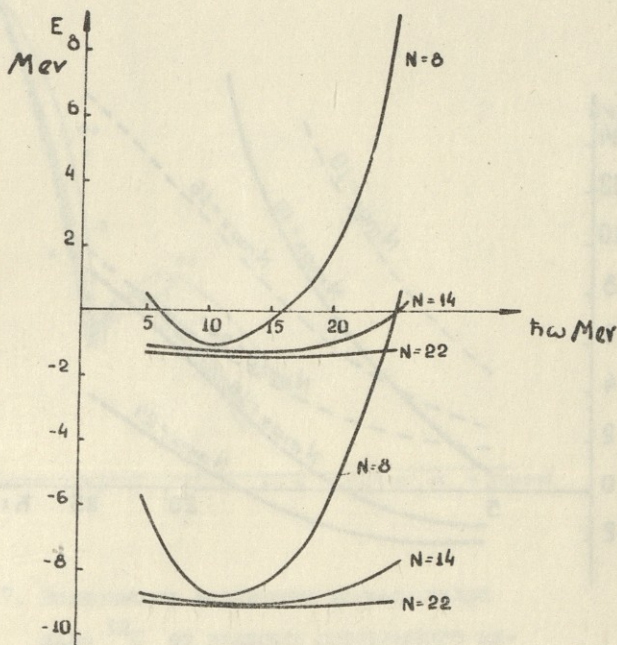


Рис.5. Зависимость энергии основного состояния ядра ^{12}C от осцилляторного параметра $\hbar\omega$ при фиксированных значениях максимального кванта возбуждения N в случае потенциала [18].

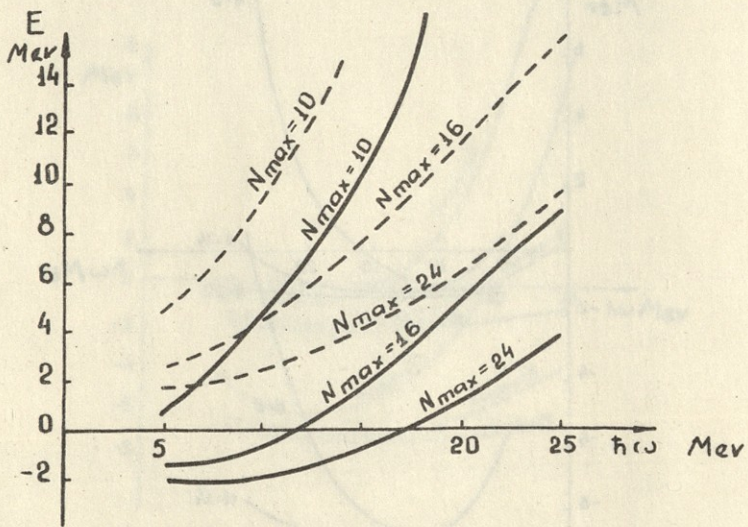


Рис.6. Зависимость энергии первого возбужденного 0^+ состояния от осцилляторного параметра $\hbar\omega$ при фиксированных значениях максимального кванта возбуждения N в случае потенциала [17].

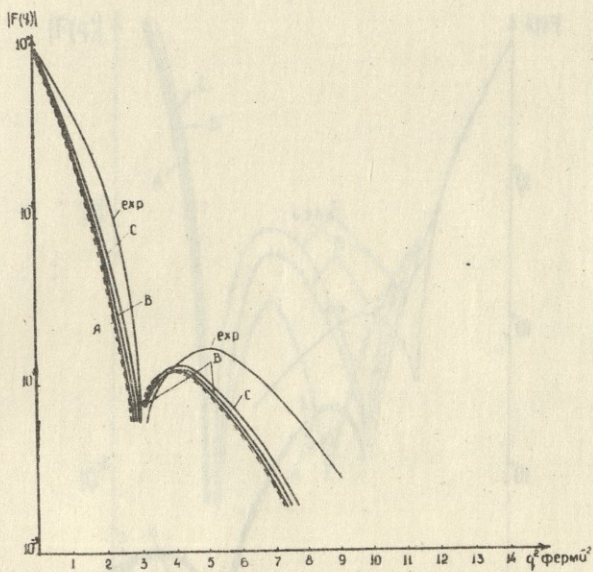


Рис.7. Зависимость зарядового форм-фактора ядра ^{12}C от квадрата переданного ядру импульса q^2 в случае потенциала [17]. Exp - экспериментальная кривая, А, В и С - теоретические кривые, соответствующие параметру $\hbar\omega = 5, 10$ и 18 Мэв, пунктирная кривая соответствует набору параметров (A2) из работы [9] для $\hbar\omega = 10$ Мэв.

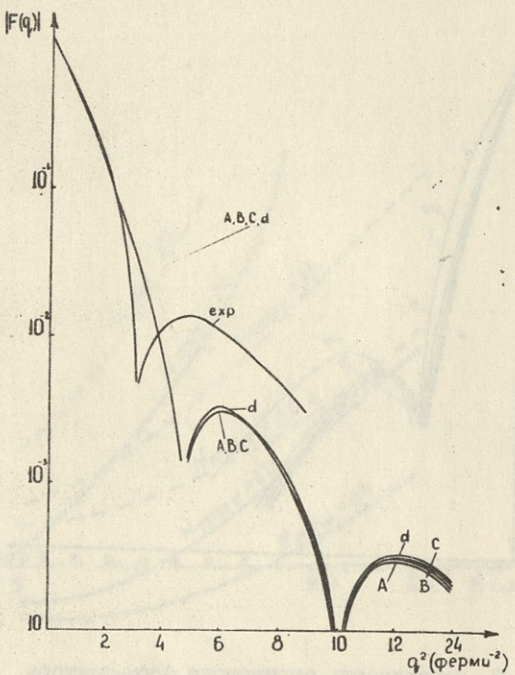


Рис.8. Зависимость зарядового форм-фактора ядра ^{12}C от квадрата переданного ядру импульса q^2 в случае потенциала [18]. Exp - экспериментальная кривая, A,B,C и d - теоретические кривые, соответствующие $\hbar\omega = 5, 10, 18$ и 25 Мэв.

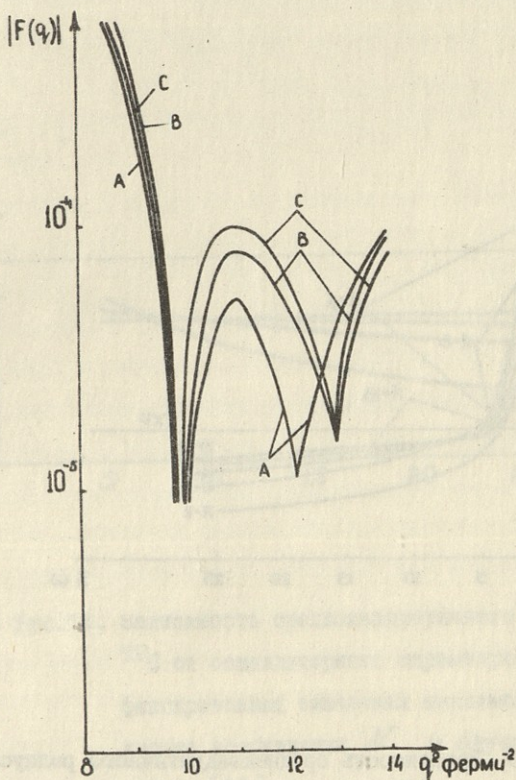


Рис.9. Зависимость зарядового форм-фактора ядра ^{12}C от квадрата переданного ядру импульса q^2 в случае потенциала [17]. А, В и С-теоретические кривые, соответствующие параметру $\hbar\omega = 5, 10$ и 18 Мэв.

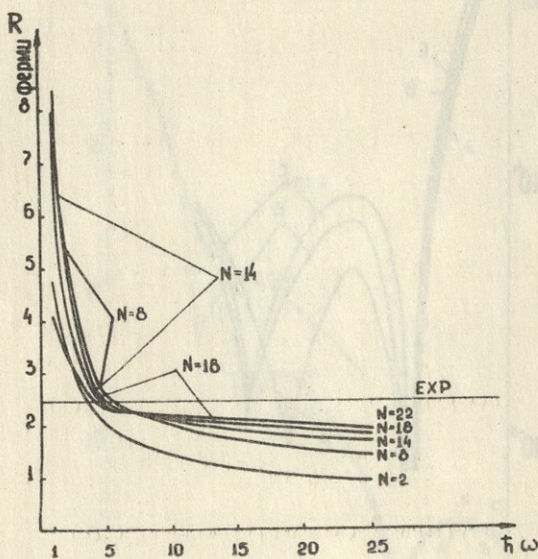


Рис.10. Зависимость среднеквадратичного радиуса ядра ^{12}C от осцилляторного параметра $\hbar\omega$ при фиксированных значениях максимального кванта возбуждения N в случае потенциала [17].

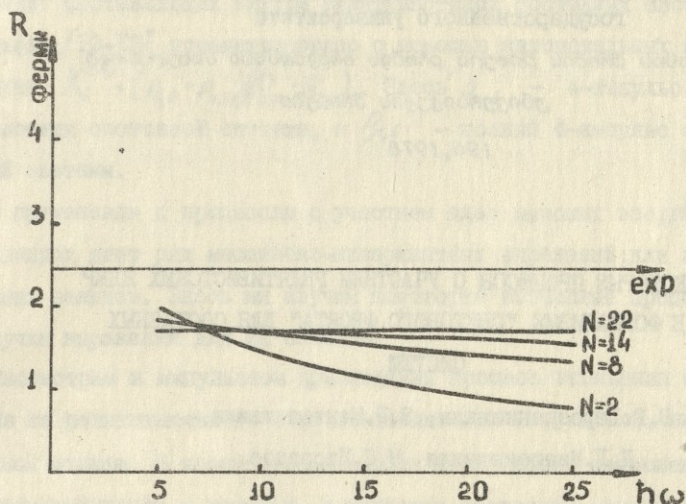


Рис.11. Зависимость среднеквадратичного радиуса ^{12}C от осцилляторного параметра $\hbar\omega$ при фиксированных значениях максимального кванта возбуждения N в случае потенциала [18].

Труды Тбилисского ордена Трудового Красного Знамени
государственного университета

თბილისის შოთა რუსთაველის სახელმწიფო
უნივერსიტეტის მრავალი სახელმწიფო
კურსერსიფენის შრომები

196, 1978

НЕКОТОРЫЕ ПРОЦЕССЫ С УЧАСТИЕМ РЕЛЯТИВИСТСКИХ ЯДЕР
В ФОРМАЛИЗМЕ "СВЕТОВОГО ФРОНТА" ДЛЯ СОСТАВНЫХ
СИСТЕМ

В.Р.Гарсеванишвили, З.Р.Ментешавиши,
Д.Г.Мирианашвили, М.С.Ниорадзе

I. В последнее время большой интерес вызывают исследования процессов с участием релятивистских ядер. Эксперименты с релятивистскими ядрами, проводимые в Дубне и Беркли, выявили ряд интересных закономерностей (например, кумулятивный эффект, ядерный скейлинг /1-4/ и т.д.), требующих теоретического объяснения. Исследования с релятивистскими ядрами имеют прямое отношение к проблемам физики элементарных частиц. Обсуждается возможность распространения методов, развитых в теории частиц, на процессы столкновения ядер высоких энергий. Некоторые из этих методов можно найти, например, в /5-9/ .

Наш подход к изучению столкновений релятивистских ядер /7,9/ основан на варианте /10-12/ квазипотенциального подхода в квантовой теории поля /13/. Характерной особенностью квазипотенциального формализма в переменных "светового фронта" является то обсто-



ятельство, что здесь находит свое естественное воплощение характерная для физики высоких энергий "неэквивалентность" продольных и поперечных степеней свободы. Заметим, что "продольное движение" составляющих внутри релятивистских составных систем в подходе [10-12] параметризовано с помощью автомодельных переменных $X_i^{(A)} = (\rho_{0,i} + \rho_{z,i}) / (\rho_{0,A} + \rho_{z,A})$. Здесь $\rho_{n,i}$ - 4-импульс i -той частицы составной системы, а $\rho_{n,A}$ - полный 4-импульс составной системы.

В применении к процессам с участием ядер высоких энергий этот подход дает ряд масштабно-инвариантных выражений для наблюдаемых величин. Здесь мы изучим некоторые возможные процессы и получим выражения для их сечений.

2. Рассмотрим в импульсном приближении процесс выбивания одного нуклона из релятивистского ядра, состоящего из A нуклонов, на водородной мишени. В таком процессе один из нуклонов падающего ядра взаимодействует с мишенью. В конечном состоянии, после выбивания, мы будем иметь ядро из $A-1$ нуклонов (так называемый спектаторный фрагмент) с импульсом $\vec{q}_{A-1} = \sum_{i=1}^{A-1} q_i$ и два свободных нуклона с импульсами q_A и q_N .

Дифференциальное сечение данного процесса имеет следующий вид [9] :

$$\frac{d\sigma}{d\vec{\rho}_N^{sp} dX^{sp}} \sim \frac{\sqrt{\lambda(S_{A,N}; m_A^2; m_N^2)}}{\sqrt{\lambda(S; M_A^2; m_N^2)}} \frac{G_{el}(S_{A,N})}{X^{sp}} \left| \frac{\mathcal{I}(X^{sp}; \vec{\rho}_N^{sp})}{1 - (1 + \frac{\rho_N^+}{\rho_A^+}) X^{sp}} \right|^2 (1)$$

Здесь S - обычная мандельстамовская переменная для системы ядро A -нуклон мишени, $S_{A,N}$ - аналогичная переменная для системы A -ный нуклон из ядра-нуклон мишени и связана с полным S следующим

образом:

$$S_{A,N} = S(1 - X^{sp}) + M_{A-1}^2 - \frac{(\vec{P}_\perp^{sp})^2 + M_{A-1}^2}{X^{sp}}. \quad (2)$$

$\bar{\sigma}_{ee}(S_{A,N})$ - упругое интегральное сечение рассеяния A-ого нуклона ядра на нуклоне мишени.

$\lambda(x, y, z)$ - кинематическая величина, определяемая следующим образом:

$$\lambda(x, y, z) = (x - y - z)^2 - 4yz. \quad (3)$$

M_A и M_{A-1} - массы ядер A и A-1, соответственно, m_i - масса i -го нуклона.

X^{sp} и \vec{P}_\perp^{sp} являются "продольным отношением" и поперечной компонентой импульса спектаторного фрагмента:

$$X^{sp} = \frac{Q_{A-1}^+}{P_A^+ + P_N^+}; \quad \vec{P}_\perp^{sp} = \vec{Q}_{A-1}^-. \quad (4)$$

$\mathcal{J}(X^{sp}, \vec{P}_\perp^{sp})$ - так называемый "интеграл перекрытия":

$$\begin{aligned} \mathcal{J}(X^{sp}, \vec{P}_\perp^{sp}) &= \int_{-\infty}^{\infty} \prod_{i=1}^n d\vec{q}_i^- \delta^{(2)}\left(\vec{P}_\perp^{sp} - \sum_{i=1}^n \vec{q}_i^+\right) \int_0^{\vec{P}_\perp^{sp}} \frac{dY_i^{(A-1)}}{Y_i^{(A-1)}} \delta\left(1 - \sum_{i=1}^{n-1} Y_i^{(A-1)}\right) \times \\ &\times \Phi_{\vec{P}_\perp^{sp}=0}^*\left([Y_i^{(A-1)}; \vec{q}_i^+ - Y_i^{(A-1)} \vec{P}_\perp^{sp}]\right) \Phi_i\left([X_i^{(A)}; \vec{P}_i^\perp]\right). \end{aligned} \quad (5)$$

Переменные $X_i^{(A)}$ и $Y_i^{(A-1)}$ определены следующим образом:

$$X_i^{(A)} = \frac{\rho_i^+}{\rho_A^+} = \frac{\rho_{0,i} + \rho_{z,i}}{\rho_{0,A} + \rho_{z,A}} ; \quad 0 < X_i^{(A)} < 1 ; \quad \sum_{i=1}^A X_i^{(A)} = 1 .$$

$$Y_i^{(A-1)} = \frac{q_i^+}{Q_{A-1}^+} = \frac{q_{0,i} + q_{z,i}}{Q_{0,A-1} + Q_{z,A-1}} ; \quad 0 < Y_i^{(A-1)} < 1 ; \quad \sum_{i=1}^{A-1} Y_i^{(A-1)} = 1 .$$

Переменные $\tilde{\rho}_i^+$, \tilde{q}_i^+ , $X_i^{(A)}$, $Y_i^{(A-1)}$, входящие в "интеграл перекрытия", связаны друг с другом следующими соотношениями:

$$\tilde{\rho}_i^+ = \tilde{q}_i^+ ; \quad X_i^{(A)} = \left(1 + \frac{\rho_n^+}{\rho_A^+}\right) X^{sp} \cdot Y_i^{(A-1)} \quad i = 1, 2, \dots, A-1 .$$

$$\tilde{\rho}_n^+ = \tilde{\rho}_A^+ - \tilde{\rho}_1^{sp} ; \quad X_A^{(A)} = 1 - \left(1 + \frac{\rho_n^+}{\rho_A^+}\right) X^{sp} . \quad (7)$$

В лабораторной системе отсчета $\tilde{\rho}_n^+ = 0$, и следовательно $\rho_n^+ = m_n$. $\Phi_t((X_i^{(A)}, \tilde{\rho}_i^+))$ — квазипотенциальная волновая функция падающего ядра. $\Phi_{\tilde{\rho}_1^{sp}=0}((Y_i^{(A-1)}, \tilde{q}_i^+ - Y_i^{(A-1)} \tilde{\rho}_1^{sp}))$ — квазипотенциальная волновая функция ядра A-I в системе, в которой $\tilde{\rho}_1^{sp}=0$. Такая волновая функция связана с волновой функцией в произвольной системе следующим образом /II/ :

$$\Phi_{\tilde{\rho}_1^{sp}=0}((Y_i^{(A-1)}; \tilde{q}_i^+ - Y_i^{(A-1)} \tilde{\rho}_1^{sp})) = \Phi_{n-1}((Y_i^{(A-1)}; \tilde{q}_i^+)) . \quad (8)$$

Компоненты импульса спектатора связаны с соответствующими компонентами A-ого нуклона в ядре A следующим образом:

$$\tilde{\rho}_n^+ = \tilde{\rho}_A^+ - \tilde{\rho}_1^{sp} , \quad X_A^{(A)} = 1 - \left(1 + \frac{\rho_n^+}{\rho_A^+}\right) X^{sp} . \quad (9)$$

Таким образом, наблюдая экспериментально за распределениями этих компонент импульса спектатора, можно получить информацию

о внутреннем движении A-ого нуклона внутри релятивистского ядра A.

БИБЛІОГРАФІЯ
ЗАПРОПОНУВАЛА

В случае, когда наряду с выбыванием нуклона из ядра происходит еще и рождение частиц, дифференциальное сечение такого процесса имеет тот же вид, что и в случае выбывания нуклона, но с тем отличием, что в формуле (1) упругое сечение рассеяния нуклона ядра на нуклоне мишени $\bar{b}_{el}(S_{A,N})$ заменяется на сечение рождения частиц $\bar{b}_{2 \rightarrow M}(S_{A,N})$ при столкновении этих же двух нуклонов.

В случае, когда $A=2$, в распределении нуклонов-спектаторов в процессе развала релятивистского дейтрана "интеграл перекрытия" (5) заменяется квазипотенциальной волновой функцией дейтрана [7].

В работе [14] дается сравнение теоретической модели с экспериментальными данными по развалу дейтрана на алюминиевой мишени в диапазоне импульсов падающей частицы от $3 \frac{\text{Геб}}{c}$ до $10 \frac{\text{Геб}}{c}$ [15-19]. Волновая функция дейтрана выбиралась в виде релятивистского аналога волновой функции Хольтена с варьируемыми параметрами α и β :

$$\Phi(X, \vec{p}^\perp) = \text{const} \left[\frac{\vec{p}^\perp{}^2 + m_N^2}{X(1-X)} - \alpha \right]^{-\frac{1}{2}} \left[\frac{\vec{p}^\perp{}^2 + m_N^2}{X(1-X)} - \beta \right]^{-\frac{1}{2}}. \quad (10)$$

Параметр α в процессе расчетов фиксировался значением $\alpha = 3,5156 \left(\frac{\text{Геб}}{c} \right)^2$ равным квадрату массы дейтрана, а параметр β определялся методом наименьших квадратов при сравнении с экспериментальными данными.

Оказалось, что в рассматриваемой области импульсов падающего дейтрана параметры α и β практически не зависят от энергии падающего пучка /см. таблицу/.

$\rho_d, \frac{f_{eB}}{c}$	$d, \left(\frac{f_{eB}}{c}\right)^2$	$\beta, \left(\frac{f_{eB}}{c}\right)^2$
3,46	3,5156	$3,52409 \pm 0,00039$
4,46	3,5156	$3,52232 \pm 0,00066$
7,66	3,5156	$3,52089 \pm 0,00091$
10,20	3,5156	$3,51699 \pm 0,00214$

Этот факт можно рассматривать как указание на то, что в релятивистской волновой функции дейтрона нет никакой другой зависимости от энергии кроме зависимости от масштабно-инвариантной переменной X .

3. Рассмотрим процесс развала дейтрона при столкновении с нуклоном мишени, $d\rho \rightarrow \rho p n$. Распределение по импульсу провзимодействовавшего нуклона дейтрона имеет следующий вид:

$$E_2 \frac{d\sigma}{d\vec{q}_2} \sim \int \frac{d\vec{P}_1^{sp} dX^{sp}}{X^{sp}} \frac{\sqrt{\lambda(S_{\alpha N}; m^2; m^2)}}{\sqrt{\lambda(S; m_d^2; m^2)}} \frac{\left| \Phi(X^{sp}; \vec{P}_1^{sp}) \right|^2}{\left| 1 - \left(1 + \frac{\rho_N}{\rho_d} \right) X^{sp} \right|} \left(E_2 \frac{d\delta(S_{\alpha N})}{d\vec{q}_2} \right), \quad (II)$$

где переменная $S_{\alpha N}$ связана с X^{sp} и \vec{P}_1^{sp} формулой (2).

Интегрирование в формуле (II) происходит по физической области, которая определяется соотношением:

$$\mathcal{L}(S_{\alpha N}; t_2; m^2; t_1; m^2; m^2) \leq 0, \quad (I2)$$

где $t_2 = (\rho_d - \rho^{sp})^2$, $t_1 = (\rho_N - \rho_3)^2$, а функция $\mathcal{L}(x, y, z, u, v, \omega)$

определяется следующим соотношением:



$$\begin{aligned} G(x, y, z, u, v, \omega) = & x^2 y + x y^2 + x^2 u + x u^2 + v^2 \omega + v \omega^2 + \\ & + x z \omega + x u v + y z v + y u \omega - x y (z + u + v + \omega) - \\ & - z u (x + y + v + \omega) - v \omega (x + y + z + u). \end{aligned}$$

В случае, когда при развале дейтрона происходит и рождение частиц, физическая область определяется соотношением:

$$(P_d + P_n - P_{sp} - g_e)^2 \geq m^2. \quad (14)$$

Мы рассмотрели несколько возможных процессов с участием релятивистских ядер. Изложенный формализм может быть применен к изучению других процессов с участием ядер высоких энергий. Представляет интерес учет спиновых эффектов и сравнение полученных результатов с экспериментальными данными.

Авторы выражают глубокую благодарность Н. С. Амаглобели, А. М. Балдину, Т. И. Копалейшили, В. А. Матвееву, А. Н. Тавхелидзе за обсуждение затронутых здесь вопросов и ценные замечания.

Поступила 27. XII. 1977.

Лаборатория ядерной физики
высоких энергий

ЛИТЕРАТУРА

- I. А. М. Балдин и др., Лекция на Школе по физике высоких энергий, Сухуми, 1972, ОИЯИ Р2-6867, Дубна, 1972. А. М. Балдин и др., ОИЯИ, Р2-8858, Дубна, 1975.

2. А.М.Балдин, Доклад на Международной конференции по физике высоких энергий и структуре ядра, Цюрих, 1977.
3. H.Steiner, In Proceeding of the Topical Meeting on High Energy Collisions Involving Nuclei, Trieste, 1974.
4. Г.А.Лексин, Элементарные частицы. Третья школа физики ИТЭФ, Атомиздат, М., 1975, вып.2.,стр.5.
5. В.В.Буров, В.К.Лукьяннов, А.И.Титов, В кн.: Труды Международной конференции по избранным вопросам структуры ядра, Дубна, 1976, ОИЯИ, Д-9920, Дубна, 1976.
6. И.С.Шапиро, В кн.: Труды Международной конференции по избранным вопросам структуры ядра. Дубна, 1976. ОИЯИ, Д-9920, 1976.
7. В.Р.Гарсеванишвили, Д.Г.Мирианашвили, М.С.Ниорадзе, ОИЯИ, Р2-9859, Дубна, 1976.
8. М.И.Стрикман, Л.Л.Франкфурт, Письма в ЖЭТФ, 24, 1976, стр.3II
9. V.Garsevanishvili, Z.Menteshashvili, D.Mirianashvili, M.Nioradze , JINR, E2-10475, Dubna, 1977.
10. В.Р.Гарсеванишвили, А.Н.Квнихиძэ, В.А.Матвеев, А.Н.Тавхелиძэ, Р.Н.Фаустов, ТМФ, 23, 1975, стр.3IO
11. В.Р.Гарсеванишвили, В.А.Матвеев, ТМФ, 24, 1975, стр.3
12. V.Garsevanishvili, Lectures at the XIII Writter School of Theoretical physics in Karpacz, 1976.
13. A.Logunov, A. Tavkhelidze, Nuovo Cim, 1963, 29, p.285
В.Г.Кадышевский, А.Н.Тавхелиძэ, В кн.:"Проблемы теоретической физики", посвященной Н.Н.Боголюбову в связи с его 60-летием. "Наука", М., 1969.
14. А.Абдивалиев и др., ОИЯИ Р2-10770, Дубна, 1977.
15. А.П.Гаспарян и др., ОИЯИ I-9III, Дубна, 1975.
16. А.М.Балдин и др., ПТЭ, 3, 1971, стр.29

- I7. A.Belonogov et al., Nucl. Instr. and Meth., 1963, 20,p. 114.
- I8. Ф.Которобай и др., ОИЯИ, Р10-9314, Дубна, 1975.
- I9. А.П.Иерусалимов и др., ОИЯИ, Р10-9502, Дубна, 1976.

ვ.გარევანიშვილი, გ.მენთეშვილი, გ.მირიანაშვილი,
მ.ნიორაძე

ტომიკო პროცესი რადიაციულ ფირზების მონაცილობით
ხაზების სისტემისთვის "სიცირის ფრონტის" ფორმული-
ბისი

რ ე გ ი კ მ ე

მოცემულია შემდებილი სისტემებისთვის "სიცირის ფრონტის" ფორმაციის მოგიერთი კამოყენება რეალური სირთვების ურთიერთებების პროცესებისათვის, შესწავლილია სპექტაკული ფრაგმენტის განაწილებები ნუკლონის ამოგების პროცესებში. მიღებულია გაფრინდის აქციერი ნუკლონის განაწილების ფორმულა დეიფრონის დაშრისას. გოგიერთი თეორიული შედეგი შედარებულია კესპერიმენტთან. მიღებულია გამაკმაყოფილებები იანხვერის კე- პერიმენტულ მონაცემებთან.

V.Garsevanishvili, Z.Menteshashvili, D.Mirianashvili, M.Nioradze

SOME PROCESSES INVOLVING RELATIVISTIC NUCLEI
IN THE "LIGHT FRONT" FORMALISM FOR COMPOSITE SYSTEMS
Summary

Some applications of the "light front" formalism for composite systems to the interaction processes of relativistic nuclei are given. Distributions of the spectator fragments are studied in the knock-out processes. The formula for the distribution of the active nucleon of the deuteron in the deuteron breakup is derived. Some theoretical predictions are compared with experiment. A reasonable agreement with experiment is observed.



Труды Тбилисского ордена Трудового Красного Знамени
государственного университета

თბილისის მთამის ნიუკო რეზონ თრებოსაც სახველები
უნივერსიტეტის მთამის

196, 1978

ТЕОРЕТИЧЕСКИЙ РАСЧЕТ МОДЕЛЕЙ ВОДОРОДНОЙ СВЯЗИ

Н.С. Вашакмадзе – Васильева

Водородные связи, как известно, соединяют пары оснований вдоль всей молекулы ДНК. Каждая водородная связь характеризуется тем, что атом водорода проявляет способность участвовать в образовании связи с двумя соседними атомами по схеме $X-H \dots Y$. Водородные атомы сдвинуты от центра вправо или влево.

При делении клетки в молекулах ДНК происходит разъединение всех водородных связей, в результате чего каждая молекула ДНК разделяется вдоль цепи, а водородные атомы при этом образуют специфическую последовательность, свойственную строго определенному гену.

Расположение атомов водорода вдоль всей цепи на одной стороне молекулы ДНК комплементарно второй стороне, т.е. если слева $X-H$, то справа – $\dots Y$. Это обеспечивает самоповторяемость молекулы ДНК, так как после ряда промежуточных этапов, отдельные основания находят комплементарные участки на одноцепочечной нити и, присоединяясь к ним водородными связями, дополняют обе нити до двухцепочных структур, происходит удвоение молекулы ДНК.

Нарушение водородных связей приводит к ошибкам при реплика-

ции, что в свою очередь, по-видимому, является причиной старения (накопление ошибок), а также и возникновения новообразований (если ошибки произошли в определенных участках ДНК).

Вопросы, связанные с изучением механизма образования водородных связей, еще не исследованы до конца, и в настоящее время не существует единого мнения об их природе. Однако существование водородных связей экспериментально наблюдалось многими исследователями, их изучению посвящены работы [1-5] и ряд других работ.

В данной работе исследуются две модели образования водородной связи. Для упрощения расчетов рассматривается одна изолированная водородная связь между атомами N и O , которая встречается в молекулах ДНК между $A-T$ или $T-A$.

В первой модели рассматривается участие атома водорода в состоянии $2p$; вторая модель основана на предположении об участии водорода в $3d$ -состоянии.

Рассмотрим первый случай. Известно, что водородная связь в ДНК представляет собой линейную структуру, атом азота имеет конфигурацию: $(1s)^2(3p^2)^3(2p_z)^2$ (так как азот образует три б-связи). Конфигурация атома кислорода: $(1s)^2(3p^2)^5(2p_z)^1$, поскольку кислород образует одну двойную связь (поэтому две орбиты заполнены парами электронов).

Таким образом, в общей системе делокализации принимает участие четыре электрона от трех атомов. К этой системе применима многоэлектронная теория, в частности, полуэмпирический метод Рутаана в одноэлектронном приближении. В этом методе предполагается, что полная энергия системы в предположении о неподвижных ядрах (приближение Борна-Опингейнера) может быть разложена на от-

$$\text{дельные части: } E = E_o + E_{eg} + E_{el};$$

$$\text{а волновая функция } \Psi = \Psi_o \cdot \Psi_{eg} \cdot \Psi_{el}.$$

Рассмотрим нашу систему в π - электронном приближении, т.е. будем искать уровни энергии для системы делокализованных π - электронов, а также, π - электронную волновую функцию.

В данном приближении полная электронная волновая функция равна произведению: $\Psi_{el} = \Psi_\pi \cdot \Psi_o$, а электронная энергия:

$$E_{el} = E_\pi + E_o$$

Применим одноэлектронное приближение, однако учтем влияние остальных электронов введением поправок в заряды ядер Z_N, Z_o через константы экранирования χ_N, χ_o по правилам Слэттера [9]

В первом случае атом водорода находится в $2P$ -состоянии.

$Z_N^* = 3,9$; $Z_o^* = 4,5$. В данном полуэмпирическом методе расстояния между атомами берутся из экспериментальных данных:

$$R_{N-o} = 1 \text{ \AA} ; \quad R_{o...o} \approx 1,82 \text{ \AA}$$

Система уравнений Рутаана в одноэлектронном приближении сводится к простой системе однородных линейных уравнений относительно коэффициентов разложения молекулярной одноэлектронной функции по атомным функциям: $\sum_{k=1}^3 C_{ik} (H_{ik} - E_i \delta_{ik}) = 0; i=1,2,3$ где C_{ik} удовлетворяют условию нормировки: $\sum_{k=1}^3 \sum_{e=1}^3 C_{ik} C_{ie} S_{ke} = 1, \quad i=1,2,3$, что следует из условия нормировки для $\Psi_i(1) = \sum_{k=1}^3 C_{ik} \Psi_k^o(1), \quad i=1,2,3$.

Здесь мы ввели следующие обозначения: $H_{ik}(1)$ - резонансные или обменные интегралы; по определению эти интегралы равны:

$$H_{ik}(1) = \int \Psi_i^{ox}(1) \hat{H}(1) \Psi_k^o(1) d\nu(1),$$

δ_{ik} - интегралы перекрывания: $\delta_{ik}(1) = \int \Psi_i^{ox}(1) \Psi_k^o(1) \frac{d\nu(1)}{d\nu(1)}$ где

$\Psi_i(1)$ - трехцентровые волновые одноэлектронные функции; $\Psi_i^o(1)$ - одноцентровые или атомные одноэлектронные функции.

Произведем нумерацию атомов: $= N-H-O =$

Во избежание вычисления интегралов перекрывания S_{ij} пользовались таблицами Ю.Кругляка, Р.Уйтмена [7], а также С.С. Бацанова и Р.А.Звягиной [8]. В нашей задаче интегралы перекрывания имеют следующие значения:

$$S_{N-H} = 0,247; \quad S_{O-H} = 0,121; \quad S_{N-O} = 0$$

Кулоновские интегралы брались равными потенциалам ионизации:

$$\mathcal{H}_{NN} = -14,540 \text{ эВ}; \quad \mathcal{H}_{OO} = -13,62 \text{ эВ}; \quad \mathcal{H}_{NH} = -3,40 \text{ эВ}$$

Резонансные интегралы вычислялись через интегралы $S_{ij}(1)$ (по методу Гофмана):

$$\mathcal{H}_{ij}(1) = \kappa S_{ij}(1) \frac{\mathcal{J}_i + \mathcal{J}_j}{2},$$

где κ – эмпирическая константа, равная 1,75.

$$\mathcal{H}_{N-H} = -3,777 \text{ эВ}; \quad \mathcal{H}_{O-H} = -1,800 \text{ эВ}$$

После подстановки численных значений $\mathcal{H}_{ii}, \mathcal{H}_{ij}, S_{ij}$ в уравнения, мы получили систему линейных однородных уравнений, где

$$S_{N-O} = 0 \quad \mathcal{H}_{N-O} = 0,$$

а также условие нормировки:

$$\sum_i C_i^2 + \sum_{ij} C_i C_j S_{ij} = 1.$$

Приравнивая детерминант нулю, мы получаем собственные значения: E_1, E_2, E_3 , затем находим наоры коэффициентов, соответствующих E_1, E_2, E_3 . Решение данной системы было проведено на ЭВМ.

Результаты приведены в таблице, в которой представлены уровни энергии и коэффициенты волновых функций.

E	C_1	C_2	C_3
E_1 - 15,67	0,8645	0,2621	0,4189
E_2 - 13,59	-0,4448	0,0014	0,8656
E_3 - 1,829	-0,2342	0,9650	-0,1170

Предполагая, что четыре электрона заселяют нижние уровни, получим решение: $E_1 = -15,29 \text{ эв}$; $E_2 = -15,67 \text{ эв}$; $\psi_1(1) = 0,8645\psi^0(1) + 0,2621\psi^0_2(1) + 0,4189\psi^0_3(1)$; $\psi_2(1) = -0,4448\psi^0_1(1) + 0,0014\psi^0_2(1) + 0,8656\psi^0_3(1)$.

Имея набор коэффициентов, мы определяем структурные индексы: заряды на атомах Q_i и заряды на связях Q_{ij} :

$$Q_N \approx 1,885 ; \quad Q_H \approx 0,135 ; \quad Q_o \approx 1,870$$

$$Q_{NH} \approx 0,098 ; \quad Q_{O..H} \approx 0,027 ; \quad Q_{N..n} = 0$$

Во втором случае атом водорода рассматривается в $3d$ - состоянии. Подставляем следующие численные значения в систему уравнений Рутаана: $Z_N^* = 3,9$ $Z_o^* = 4,55$

$$\mathcal{H}_{NN} = -14,54 \text{ эв} ; \quad \mathcal{H}_{oo} = -13,62 ; \quad \mathcal{H}_{HH} = -1,50 \text{ эв}$$

$$S_{N-O} = 0,149 ; \quad S_{O..H} = 0,161 ; \quad H_{oN} = -2,09 \text{ эв}$$

Новая система уравнений также решалась численно, и для нее также были получены значения уравнений энергии и коэффициентов разложения волновых функций.

Ниже приведена таблица уровней энергии и коэффициентов разло-

ε	c_1	c_2	c_3
$\varepsilon_1 = 15,27$	0,8095	0,1908	0,5520
$\varepsilon_e = 0,004$	- 0,1301	0,9806	- 0,1459
$\varepsilon_3 = 13,85$	- 0,5782	- 0,0452	0,8188

Затем коэффициенты были использованы для определения электронных параметров системы:

$$Q_N \approx 1,915; \quad Q_H \approx 0,080; \quad Q_O \approx 1,930$$

$$Q_{NH} \approx 0,070 \quad Q_{O..H} \approx 0,004; \quad Q_{N..O} \approx 0$$

Из результатов приведенных расчетов можно заключить, что атом водорода отдает свой электрон, на нем образуется положительный заряд, атом азота заряжается отрицательно, а кислород остается почти нейтральным, обнаруживая слабый положительный заряд. Между атомами H и O образуется электронное облако слабой плотности, которое можно интерпретировать как образование водородной связи в системе $= N-H\dots O =$

Как в первой, так и во второй модели был вычислен π - электронный заряд между H и O водородной связью; при этом оказалось, что распределение электронной плотности различно: в модели с участием $2p$ атома водорода электронная плотность на связи $0\dots H \approx 0,03$, а в модели $3d$ соответственно $\approx 0,004$. Суммарный π - электронный заряд равен ≈ 4 .

На основании вышеизложенного можно заключить, что делокализация π -электронного заряда может создать электронный заряд между атомами, что приводит к образованию водородной связи, т.е. предположение о делокализации π -электронного заряда может объяснить механизм образования водородной связи.

В работах, посвященных изучению вопросов водородных связей, обычно предполагается, что водородный атом в них находится в своем $1S$ -состоянии (Мак-Келлан и Пиментал [13]; Корякин и Кривенцова [14] и др. [1-5]).

Но известно, что пары $A-T$ и $T'-U$, соединенные соответственно двумя и тремя водородными связями, образуют плоскую структуру с единой π -электронной системой.

Этот факт с одной стороны, а также эксперименты по изотопному обмену, из которых следует, что атомы водорода водородных связей в молекулах DHK замещаются атомами водорода из окружающей воды с частотой $\sim 10^5 c^{-1}$, позволяют предположить, что водородная связь между атомами N и O в $-N-H...O-$ может образоваться благодаря захвату водородных атомов в состоянии $2p$. Тогда может образоваться общая система π -электронов вдоль связи $-N-H...O-$. При этом появляется делокализованный электронный заряд между центрами, а, следовательно, вся система стабилизируется, образуя водородную связь.

Вычисленные в данной работе π -электронные заряды на атомах N, H и O количественно согласуются с экспериментальными данными [14].

Поступила 30.XII.1977.

Предметная комиссия биофизики

ЛИТЕРАТУРА



- I. W.West, J. Chem. Phys., 7, 795 (1939)
 2. Phys. Rev., 43, 883 (1933)
 3. Изв. АН СССР, сер. физическая, II, 335 (1907).
 4. Г.В.Цицишвили, ЖФХ, 15, 1082 (1941).
 5. P.O.Lowdin, Rev. Mod. Phys., 35, 724, (1963)
 6. И.Б.Голованов и др., "Элементарное введение в квантовую биохимию" (1972).
 7. Ю.Кругляк, Р.Уитмен, "Интегралы квантовой химии" (1969).
 8. С.С.Бацанов, Р.А.Звягина, "Интегралы перекрывания" (1970).
 9. Дж.Слэтер, "Электронная структура молекул", "Мир" (1965).
 10. M.K.Ali, W.Y.Meath, Journ. of quantum chemistry, vol. VIII, 119 (1974).
-
- II. G.F.Tantardim, Journ. of quantum chemistry, vol. VII, 893 (1973)
-
12. A.D.Bandrauc, Journ. of quantum chemistry, vol. VIII, 209 (1974)
-
13. R.Rein, J. Ladik, Journ. of chem. Phys., 40, 2466 (1964)
-
14. M.D.Denford, H.A.Levy, J. Am. chem. Soc. 84, 3965 (1962).
-
15. А.В.Карякин, Г.А.Кривенцова, Состояние воды в органических и неорганических соединениях, М., "Наука", 1973.

ნულებური კავშირის 2 მოჩაღის თარიღი
 დეკემბერი

რ ე გ ი უ მ ე

მოცემულ ნაშრომში მოყვანილია მოხელი, საბაც წყალბაზური კავშირი ქმნის გელოვანიზებულ ელექტრონებს, რომელიც მოძრაობენ სამი ცენტრის ვერში. შედარვებულია ორი შემთხვევა: პირველში - წყალბაზის აფოში იმყოფება $2p$ -მრგომარეობაში, ხოლო მეორეში $3d$ -მრგომარეობაში. ელექტრონული სიმკვრივე $0...H$ -დან პირველ შემთხვევაში ბევრად მცირდა, ვიზე მცირდება.

გაკეთებულია ღასკვნა, რომ ელექტრონების გელოვანიზაციის გამო სამი ცენტრის ვერში წყალბაზის აფოში $2p$ -მრგომარეობის შემთხვევაში იქმნება საკმაო მაღალი ელექტრონული სიმკვრივე $0...H$ აფოშებს შორის, რომელსაც მივდავართ წყალბაზური კავშირის შექმნა-შე.

N.Vashakmadze-Vasilyeva

THEORETICAL CALCULATION OF TWO MODELS OF HYDROGEN BONDS

Summary

In the present paper a model is given in which hydrogen bonds are created by delocalized electrons moving in the field of three centres.

Two cases are compared. In the former case the hydrogen atom is in $2p$ condition, in the latter it is in the $3d$ condition. The density of electrons in the bond is 0.030 in the former case, and 0.004 in the latter.

It is concluded that a fairly high electron density is created between O and N atoms, leading to the formation of hydrogen bonds as a result of the delocalization of p-electrons in free centres with hydrogen atom participation in the $2p$ condition.

Труды Тбилисского ордена Трудового Красного Знамени

государственного университета

ფიზიკური მატემატიკური მინისტრის მიერთვას სახელმწიფო

უნივერსიტეტის მრმები

196, 1978



ТЕРМООБРАБОТКА ПОЛУИЗОЛИРУЮЩЕГО АРСЕНИДА ГАЛЛИЯ

Г.И.Кочорадзе, Л.Н.Балагуров^{*}, Б.Г.Гирич^{*}, М.М.Николаев^{*}

Полуизолирующий $GaAs \cdot Cr$, как и всякий другой полупроводниковый материал, при использовании его в технологии изготовления полупроводниковых приборов претерпевает термические воздействия.

В литературе неоднократно отмечались изменения удельного сопротивления, времени жизни, интенсивности фотолюминесценции и многих других свойств при нагревании кристаллов $GaAs$. Однако многие данные противоречат друг другу. Так, например, в работе [1] указывалось, что $GaAs$ теряет полуизолирующие свойства при нагревании до 450°C , а в [2] предельно допустимая температура нагрева для этого материала была найдена равной 750°C . Расхождение в результатах можно объяснить тем обстоятельством, что процессы термообработки проводились не в идентичных условиях.

Термостабильность материала в зависимости от условий процесса можно разделить на внутреннюю и внешнюю. Если атомная под-

* Сотрудники Московского гос. НИ и проектного института редких металлов.

система полупроводникового кристалла меняется за счет процессов, в которых участвовали лишь частицы /атомы, ионы, дефекты/^{и т.д.} со-
ставляющие исходный кристалл, без изменения их общего количества, то такую стабильность материала можно определить как внутреннюю. В то же время, как известно из термодинамики, энергию всей системы можно изменить еще и путем добавления /или изъятия/ частиц. Введение быстро диффундирующих примесей или испарение летучей компоненты / As в данном случае/ - типичные примеры ситуации, когда стабильность определяется внешними причинами и условиями эксперимента.

В процессе жидкостной эпитаксии, при температурах порядка $950-750^{\circ}C$, с целью получения разных полупроводниковых структур в качестве подложек широко используется полуизолирующий $GaAs$. Необходимо, чтобы удельное сопротивление при таких температурах не менялось, однако сложный характер диаграммы состояния системы $Ga-As-Cr$ [3] указывает на возможность происхождения фазовых превращений в $GaAs : Cr$ с выделением фаз $CrGa_4$, $CrGa_3$ и т.д. или метастабильных комплексов.

В первой части нашей работы мы исследовали термообработку кристаллов в консервативной системе, т.е. в условиях, исключающих загрязнение образца извне и предотвращающих испарение As из материала.

Образцы с удельным сопротивлением $\rho \sim 10^8$ ом.см и толщиной 1.5 мм вырезали из монокристаллов, выращенных по методу Чохральского с жидкостной герметизацией расплава. Исследуемые полуизолирующие монокристаллы были разделены на две группы. К первой группе образцов относились монокристаллы, в которых "допорный фон" обеспечивался контролируемой концентрацией примеси олова. Концентрации Cr и Sn , определяемые методом радиоактивных индикаторов на гамма-анализаторе *Didac - 800*, состав-

ляли $\sim 10^{17} \text{ см}^{-3}$. В образцах второй группы "донарный фон", составляющий $/5 \div 15/ \cdot 10^{15} \text{ см}^{-3}$, обеспечивался неконтролируемыми остаточными примесями, определяющими свойства нелегированного материала.

Термообработку проводили при температуре 900°C в течение 5 часов в квацевых ампулах с последующей закалкой в холодной воде.

Наиболее вероятной загрязняющей примесью при термообработке GaAs является медь, обладающая большим коэффициентом диффузии и высокой растворимостью в GaAs . Поэтому наряду с As , препятствующим разложению образца, в ампулу добавляли S , присутствие которой исключает загрязнение GaAs медью [4]. Давление паров As и S при температуре отжига составляет 0.5 и 1.0 ат. соответственно. Процессы химической обработки кварца, образцов GaAs и исходных материалов проводили в соответствии с правилами полупроводниковой гигиены.

После термообработки измеряли температурную зависимость гальваномагнитных свойств кристаллов. На рис. I приведена типичная зависимость концентрации свободных электронов и удельного сопротивления от температуры образцов. Расчет π по результатам измерения коэффициента Холла проводили с учетом биполярной проводимости, особенно существенной в образцах второй группы [5]. Наклон прямой на рис. I не отличается от наклона на графике $\lg n - f(\frac{1}{T})$ для кристаллов GaAs до термообработки [5]. Порядок величины удельного сопротивления полуизолирующих монокристаллов после отжига сохранялся. Термообработка приводила лишь к некоторому увеличению эффективной подвижности

R_b носителей заряда, особенно заметному в образцах II группы с малой степенью компенсации и большой биполярностью проводимости.

Увеличение величины R_b может быть обусловлено повышением степени компенсации глубокого уровня ε_c . Причиной этого эффекта возможно является диссоциация комплексов $Si-O$, сопровождающаяся образованием мелких компенсирующих доноров Si [6]. Действительно, термообработка низкоомных кристаллов $GaAs$, содержащих $N_{Si} \geq N_A$, привела к увеличению n приблизительно на 4-5/ 10^{16} см^{-3} .

Таким образом, полученные результаты показывают, что термообработка полуизолирующих монокристаллов $GaAs : Ge$ при температуре 900°C практически не вызывает изменения величины удельного сопротивления. По-видимому, фазовые превращения при этой температуре в течение 5 часов не происходят. Однако этот вывод относится только к условиям термообработки, исключающих загрязнение кристаллов и их разложение.

Нами были проведены также контрольные опыты по отжигам кристаллов $GaAs : Ge$ в потоке водорода при тех же температурах без равновесного давления As и паров серы. Термическая обработка образцов приводила к сильному изменению поверхностных свойств материала. После термообработки на поверхности подложки образуется низкоомный слой дырочного типа проводимости толщиной до 30 мкм. Изменения такого рода можно объяснить двумя причинами. Во-первых, происходит процесс диффузии междуузельных атомов мышьяка к поверхности кристалла. Во-вторых, образцы были подвержены воздействию меди. Энергия активации

примеси, ответственной за ρ тип проводимости, соответствовала 0.15 эв, что совпадает с одним из уровней меди /0.15 эв и 0.65 эв/. Объемные свойства монокристаллов менялись незначительно. Удельное сопротивление падало на порядок в связи с увеличением степени компенсации.

Поступила 25. XII. 1977

Проблемная лаборатория
физики полупроводников

ЛИТЕРАТУРА

1. T.B.Light. J. Electrochem. Soc., 115, 11, 328 (1968)
2. J.M.Woodall, Trans. Met. Soc. AIME, 239, 378 (1967)
3. М.Г.Мильвидский, О.В.Пелевин, Б.А.Сахаров, Физико-химические основы получения разлагающихся полупроводников соединений, Металлургия, М., 1974.
4. M.Toyama H.Ikoma Jap. J. Appl. Phys., 8, 12, 1449 (1969)
5. Л.Н.Балагуров, Э.М.Омельяновский, Л.Я.Первова, ФТП, 8, I916, 1974.
6. M.Weiner, D.Lassota, J.Electrochem. Soc., 118, 2, 303 (1971)

გ. ერთონიაძე, ღ. ბალაგუროვი,
გ. გირიჩი, მ. ნიკოლაევი

სახავრად იზოლირებულ გარეულის პრეცეზი
თაროვაბაშვილის

რ ე გ ი ჟ მ ე

ნაშრომში განხილულია ნახევრად იზოლირებული *GaAs:Cr* -ის ფერმერაციურული ღამუშავება. თერმორამუშავება წარმოება 900° ფერმერაციურად. კონსერვაციულ სისტემაში კრისტალების თერმორამუშავების პროცესში ფართური გარდააქმნები არ ხდებოდა. მასალის წყალბაზის ნაკადში თერმული გამოწვევის შემთხვევაში გერაპირული ფენები ხდებოდნენ *P*-ფიბისა გამჭარებლობის, სპირუნტის შეწევისა და კრისტალის ტერაპირისკენ დარიშხანის კვანძთაშუა აცომების გიფუბის გამო.

G.Kochoradze, L.Balagurov, B.Gyrich, M.Nikolaev

HEAT TREATMENT OF SEMIINSULATED GaAs

Summary

Heat treatment of semiinsulated GaAs: Cr is discussed. Heat treatment was carried out at 900°C . During the heat treatment of crystals in a conservative system no phase transformation took place. In thermal annealing of the material in a hydrogen flow the surface layers became p-type due to conductivity Cu penetration, and diffusion of intermediate As atoms toward the crystal surface.

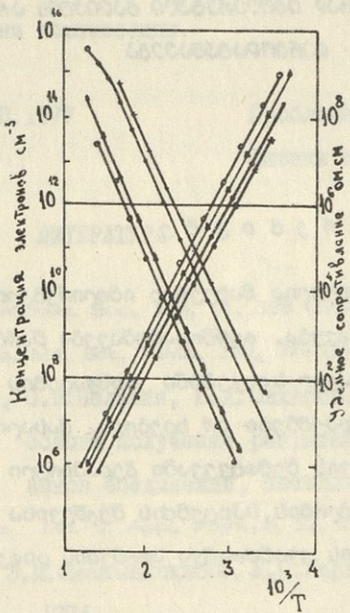


Рис. 1. Температурная зависимость концентрации носителей и удельного сопротивления после термообработки.

Параметры образцов до термообработки при 295°К

$$\circ - \rho = 9 \cdot 10^8 \text{ ом} \cdot \text{см}, \Pi - 5.5 \cdot 10^6 \text{ см}^{-3}$$

$$\blacktriangle - \rho = 5.8 \cdot 10^8 \text{ ом} \cdot \text{см}, \Pi - 9.7 \cdot 10^6 \text{ см}^{-3}$$

$$\bullet - \rho = 3.9 \cdot 10^8 \text{ ом} \cdot \text{см}, \Pi - 9.3 \cdot 10^6 \text{ см}^{-3}$$

$$+ - \rho = 5.4 \cdot 10^7 \text{ ом} \cdot \text{см}, \Pi - 3.9 \cdot 10^7 \text{ см}^{-3}$$

Труды Тбилисского ордена Трудового Красного Знамени
государственного университета

თბილისის შოთა რემაზე დოკუმენტის თარიღისანი სახელმწიფო
უნივერსიტეტის შრომები

196, 1978

ДИФРАКЦИЯ НА КОНЕЧНЫХ РЕШЕТКАХ ИЗ ПРОВОДЯЩИХ ЦИЛИНДРОВ
С ДИЭЛЕКТРИЧЕСКИМ СЛОЕМ

З.И. Сикмашвили

Рассмотрим задачу дифракции плоской электромагнитной волны на систему, составленную из конечного числа коаксиальных бесконечно длинных цилиндров, причем внутренний цилиндр с радиусом b , имеет бесконечную проводимость, а внешний с радиусом a , представляет собой идеальный диэлектрик (рис. I).

Ниже рассматривается случай четного числа цилиндров. Задача для нечетного числа цилиндров решается аналогично.

Пусть исследуемая система со стороны $X > 0$ облучается нормально падающей E - поляризованной плоской электромагнитной волной с Z составляющей электрического вектора

$$E_z = e^{-ikx}$$

($k = 2\pi/\lambda$, λ - длина волны, временная зависимость берется в виде $e^{-i\omega t}$)

Рассеянная от решетки волна представляется в виде:

$$E_{z_1} = \sum_{v=1}^N \sum_{m=-\infty}^{\infty} A_m^{(v)} [H_m^{(u)}(k r_v) e^{-im\varphi_v} + H_m^{(d)}(k r_v) e^{im\varphi_v}], \quad (I)$$

где $H_m^{(s)}(t)$ - функция Ханкеля, $\tau_{z\nu} = \sqrt{(x-h_{z\nu})^2 + [y + (\nu - \frac{t}{2})d]^2}$,
 d -проекции расстояний между центрами соседних цилиндров на
оси y , $h_\nu = (N-\nu)d \operatorname{tg} \psi_{\nu}, h_{-\nu} = (N+\nu-1)d \operatorname{tg} \psi_{\nu-\nu}$ $2N$ - коли-
чество цилиндров, $A_m^{(\nu)}$ - неизвестные коэффициенты, а смысл уг-
лов $\psi_{\nu}, \psi_{\nu-\nu}, \varphi_\nu$ и $\varphi_{-\nu}$ ясен из рис. I.

Поле внутри диэлектрического слоя записываем как

$$E_{zz} = \sum_{m=-\infty}^{\infty} \left\{ C_m^{(\nu)} J_m(\kappa_\nu \tilde{r}_\nu) + D_m^{(\nu)} N_m(\kappa_\nu \tilde{r}_\nu) \right\} e^{-im\varphi_\nu}, \quad (2)$$

где κ_ν - волновое число внутри ν -го диэлектрического ци-
линдра, $b_\nu \leq r_\nu \leq a_\nu$, $C_m^{(\nu)}$ и $D_m^{(\nu)}$ - неизвестные коэффици-
енты, определяемые из граничного условия на поверхности прово-
дящего цилиндра.

$$E_{zz} = 0 / \tilde{r}_q = \delta_q \quad (3)$$

из которого следует, что

$$C_m^{(q)} = R_m^{(q)} N_m(\kappa_q b_q), \quad D_m^{(q)} = -R_m^{(q)} J_m(\kappa_q b_q), \quad (4)$$

$\{R_m^{(q)}\}$ - последовательность новых неизвестных коэффициентов.

Выражение для E_{zz} перепишется таким образом:

$$E_{zz} = \sum_{m=-\infty}^{\infty} R_m^{(q)} \left[J_m(\kappa_\nu \tilde{r}_\nu) N_m(\kappa_\nu b_\nu) - J_m(\kappa_\nu b_\nu) N_m(\kappa_\nu \tilde{r}_\nu) \right]. \quad (5)$$

Из условия непрерывности поля на поверхности диэлектричес-
кого цилиндра следует

$$\left. \begin{aligned} E_z + E_{zz} &= E_{zz} \\ H_z + H_{zz} &= H_{zz} \end{aligned} \right\} \quad \begin{aligned} \text{при } \tilde{r}_q = a_q \\ q = 1, 2, \dots, N \end{aligned} \quad (6)$$

Записывая (6) в развернутом виде, получаем бесконечную систему функциональных уравнений, которую с помощью теоремы сложения для цилиндрических функций [1] можно свести к бесконечной системе алгебраических уравнений второго рода.

$$X_n^{(q)} + \sum_{m=-\infty}^{\infty} \sum_{v=1}^N X_m^{(v)} Z_{mn} = Q_n^{(q)}, \quad (7)$$

$$q = 1, 2, \dots N$$

$$n = 0, \pm 1, \pm 2, \dots$$

где

$$Z_{mn} = - J_m(\alpha_v) Q_n^{(q)} \begin{cases} H_{m+n}^{(1)}[(2v-1)\kappa d] & q=v \\ H_{n-m}^{(1)}(L_{q,v}) e^{i(n-m)\psi_{q,v}} + H_{m+n}^{(1)}(L_{q,-v}) e^{i(m+n)\psi_{q,-v}} & q>v \\ H_{m-n}^{(1)}(L_{v,q}) e^{i(n-m)\psi_{v,q}} + H_{m+n}^{(1)}(L_{-v,q}) e^{-i(m+n)\psi_{v,q}} & q<v \end{cases}$$

$$Q_n^{(q)} = - \frac{1}{H_n^{(1)}(\alpha_q) + F_n(\alpha_q, \hat{\alpha}_q, \beta_q)},$$

$$F_n(\alpha_q, \hat{\alpha}_q, \beta_q) = - \frac{2i}{\pi \alpha_q} \frac{\Phi_n(\hat{\alpha}_q, \beta_q)}{J_n(\alpha_q) \Phi'_n(\hat{\alpha}_q, \beta_q) \frac{W}{W_q} - J'_n(\alpha_q) \Phi_n(\hat{\alpha}_q, \beta_q)},$$

$$\Phi_n(\hat{\alpha}_q, \beta_q) = J_n(\hat{\alpha}_q) N_n(\beta_q) - J_n(\beta_q) N_n(\hat{\alpha}_q),$$

$$X_n^{(q)} = i^n \frac{A_n^{(q)}}{J_n(\alpha_q)},$$

$\alpha_q = \kappa \alpha_q$, $\hat{\alpha}_q = \kappa_q \alpha_q$, $\beta_q = \kappa_q \beta_q$, а W и W_q –
волновые сопротивления, $(')$ – означает дифференцирование по
 α_q

Матричные элементы и свободные члены системы (7) удовлетворяют следующим соотношениям [2]:

$$\sum_{n,m} |Z_{m,n}|^2 < \infty, \quad \sum_n |Q_n^{(q)}|^2 < \infty,$$

что позволяет решать ее методом редукции.

Порядок усечения (M) системы (7) при применении ЭВМ находятся из соотношения $M \geq 2\alpha_\nu^{(\max)}$, где $\alpha_\nu^{(\max)}$ – максимальный электрический радиус цилиндра.

Вычисляя коэффициенты $X_n^{(q)}$, можно определить последовательность $\{R_n^{(q)}\}$ с помощью формулы

$$R_n^{(q)} = \frac{i^{-n} J_n(\alpha_q) f_n'(\alpha_q, \hat{\alpha}_q, \beta_q) X_n^{(q)}}{\Phi_n(\hat{\alpha}_q, \beta_q)}. \quad (8)$$

Одним из важнейших параметров, характеризующих переизлучательные свойства исследуемой дифрагирующей системы, является диаграмма направленности, которую легко получить из формулы (1) при записи последней в дальней зоне, т.е. при $\tau \rightarrow \infty$.

$$A(\varphi) = e^{-i\frac{\pi}{4}} \sqrt{\frac{8}{\pi \kappa}} \sum_{m=-\infty}^{\infty} i^{-m} \sum_{\nu=1}^N R_m^{(\nu)} e^{-ikh_\nu \cos \varphi} \cos [\kappa(\nu - \frac{1}{2}) ds \sin \varphi + m\varphi]. \quad (9)$$

На рис. 2,3,4,5,6,7,8 представлены рассчитанные по формуле (9) нормированные диаграммы направленности рассеивающего объекта, состоявшего из различного количества цилиндров ($N = 2, 3, 4, 5$) в зависимости от радиуса внешнего цилиндра. Расчеты

были проведены для случая $E_2^{(\omega)} = 5$, $D = 1.5$, $\beta_\nu = 1$ ($D = d/\lambda$).

Представленная численная информация дает возможность установить некоторые дифракционные свойства системы цилиндров, в частности с ростом электрического радиуса внешнего цилиндра от 1.5 до π замечается нарастание интенсивности излучения в направлении $\vartheta = 180^\circ$ с одновременной концентрацией ее в указанном направлении. Было установлено, что подобная картина изменения интенсивности переизлученного поля повторяется и в интервале $\pi < \alpha_\nu < 2\pi$.

Следует заметить также, что изменение формы отдельных лепестков диаграмм направленности с изменением электрического радиуса внешнего цилиндра объясняется, по-видимому, сложным характером взаимодействия мультипольного излучения каждого цилиндра.

Поступила 25.XII.1977

Кафедра радиофизики

ЛИТЕРАТУРА

1. И.С.Градштейн, И.М.Рыжик, Таблицы интегралов, сумм, рядов и произведений. Физматгиз, 1963.
2. Е.А.Иванов, Дифракция электромагнитных волн на двух телах. Минск, "Наука и техника", 1968.

გ. სიკმაშვილი

მისამართის დიდი მუზეუმის მუზეუმის მუზეუმის მუზეუმის

ცილინდრული გარება სამარტინ სამარტინ მუზეუმის

რ ე გ ი კ მ ე

განხილულია E -პოლარიზებული ელექტრომაგნიტური ფარგლების გიფრაულის ამოცანა დიელექტრიკული გარსით გაფარული უსასრულო გამფარებლობის მქონე ცილინდრული საკან შემჩრენა სასწრულ მესკრდე.

მიღებულია უსასრულო აღდებრულ განვითარებათა სისტემა, რომელიც რეალუაციის მეთოდით იძსნება 100-80.

გათვლილია მიმართულების გიაგრამები 2, 3, 4 და 5 ცილინდრისათვის.

Z. SIKMASHVILI

DIFFRACTION ON A FINITE GRATING CONSTRUCTED

FROM CONDUCTOR CYLINDERS WITH DIELECTRIC

CASING

Summary

The problem of diffraction of an E -polarized electromagnetic wave on a finite grating constructed from cylinders covered with dielectric casing and having infinite conductivity is studied.

A system of infinite algebraic equations that can be solved on the electronic computer by the method of reduction is obtained.

Directional diagrams are calculated for 2, 3, 4 and 5 cylinders.

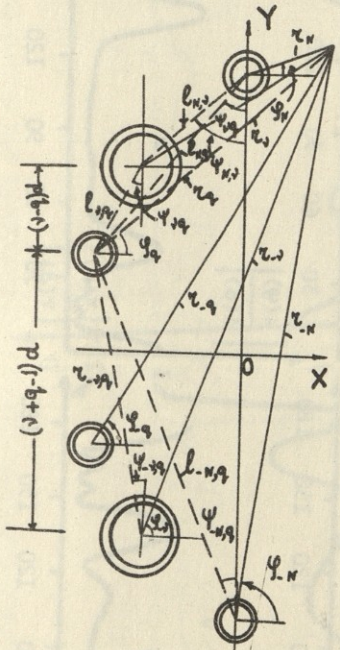


Рис.1. Дифрагирующая система (М-точка наблюдения)

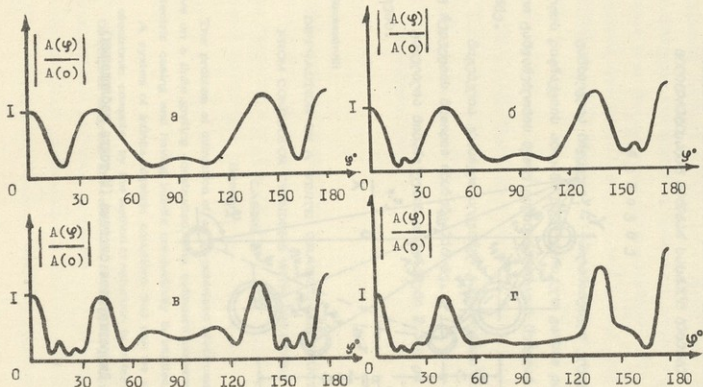


Рис.2. Нормированная диаграмма направленности при параметрах:

$$\beta_y = 1; \alpha_y = 1.5; \varepsilon_r^{(y)} = 5; \psi_y = 0.$$

a - 2 цилиндра, δ - 3 цилиндра, b - 4 цилиндра,

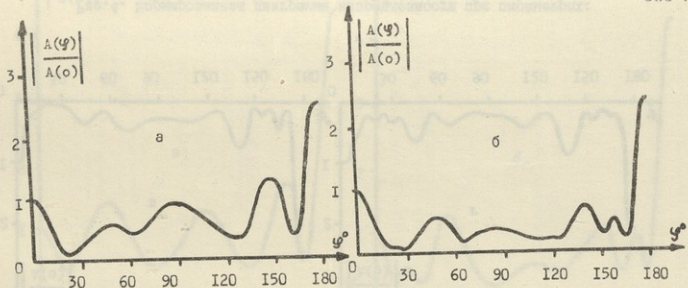


Рис.3. Нормированная диаграмма направленности при параметрах:

$$\beta_y = 1; \alpha_y = 2; \Sigma_x^{(y)} = 5; \psi_y = 0.$$

α - 2 цилиндра, β - 3 цилиндра.

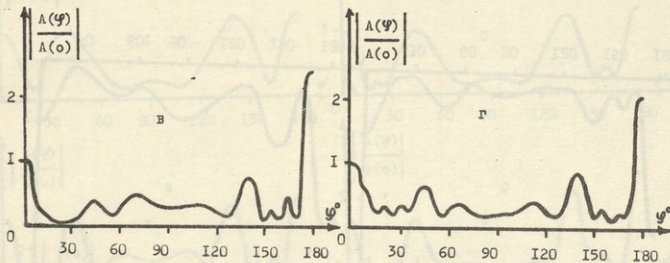


Рис.4. Нормированная диаграмма направленности при параметрах:

$$\beta_y = 1; \alpha_y = 2; \Sigma_x^{(y)} = 5; \psi_y = 0.$$

δ - 4 цилиндра, φ - 5 цилиндров.

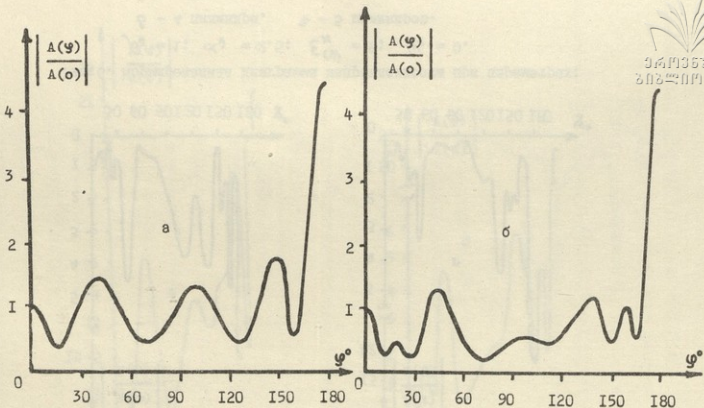


Рис.5. Нормированная диаграмма направленности при параметрах:

$$\beta_y = 1; \quad \alpha_y = 2.5; \quad \varepsilon_r^{(y)} = 5; \quad \psi_y = 0.$$

α - 2 цилиндра, δ - 3 цилиндра.

$\alpha = 3$ циліндрів $\beta = 3$ циліндрів

$$\beta_1 = 3; \quad \alpha_1 = 2.5; \quad \varepsilon_{\text{ж}}^{(\psi)} = 5; \quad \gamma_1 = 0.$$

Залежність нормованої відповідності від кута обертання:

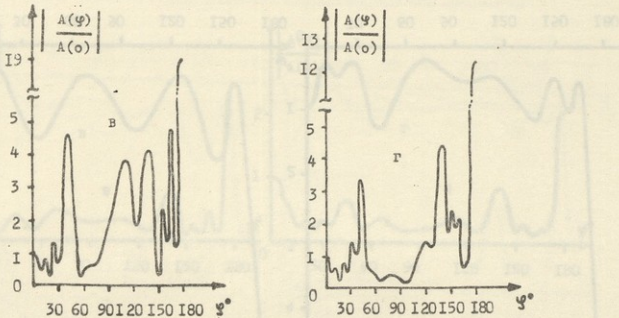


Рис.6. Нормированная диаграмма направленности при параметрах:

$$\beta_1 = 1; \quad \alpha_1 = 2.5; \quad \varepsilon_{\text{ж}}^{(\psi)} = 5; \quad \gamma_1 = 0.$$

δ - 4 цилиндра, γ - 5 цилиндрів.

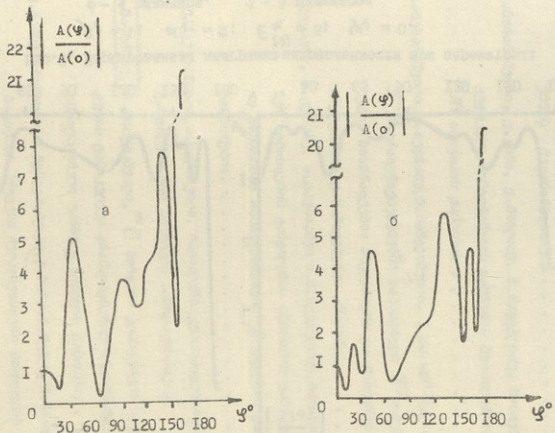


Рис.7. Нормированная диаграмма направленности при параметрах:
 $\beta_y = 1; \alpha_y = \pi; \varepsilon_x^{(y)} = 5; \psi_y = 0.$
 а - 2 цилиндра: σ - 3 цилиндра.

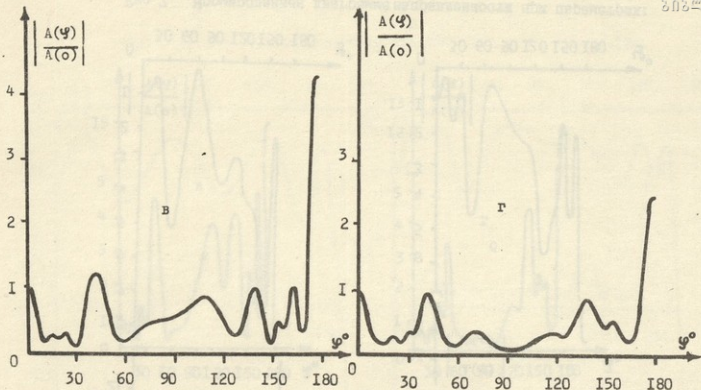


Рис.8. Нормированная диаграмма направленности при параметрах:

$$\beta_\psi = 1; \quad \alpha_\psi = \pi; \quad \varepsilon_\chi^{(\psi)} = 5; \quad \psi_0 = 0.$$

δ - 4 цилиндра, γ - 5 цилиндров.



ი. გრიშელვილი, გ. აბდულაშვილი, ნ. კოსფანაშვილი, გ. ღებეგვიჩი	12
ბირთვებრე ბაბალი ენერგიის პიონერის წარმო- ქმნის მექანიზმისათვის	
ნ. ამირანაშვილი, ვ. ახში, ვ. ჩიხლაძე, გ. შავგულიძე, მონოენერ- გიციკული პომილონერის ბამზერის შესაძლებლა 57 წერილის ბაშლისას	21
ი. აბესალიაშვილი, ი. თევრიაძე, მ. ჩარგეიშვილი, 5 ბა 40 ⁰ 33/C -ზე ქ-ქ-ურთიერთემებების ბაბაგებული ქ-ქ-მებო- ნების სისწრაფეებით ინკუბიური ბა ნახევრა- ინკლუბიური განაწილებების ანალიზი.	31
ი. ბექაური, გ. ცერაძე, თ. ღავითაშვილი, გ. ხვეველიძე, ბარკვი- ნურ აფონსდეროს განცოლების ამოხსნის გამოკვლე- ვა მთავრობის რაიონებისათვის β ეფექტის გათვა- ლისწინებით.	43
მ. მარგველაშვილი, ა. ხელაშვილი, რადიაცური კვატიკოვენციალური ცანოლება ორი სიმონური ნაწილაკისათვის. . . .	60
თ. მაჭარაძე, თ. მიხელაშვილი, ¹² C ბირთვის კასტერული სცრუე- ფურის გამოკვლევა ფრანსუაციურად-ინვარიანცული ოსცილაციონური გარსული მოდელის ბაზისში. . . .	74
ვ. გარსევანიშვილი, გ. მერიეშაშვილი, გ. მირიანაშვილი, მ. ნიორაძე, გოგიერთი პროცესი რელაფივისფური ბირთვების მო- ნაწილეობით შეგვენილი სისტემებისათვის "სინაზის ფრონტის" ფორმაციისში.	94
ნ. ვაშავრიაძე -ვასილივა. ნაციონალური კავშირის 2 მოდელის თეორიული გათვალისწინებით.	103

გ. სიცმაშვილი, ფიფაჯვია წილებრივი კური ტარსის მეონე გამ- ფარი ცილინდრულისაგან შემოგარ სასრულ მესერ- ვე 116
--

СОДЕРЖАНИЕ

И.Ф.Гришавили, Д.Д.Джалагания, Н.И.Костанашвили, Г.И. Лебедевич, К вопросу о рождении медленных пинов на ядрах 5
Н.И.Амиранашвили, В.А.Джапишвили, В.Л.Чихладзе, З.Д.Шавгу- лидзе, О возможности наблюдения монохроматических по- зитронов в Ni^{57} 14
Л.Н.Абесалашвили, Ю.В.Тевзадзе, М.С.Чаргейшвили, Анализ инклузивных и полуинклузивных распределений π^{\pm} - ме- зонов по быстротам в π^-N - взаимодействиях при 5 и 40 Гэв/с 25
И.Н.Бекаури, З.Д.Гецадзе, Т.П.Давиташвили, З.В.Хведе- лидзе, Исследование решения уравнения бароклинной ат- мосферы с учетом влияния гор и β эффекта 38
М.В.Маргвелашвили, А.А.Хелашвили, Радиальное квазипо- тенциальное уравнение для двух спинорных частиц 47
Т.С.Мачарадзе, Т.Я.Михелашвили, Исследование кластерной структуры ядра ^{12}C в базисе трансляционно-инвариантной осцилляторной модели оболочек 61

В.Р.Гарсеванишвили, З.Р.Ментешашвили, Д.Г.Мирианашвили, М.С.Ниорадзе, Некоторые процессы с участием релятивистиче- ких ядер в формализме "светового фронта" для составных систем	86
Н.С.Вашакмадзе-Васильева, Теоретический расчет моделей водородной связи	95
Г.И.Кочорадзе, Л.Н.Балагуров, Б.Г.Гирич, М.М.Николаев, Термообработка полуизолирующего арсенида галлия	104
З.И.Сикмашвили, Дифракция на конечных решетках из проводящих цилиндров с диэлектрическим слоем	III

C O N T E N T S

I.Grishashvili, D.Jalagania, N.Kostanashvili, G.Lebedevich, On the mechanism of production of slow pions on nuclei	12
N.Amiranashvili, W.Jashi, W.Chikhladze, Z.Shavgulidze, On the observability of monoenergetic positrons in the decay of ^{57}Ni	21
L.Abesalashvili, Yu.Tevsadze, M.Chargeishvili, An analysis of semi-inclusive and inclusive distributions of π^{\pm} -mesons in π^- N interactions at 5 and 40 Gev/c	32
I.Bekauri, Z.Getsadze, T.Davitashvili, Z.Khvedelidze, Study of the solution of the baroclinic atmosphere equation with account of the mountain influence and the β effect	44
M.Margvelashvili, A.Khelashvili, Radial quasipotential equation for two spinor particles	60
T.Macharadze, T.Mikhelashvili, Investigation of nucleic cluster structure of ^{12}C in the base of translational-invariant model shell	74

V.Garsevanishvili, Z.Menteshashvili, D.Mirianashvili, M.Nioradze,	Some processes involving relativistic nuclei in the
"light front" formalism for composite systems	94
N.Vashakmadze-Vasilyeva,	602
Theoretical calculation of two models of hydrogen	
bonds	103
G.Kochoradze, L.Balagurov, B.Gyrich, M.Nikolaev	
Heat treatment of semi insulated GaAs	109
Z.Sikmashvili, Diffraction on a finite grating constructed from con-	
ductor cylinders with dielectric casing	116

გამომცემლობის რეასუფორტი ღ.ა ბ ე ა შ ვ ი რ ი

გარაერა წარმოებას 30/V-78

ხელმოწერილია გასაბეჭდად 29/V-78

ქარაღის ფორმაცი 60 X 84

ნაბეჭდი თაბახი 8

სააღრიცხვო-საგამომცემლო თაბახი 6,08

ფასი 61 კუპ.

გვ.ვ. 1896

II 06663

ფირავი 300

თბილისის უნივერსიტეტის გამომცემლა, თბილისი, 380028,
ი.ჭავჭავაძის პროსპექტი, 14

Издательство Тбилисского университета, Тбилиси, 380028,

пр. И. Чавчадзе, 14

საქ. სსრ მეცნიერებათა აკადემიის სფამბა, თბილისი, 380060,

კუთუმբის ქ. 19.

Типография АН ГССР, Тбилиси, 380060, ул. Кутузова 19



86-78

78-479

ଓଡ଼ିଆ ପ୍ରଦେଶ
ପ୍ରକାଶନ ମେଲ୍

ଓଦୀସୋ 61 ଜୟତି.

